



MARM S 52 - US 40155 - Individu 1

Inhumation Individuelle primaire



**Bloc crânio-facial :** Le crâne apparaît par sa face antéro-latérale droite. La mandibule apparaît par sa face antéro-latérale droite. La connexion entre le crâne et la mandibule n'a pu être observée.

**Vertèbres cervicales :** La connexion entre le crâne et l'atlas n'a pu être observée. La connexion entre l'atlas et l'axis n'a pu être observée. Les connexions entre les cervicales 2 à 7 n'ont pu être observées.

**Vertèbres thoraciques :** Les vertèbres thoraciques sont en connexion lâche.

**Vertèbres lombaires :** Les vertèbres lombaires sont en connexion stricte.

**Ceinture scapulaire :** La clavicule droite apparaît par sa face supérieure. La scapula droite apparaît par sa face antéro-latérale droite. La clavicule droite a migré en dehors du volume corporel initial. La clavicule gauche apparaît par sa face supérieure. La scapula gauche apparaît par sa face antérieure. La clavicule gauche a migré en dehors du volume corporel initial.

**Membre supérieur droit :** L'humérus droit apparaît par sa face antéro-latérale. La scapula et l'humérus droits sont déconnectés. L'ulna droite apparaît par sa face latérale. Le radius droit apparaît par sa face postérieure. Le coude droit est en connexion lâche. La connexion des os du poignet droit n'est pas maintenue. Des éléments du membre supérieur droit ont migré en dehors du volume corporel initial. Les os du carpe droit sont déconnectés. Les métacarpes droits sont déconnectés. Les phalanges de la main droite sont déconnectées. Des éléments de la main droite ont migré en dehors du volume corporel initial.

**Membre supérieur gauche :** L'humérus gauche apparaît par sa face antéro-latérale. L'humérus gauche est en connexion stricte avec la scapula gauche. La face d'apparition de l'ulna gauche n'a pu être observée. Le radius gauche apparaît par sa face antérieure. Le coude gauche est en connexion stricte. La connexion des os du poignet gauche n'est pas maintenue. Les os du carpe gauche sont déconnectés. Les métacarpes gauches sont déconnectés. Les phalanges de la main gauche sont déconnectées. Des éléments de la main gauche ont migré en dehors du volume corporel initial.

**Ceinture pelvienne :** Le coxal droit apparaît par sa face antérieure. Le coxal gauche apparaît par sa face antérieure. Le coxal droit est en connexion lâche avec le sacrum. Le coxal gauche est en connexion lâche avec le sacrum. Le coxal droit a migré en dehors du volume corporel initial. Le coxal gauche a migré en dehors du volume corporel initial.

**Membre inférieur droit :** Le fémur droit apparaît par sa face antérieure. Le coxal droit est en connexion stricte avec le fémur droit. La face d'apparition de la patella droite n'a pu être observée. La connexion entre le fémur et la patella droits n'a pu être observée. Le tibia droit apparaît par sa face antérieure. La fibula droite apparaît par sa face antérieure. Le fémur et le tibia droits sont en connexion stricte. Le tibia et la fibula droits sont en connexion stricte. La cheville est en connexion stricte. Le os du tarse droit sont en connexion lâche. Les métatarses droits sont en connexion lâche. Les phalanges du pied droit sont déconnectées. Des éléments du pied droit ont migré en dehors du volume corporel initial.

**Membre inférieur gauche :** Le fémur gauche apparaît par sa face antérieure. Le coxal gauche est en connexion stricte avec le fémur gauche. La face d'apparition de la patella gauche n'a pu être observée. La connexion entre le fémur et la patella gauches n'a pu être observée. Le tibia gauche apparaît par sa face antérieure. La fibula gauche apparaît par sa face antérieure. La connexion entre le fémur et le tibia gauches n'est pas maintenue. Le tibia et la fibula gauches sont en connexion stricte. La cheville est en connexion stricte. Le os du tarse gauche sont en connexion lâche. Les métatarses gauches sont en connexion lâche. Les phalanges du pied gauche sont déconnectées. Des éléments du pied gauche ont migré en dehors du volume corporel initial.

Des mouvements en dehors du volume corporel initial sont observés.

**Présence d'élément(s) de compression du corps.**

**Décomposition du corps en espace vide.**

position des bras



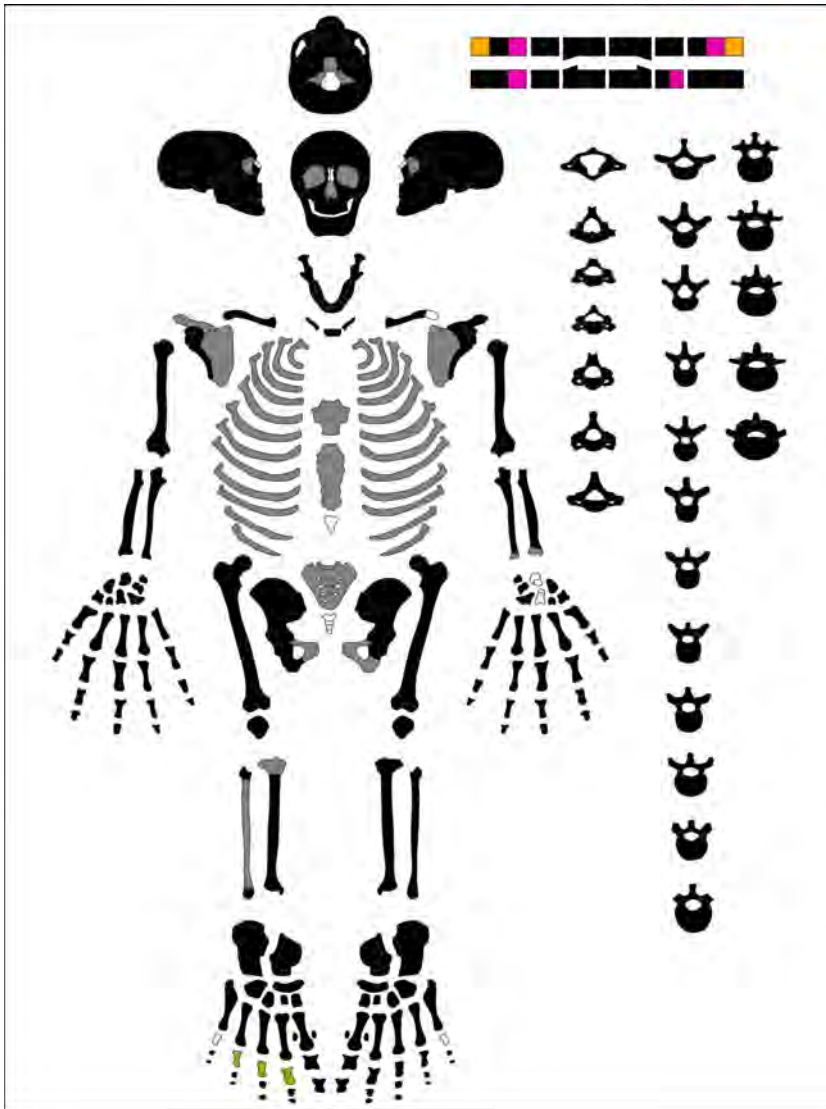


MARM Sépulture 52 US 40155 individu 1 Adulte de Sexe féminin

**code dents :**

- présente in situ
- présente isolée et identifiée avec certitude
- type identifié localisation indéterminée
- perte *ante mortem*
- perte *post mortem*
- absente (agénésie ?)
- germe présent *in situ*
- germe isolé mais remplacé avec certitude
- non observable

PATHOLOGIES - 8 site(s) atteint(s).



**Probabilité d'appartenance à chaque classe d'âge d'après Coqueugniot et Weaver (2007) et Schmitt (2005)**

0-1	1-4	5-9	10-14	15-19	20-29	30-39	40-49	50-59	60-69	AD Ind.
					0,02	0,26	0,24	0,23	0,25	

**La diagnose sexuelle probabiliste : Murail et al. 2005**

	PUM	SPU	DCOX	IIMT	ISMM	SCOX	SS	SA	SIS	VEAC
<b>Droit</b>										
<b>Gauche</b>		22,39				144	65,07	73,84		
<b>Diagnostic</b>	Féminin		proba D		seuil	0,95	Diagnostic final		Féminin	
			proba G	0,9877						



MARM S 53 - US 40219 - Individu 1

Inhumation Individuelle primaire



**Bloc crânio-facial :** Le crâne apparaît par sa face antéro-latérale droite. La mandibule apparaît par sa face antéro-latérale droite. Elle est en connexion lâche avec le crâne.

**Vertèbres cervicales :** La connexion entre le crâne et l'atlas n'a pu être observée. La connexion entre l'atlas et l'axis n'a pu être observée. Les cervicales 2 à 7 sont en connexion stricte.

**Vertèbres thoraciques :** Les vertèbres thoraciques sont en connexion stricte.

**Vertèbres lombaires :** Les vertèbres lombaires sont en connexion lâche.

**Ceinture scapulaire :** La clavicule droite apparaît par sa face supérieure. La scapula droite apparaît par sa face antérieure. La clavicule droite a migré en dehors du volume corporel initial. La clavicule gauche apparaît par sa face antérieure. La scapula gauche apparaît par sa face antéro-latérale. La clavicule gauche a migré en dehors du volume corporel initial.

**Membre supérieur droit :** L'humérus droit apparaît par sa face latérale. L'humérus droit est en connexion lâche avec la scapula droite. L'ulna droite apparaît par sa face latérale. Le radius droit apparaît par sa face antéro-médiale. La connexion des os du coude droit n'est pas maintenue. La connexion des os du poignet droit n'est pas maintenue. Les os du carpe droit sont déconnectés. Les métacarpes droits sont déconnectés. Les phalanges de la main droite sont déconnectées.

**Membre supérieur gauche :** L'humérus gauche apparaît par sa face antéro-latérale. L'humérus gauche est en connexion stricte avec la scapula gauche. L'ulna gauche apparaît par sa face latérale. Le radius gauche apparaît par sa face médiale. La connexion des os du coude gauche n'est pas maintenue. La connexion des os du poignet gauche n'est pas maintenue. Les os du carpe gauche sont déconnectés. Les métacarpes gauches sont déconnectés. Les phalanges de la main gauche sont déconnectées.

**Ceinture pelvienne :** Le coxal droit apparaît par sa face antérieure. Le coxal gauche apparaît par sa face antérieure. Le coxal droit est en connexion lâche avec le sacrum. Le coxal gauche est en connexion lâche avec le sacrum.

**Membre inférieur droit :** Le fémur droit apparaît par sa face antérieure. Le coxal droit est en connexion lâche avec le fémur droit. La face d'apparition de la patela droite n'a pu être observée. La connexion entre le fémur et la patela droits n'a pu être observée. Le tibia droit apparaît par sa face antérieure. La fibula droite apparaît par sa face antérieure. Le fémur et le tibia droits sont en connexion stricte. Le tibia et la fibula droits sont en connexion lâche. La cheville est en connexion stricte. Les os du tarse droit sont en connexion stricte. Les métatarses droits sont en connexion stricte. Les connexions des phalanges du pied droit n'ont pu être observées.

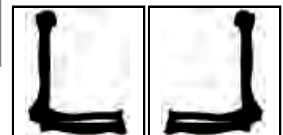
**Membre inférieur gauche :** Le fémur gauche apparaît par sa face antérieure. Le coxal gauche est en connexion stricte avec le fémur gauche. La patela gauche apparaît par sa face antérieure. Le fémur et la patela gauches sont en connexion stricte. Le tibia gauche apparaît par sa face antérieure. La fibula gauche apparaît par sa face antérieure. Le fémur et le tibia gauches sont en connexion stricte. Le tibia et la fibula gauches sont en connexion stricte. La cheville est en connexion stricte. Les os du tarse gauche sont en connexion stricte. Les métatarses gauches sont en connexion stricte. Les phalanges du pied gauche sont déconnectées.

Des mouvements en dehors du volume corporel initial sont observés.

**Présence d'élément(s) de compression du corps.**

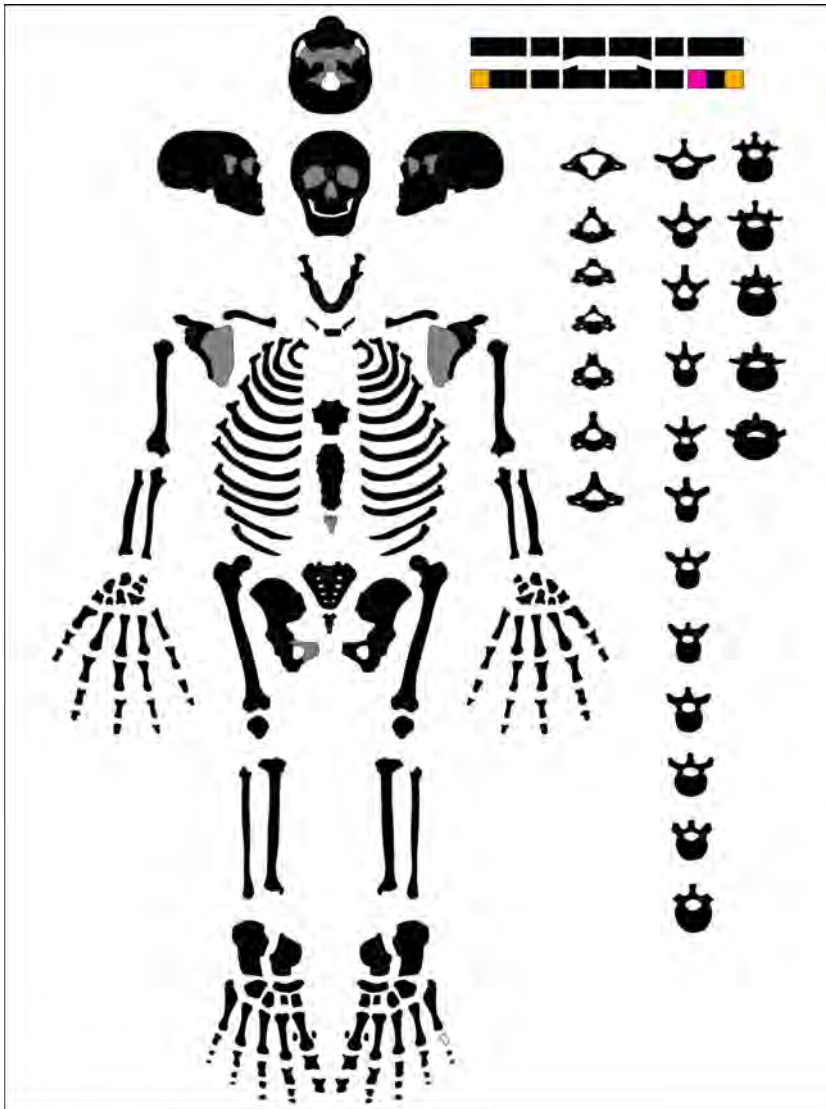
**Décomposition du corps en espace vide.**

position des bras





MARM Sépulture 53 US 40219 individu 1 Adulte de Sexe masculin



- code dents :**
- présente in situ
  - présente isolée et identifiée avec certitude
  - type identifié localisation indéterminée
  - perte *ante mortem*
  - perte *post mortem*
  - absente (agénésie ?)
  - germe présent *in situ*
  - germe isolé mais remplacé avec certitude
  - non observable

PATHOLOGIES - 8 site(s) atteint(s).

Probabilité d'appartenance à chaque classe d'âge d'après Coqueugniot et Weaver (2007) et Schmitt (2005)

0-1	1-4	5-9	10-14	15-19	20-29	30-39	40-49	50-59	60-69	AD Ind.
					0,88	0,09	0,02	0,01	0,00	

La diagnose sexuelle probabiliste : Murail *et al.* 2005

	PUM	SPU	DCOX	IIMT	ISMM	SCOX	SS	SA	SIS	VEAC
<b>Droit</b>										
<b>Gauche</b>		39,09			120		69,15	69,01		
<b>Diagnostic</b>	Masculin		proba D		seuil	0,95	Diagnostic final		Masculin	
			proba G	1						



**MARM S 56 - US 40271 - Individu 1**

Inhumation Individuelle primaire



**Bloc crânio-facial :** Le crâne apparaît par sa face inférieure. Le crâne a migré en dehors du volume corporel initial. La face d'apparition de la mandibule n'a pu être observée. La connexion entre le crâne et la mandibule n'a pu être observée.

**Vertèbres cervicales :** L'atlas est déconnecté du crâne. L'atlas et l'axis sont déconnectés. Les cervicales 2 à 7 sont en connexion lâche.

**Vertèbres thoraciques :** Les connexions entre les vertèbres thoraciques n'ont pu être observées.

**Vertèbres lombaires :** Les vertèbres lombaires sont déconnectées entre elles.

**Ceinture scapulaire :** La clavicule droite apparaît par sa face antérieure. La scapula droite apparaît par sa face antérieure. La clavicule gauche apparaît par sa face antérieure. La scapula gauche apparaît par sa face antéro-latérale. La clavicule gauche a migré en dehors du volume corporel initial.

**Membre supérieur droit :** L'humérus droit apparaît par sa face latérale. L'humérus droit est en connexion stricte avec la scapula droite. L'ulna droite apparaît par sa face latérale. Le radius droit apparaît par sa face antérieure. Le coude droit est en connexion lâche. Le poignet droit est en connexion stricte. Le os du carpe droit sont en connexion stricte. Les métacarpes droits sont en connexion stricte. Les phalanges de la main droite sont déconnectées.

**Membre supérieur gauche :** L'humérus gauche apparaît par sa face latérale. La scapula et l'humérus gauches sont déconnectés. L'ulna gauche apparaît par sa face latérale. Le radius gauche apparaît par sa face postérieure. La connexion des os du coude gauche n'est pas maintenue. La connexion des os du poignet gauche n'est pas maintenue. Le os du carpe gauche sont en connexion stricte. Les métacarpes gauches sont en connexion stricte. Les phalanges de la main gauche sont en connexion lâche. Des éléments de la main gauche ont migré en dehors du volume corporel initial.

**Ceinture pelvienne :** La face d'apparition du coxal droit n'a pu être observée. Le coxal gauche apparaît par sa face antérieure. La connexion entre le coxal droit et le sacrum n'a pu être observée. Le coxal gauche et le sacrum sont déconnectés. Le coxal gauche a migré en dehors du volume corporel initial.

**Membre inférieur droit :** Le fémur droit apparaît par sa face antérieure. La connexion entre le coxal et le fémur droits n'a pu être observée. La face d'apparition de la patela droite n'a pu être observée. La connexion entre le fémur et la patela droits n'est pas maintenue. Le tibia droit apparaît par sa face antéro-latérale. La fibula droite apparaît par sa face antéro-latérale. Le fémur et le tibia droits sont en connexion stricte. Le tibia et la fibula droits sont en connexion lâche. La cheville est en connexion stricte. Les connexions des os du tarse droit n'ont pu être observées. Les connexions des métatarses droits n'ont pu être observées. Les connexions des phalanges du pied droit n'ont pu être observées.

**Membre inférieur gauche :** Le fémur gauche apparaît par sa face antérieure. Le coxal gauche est en connexion stricte avec le fémur gauche. La patela gauche apparaît par sa face antérieure. La connexion entre le fémur et la patela gauches n'est pas maintenue. Le tibia gauche apparaît par sa face antérieure. La face d'apparition de la fibula gauche n'a pu être observée. Le fémur et le tibia gauches sont en connexion stricte. La connexion entre le tibia et la fibula gauches n'a pu être observée. Les connexions des os de la cheville gauche n'ont pu être observées. Les connexions des os du tarse gauche n'ont pu être observées. Les connexions des métatarses gauches n'ont pu être observées. Les connexions des phalanges du pied gauche n'ont pu être observées.

Des mouvements en dehors du volume corporel initial sont observés.

**Présence d'effet(s) de paroi.**

**Présence d'élément(s) de sur-élévation.**

**Présence d'élément(s) de compression du corps.**

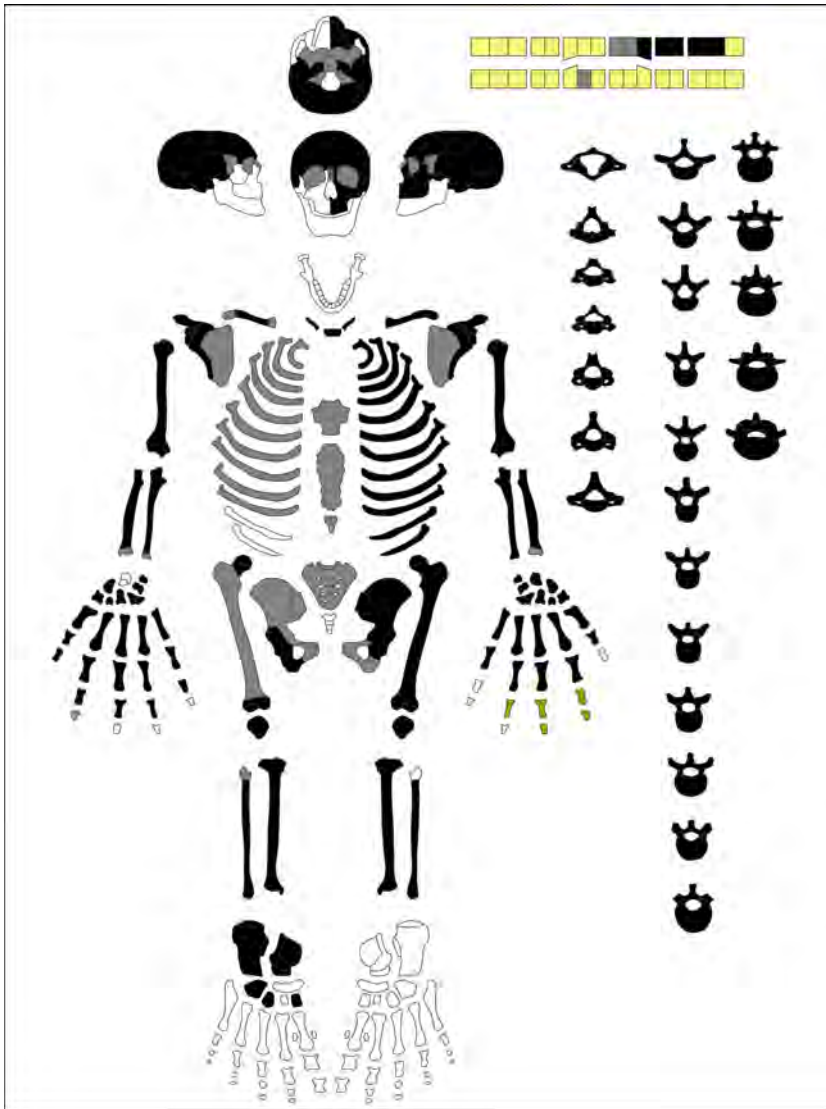
**Décomposition du corps en espace vide.**

position des bras





MARM Sépulture 56 US 40271 individu 1 Adulte de Sexe masculin



- code dents :**
- présente in situ
  - présente isolée et identifiée avec certitude
  - type identifié localisation indéterminée
  - perte *ante mortem*
  - perte *post mortem*
  - absente (agénésie ?)
  - germe présent *in situ*
  - germe isolé mais remplacé avec certitude
  - non observable

PATHOLOGIES - 19 site(s) atteint(s).

Probabilité d'appartenance à chaque classe d'âge d'après Coqueugniot et Weaver (2007) et Schmitt (2005)

0-1	1-4	5-9	10-14	15-19	20-29	30-39	40-49	50-59	60-69	AD Ind.
					0,07	0,39	0,25	0,22	0,07	

La diagnose sexuelle probabiliste : Murail et al. 2005

	PUM	SPU	DCOX	IIMT	ISMM	SCOX	SS	SA	SIS	VEAC
<b>Droit</b>		28,93	217		117,75		72,45			
<b>Gauche</b>					116,04		71,32	67,51	37	
<b>Diagnostic</b>	<b>Masculin</b>		proba D	0,9837	seuil	0,95	Diagnostic final	<b>Masculin</b>		
			proba G	0,9960						



MARM S 58 - US 40668 - Individu 1

Inhumation Individuelle primaire



**Bloc crânio-facial :** Le crâne apparaît par sa face supérieure. La mandibule apparaît par sa face supérieure. Elle est en connexion stricte avec le crâne.

**Vertèbres cervicales :** L'atlas est déconnecté du crâne. L'atlas et l'axis sont déconnectés. Les cervicales 2 à 7 sont en connexion stricte.

**Vertèbres thoraciques :** Les vertèbres thoraciques sont en connexion lâche.

**Vertèbres lombaires :** Les vertèbres lombaires sont en connexion lâche.

**Ceinture scapulaire :** La clavicule droite apparaît par sa face antérieure. La scapula droite apparaît par sa face antérieure. La clavicule gauche apparaît par sa face antérieure. La scapula gauche apparaît par sa face antérieure.

**Membre supérieur droit :** L'humérus droit apparaît par sa face latérale. L'humérus droit est en connexion stricte avec la scapula droite. L'ulna droite apparaît par sa face postéro-médiale. Le radius droit apparaît par sa face postérieure. La connexion des os du coude droit n'est pas maintenue. La connexion des os du poignet droit n'est pas maintenue. Des éléments du membre supérieur droit ont migré en dehors du volume corporel initial. Les os du carpe droit sont déconnectés. Les métacarpes droits sont déconnectés. Les phalanges de la main droite sont déconnectées. Des éléments de la main droite ont migré en dehors du volume corporel initial.

**Membre supérieur gauche :** L'humérus gauche apparaît par sa face latérale. L'humérus gauche est en connexion lâche avec la scapula gauche. La face d'apparition de l'ulna gauche n'a pu être observée. Le radius gauche apparaît par sa face médiale. La connexion des os du coude gauche n'est pas maintenue. La connexion des os du poignet gauche n'est pas maintenue. Les os du carpe gauche sont déconnectés. Les métacarpes gauches sont déconnectés. Les phalanges de la main gauche sont déconnectées. Des éléments de la main gauche ont migré en dehors du volume corporel initial.

**Ceinture pelvienne :** Le coxal droit apparaît par sa face antérieure. Le coxal gauche apparaît par sa face antérieure. Le coxal droit et le sacrum sont déconnectés. Le coxal gauche et le sacrum sont déconnectés. Le coxal droit a migré en dehors du volume corporel initial. Le coxal gauche a migré en dehors du volume corporel initial.

**Membre inférieur droit :** Le fémur droit apparaît par sa face antérieure. Le coxal droit est en connexion stricte avec le fémur droit. La face d'apparition de la patella droite est indéterminée. La connexion entre le fémur et la patella droits n'a pu être observée. Le tibia droit apparaît par sa face antérieure. La fibula droite apparaît par sa face antérieure. Le fémur et le tibia droits sont en connexion lâche. Le tibia et la fibula droits sont en connexion stricte. La cheville est en connexion lâche. Les os du tarse droit sont déconnectés. Les métatarses droits sont déconnectés. Les phalanges du pied droit sont déconnectées. Des éléments du pied droit ont migré en dehors du volume corporel initial.

**Membre inférieur gauche :** Le fémur gauche apparaît par sa face antérieure. Le coxal gauche est en connexion stricte avec le fémur gauche. La face d'apparition de la patella gauche est indéterminée. La connexion entre le fémur et la patella gauches n'a pu être observée. Le tibia gauche apparaît par sa face antérieure. La fibula gauche apparaît par sa face antérieure. La connexion entre le fémur et le tibia gauches n'est pas maintenue. Le tibia et la fibula gauches sont en connexion stricte. La cheville est en connexion stricte. Les os du tarse gauche sont déconnectés. Les métatarses gauches sont déconnectés. Les phalanges du pied gauche sont déconnectées. Des éléments du pied gauche ont migré en dehors du volume corporel initial.

Des mouvements en dehors du volume corporel initial sont observés.

**Décomposition du corps en espace vide.**

position des bras



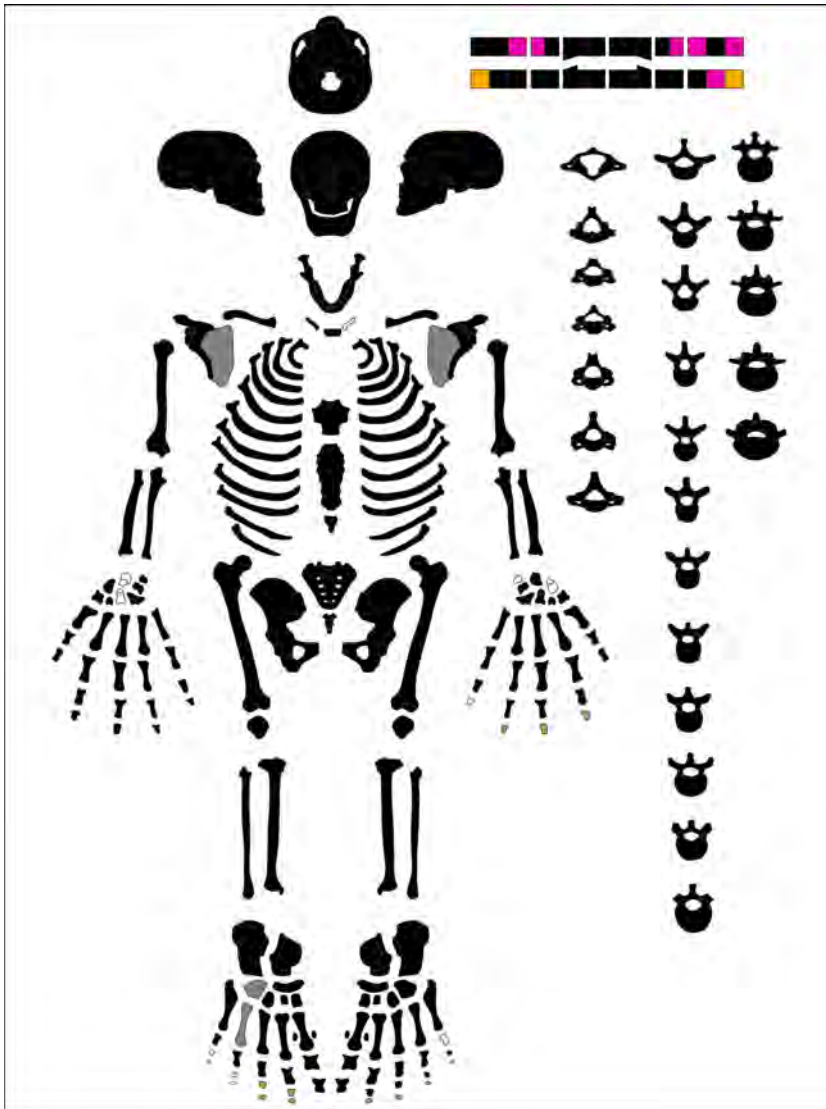


MARM Sépulture 58 US 40668 individu 1 Adulte de Sexe masculin

**code dents :**

- présente in situ
- présente isolée et identifiée avec certitude
- type identifié localisation indéterminée
- perte *ante mortem*
- perte *post mortem*
- absente (agénésie ?)
- germe présent *in situ*
- germe isolé mais remplacé avec certitude
- non observable

PATHOLOGIES - 16 site(s) atteint(s).



**Probabilité d'appartenance à chaque classe d'âge d'après Coqueugniot et Weaver (2007) et Schmitt (2005)**

0-1	1-4	5-9	10-14	15-19	20-29	30-39	40-49	50-59	60-69	AD Ind.
					0,29	0,21	0,20	0,30	0,00	

**La diagnose sexuelle probabiliste : Murail et al. 2005**

	PUM	SPU	DCOX	IIMT	ISMM	SCOX	SS	SA	SIS	VEAC
<b>Droit</b>										
<b>Gauche</b>	70,71	29,89	222		114,63	162	74,76			
<b>Diagnostic</b>	Masculin		proba D		seuil	0,95	Diagnostic final	Masculin		
			proba G	0,9998						



**MARM S 59 - US 41199 - Individu 1**

Inhumation Individuelle primaire



**Bloc crânio-facial :** La face d'apparition du crâne n'a pu être observée. Le crâne a migré en dehors du volume corporel initial. La face d'apparition de la mandibule n'a pu être observée. La connexion entre le crâne et la mandibule n'a pu être observée. La mandibule a migré en dehors du volume corporel initial.

**Vertèbres cervicales :** La connexion entre le crâne et l'atlas n'a pu être observée. La connexion entre l'atlas et l'axis n'a pu être observée. Les cervicales 2 à 7 sont déconnectés. Des migrations en dehors du volume corporel initial sont observables sur le bloc cervical.

**Vertèbres thoraciques :** Les vertèbres thoraciques sont en connexion lâche.

**Vertèbres lombaires :** Les vertèbres lombaires sont en connexion lâche.

**Ceinture scapulaire :** La clavicule droite apparaît par sa face antéro-supérieure. La scapula droite apparaît par sa face antéro-latérale. La clavicule droite a migré en dehors du volume corporel initial. La clavicule gauche apparaît par sa face supérieure. La face d'apparition de la scapula gauche n'a pu être observée.

**Membre supérieur droit :** L'humérus droit apparaît par sa face latérale. L'humérus droit est en connexion stricte avec la scapula droite. L'ulna droite apparaît par sa face postérieure. Le radius droit apparaît par sa face postéro-médiale. La connexion des os du coude droit n'est pas maintenue. La connexion du poignet droit n'a pu être observée. Des éléments du membre supérieur droit ont migré en dehors du volume corporel initial. Les os du carpe droit sont déconnectés. Les connexions des métacarpes droits n'ont pu être observées. Les connexions des phalanges de la main droite n'ont pu être observées.

**Membre supérieur gauche :** La face d'apparition de l'humérus gauche n'a pu être observée. La connexion entre la scapula et l'humérus gauches n'a pu être observée. La face d'apparition de l'ulna gauche n'a pu être observée. La face d'apparition du radius gauche n'a pu être observée. La connexion du coude gauche n'a pu être observée. La connexion du poignet gauche n'a pu être observée. Les connexions des os du carpe gauche n'ont pu être observées. Les connexions des métacarpes gauches n'ont pu être observées. Les connexions des phalanges de la main gauche n'ont pu être observées.

**Ceinture pelvienne :** Le coxal droit apparaît par sa face antérieure. Le coxal gauche apparaît par sa face antérieure. Le coxal droit est en connexion stricte avec le sacrum. La connexion entre le coxal gauche et le sacrum n'a pu être observée.

**Membre inférieur droit :** Le fémur droit apparaît par sa face antérieure. Le coxal droit est en connexion stricte avec le fémur droit. La face d'apparition de la patela droite n'a pu être observée. La connexion entre le fémur et la patela droits n'a pu être observée. Le tibia droit apparaît par sa face antérieure. La fibula droite apparaît par sa face latérale. La connexion entre le fémur et le tibia droits n'est pas maintenue. La connexion entre le tibia et la fibula droits n'est pas maintenue. Les os de la cheville droite sont déconnectés. Les os du tarse droit sont en connexion lâche. Les métatarses droits sont déconnectés. Les phalanges du pied droit sont déconnectées. Des éléments du pied droit ont migré en dehors du volume corporel initial.

**Membre inférieur gauche :** Le fémur gauche apparaît par sa face antérieure. La connexion entre le coxal et le fémur gauches n'a pu être observée. La face d'apparition de la patela gauche n'a pu être observée. La connexion entre le fémur et la patela gauches n'a pu être observée. Le tibia gauche apparaît par sa face antérieure. La fibula gauche apparaît par sa face antérieure. Le fémur et le tibia gauches sont en connexion stricte. Le tibia et la fibula gauches sont en connexion stricte. La cheville est en connexion lâche. Les os du tarse gauche sont en connexion stricte. Les métatarses gauches sont en connexion stricte. Les phalanges du pied gauche sont déconnectées. Des éléments du pied gauche ont migré en dehors du volume corporel initial.

Des mouvements en dehors du volume corporel initial sont observés.

**Présence d'élément(s) de sur-élévation.**

**Présence d'élément(s) de compression du corps.**

**Décomposition du corps en espace vide.**

**position des bras**



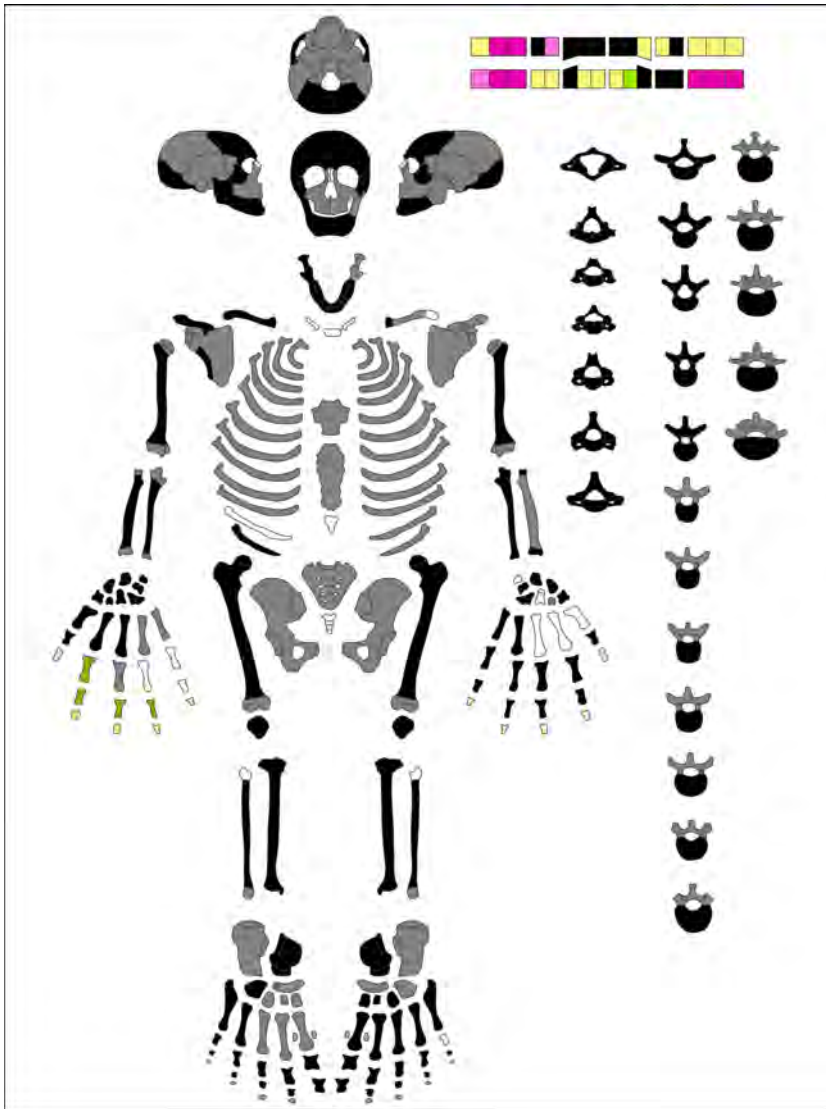


MARM Sépulture 59 US 41199 individu 1 Adulte de Sexe masculin

**code dents :**

- présente in situ
- présente isolée et identifiée avec certitude
- type identifié localisation indéterminée
- perte *ante mortem*
- perte *post mortem*
- absente (agénésie ?)
- germe présent *in situ*
- germe isolé mais remplacé avec certitude
- non observable

PATHOLOGIES - 10 site(s) atteint(s).



Probabilité d'appartenance à chaque classe d'âge d'après Coqueugniot et Weaver (2007) et Schmitt (2005)

0-1	1-4	5-9	10-14	15-19	20-29	30-39	40-49	50-59	60-69	AD Ind.
					0,60	0,16	0,12	0,11	0,01	

La diagnose sexuelle probabiliste : Murail et al. 2005

	PUM	SPU	DCOX	IIMT	ISMM	SCOX	SS	SA	SIS	VEAC
<b>Droit</b>				36,88			78,53	77,04	39,08	
<b>Gauche</b>										
<b>Diagnostic</b>	Masculin			proba D	0,9822	seuil	0,95	Diagnostic final	Masculin	
				proba G						



MARM S 60 - US 40961 - Individu 1

Inhumation Individuelle primaire



**Bloc crânio-facial :** Le crâne apparaît par sa face latérale droite. La mandibule apparaît par sa face latérale droite. La connexion entre le crâne et la mandibule n'a pu être observée.

**Vertèbres cervicales :** La connexion entre le crâne et l'atlas n'a pu être observée. L'atlas et l'axis sont déconnectés. Les cervicales 2 à 7 sont en connexion stricte.

**Vertèbres thoraciques :** Les vertèbres thoraciques sont en connexion lâche.

**Vertèbres lombaires :** Les vertèbres lombaires sont en connexion lâche.

**Grill costal :** Des migrations en dehors du volume corporel initial sont observables sur le grill costal gauche.

**Ceinture scapulaire :** La clavicule droite apparaît par sa face antérieure. La scapula droite apparaît par sa face latérale. La clavicule gauche apparaît par sa face antérieure. La scapula gauche apparaît par sa face antérieure.

**Membre supérieur droit :** L'humérus droit apparaît par sa face antéro-latérale. L'humérus droit est en connexion stricte avec la scapula droite. L'ulna droite apparaît par sa face latérale. Le radius droit apparaît par sa face postérieure. Le coude droit est en connexion lâche. La connexion des os du poignet droit n'est pas maintenue. Les os du carpe droit sont déconnectés. Les métacarpes droits sont déconnectés. Les phalanges de la main droite sont déconnectées.

**Membre supérieur gauche :** La face d'apparition de l'humérus gauche n'a pu être observée. La connexion entre la scapula et l'humérus gauches n'a pu être observée. La face d'apparition de l'ulna gauche n'a pu être observée. La face d'apparition du radius gauche n'a pu être observée. La connexion du coude gauche n'a pu être observée. La connexion du poignet gauche n'a pu être observée. Les os du carpe gauche sont déconnectés. Les métacarpes gauches sont en connexion lâche. Les phalanges de la main gauche sont en connexion stricte.

**Ceinture pelvienne :** Le coxal droit apparaît par sa face antérieure. Le coxal gauche apparaît par sa face antérieure. Le coxal droit et le sacrum sont déconnectés. Le coxal gauche et le sacrum sont déconnectés. Le coxal droit a migré en dehors du volume corporel initial. Le coxal gauche a migré en dehors du volume corporel initial.

**Membre inférieur droit :** Le fémur droit apparaît par sa face antérieure. Le coxal droit est en connexion stricte avec le fémur droit. La patella droite apparaît par sa face antérieure. La connexion entre le fémur et la patella droits n'a pu être observée. Le tibia droit apparaît par sa face antérieure. La fibula droite apparaît par sa face antérieure. Le fémur et le tibia droits sont en connexion lâche. Le tibia et la fibula droits sont en connexion stricte. Les os de la cheville droite sont déconnectés. Le os du tarse droit sont en connexion lâche. Les métatarses droits sont en connexion stricte. Les connexions des phalanges du pied droit n'ont pu être observées.

**Membre inférieur gauche :** Le fémur gauche apparaît par sa face antérieure. Le coxal gauche est en connexion stricte avec le fémur gauche. La patella gauche apparaît par sa face antérieure. La connexion entre le fémur et la patella gauches n'a pu être observée. Le tibia gauche apparaît par sa face antérieure. La fibula gauche apparaît par sa face antérieure. Le fémur et le tibia gauches sont en connexion stricte. Le tibia et la fibula gauches sont en connexion stricte. Les os de la cheville gauche sont déconnectés. Le os du tarse gauche sont en connexion stricte. Les métatarses gauches sont en connexion stricte. Les connexions des phalanges du pied gauche n'ont pu être observées.

Des mouvements en dehors du volume corporel initial sont observés.

**Décomposition du corps en espace vide.**

position des bras



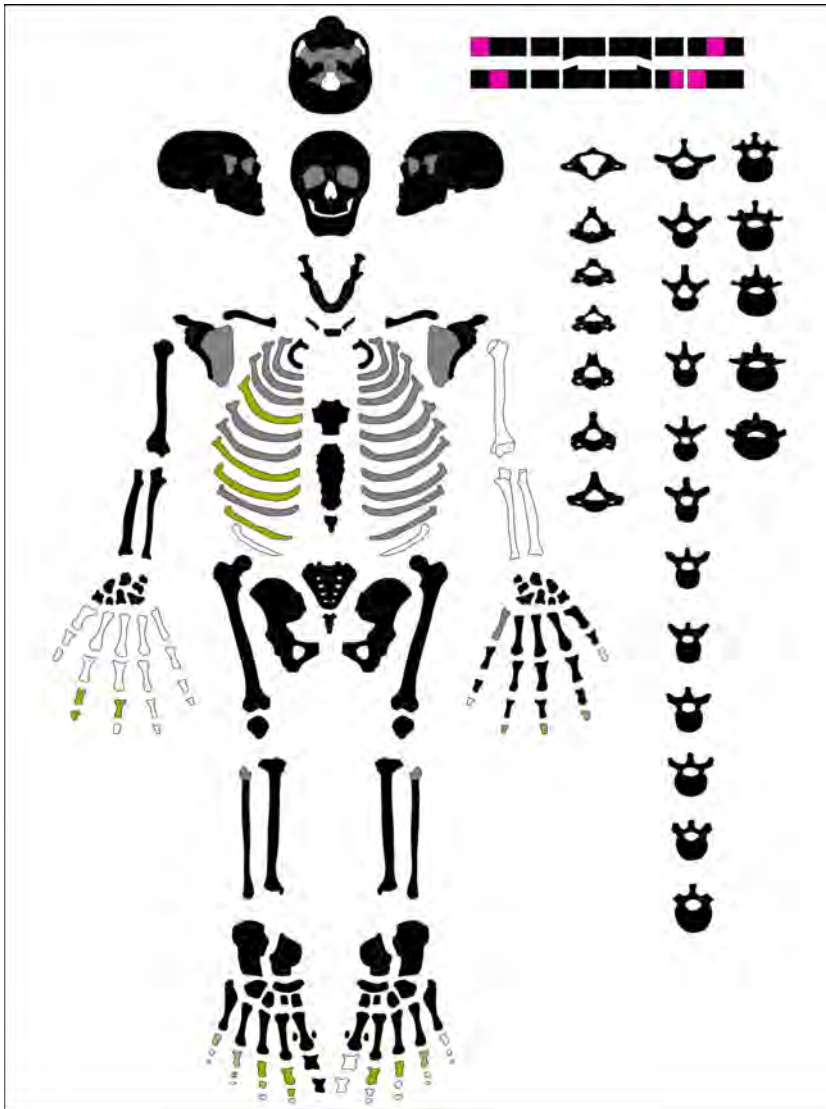


MARM Sépulture 60 US 40961 individu 1 Adulte de Sexe masculin

**code dents :**

- présente in situ
- présente isolée et identifiée avec certitude
- type identifié localisation indéterminée
- perte *ante mortem*
- perte *post mortem*
- absente (agénésie ?)
- germe présent *in situ*
- germe isolé mais remplacé avec certitude
- non observable

PATHOLOGIES - 10 site(s) atteint(s).



**Probabilité d'appartenance à chaque classe d'âge d'après Coqueugniot et Weaver (2007) et Schmitt (2005)**

0-1	1-4	5-9	10-14	15-19	20-29	30-39	40-49	50-59	60-69	AD Ind.
					0,00	0,06	0,15	0,31	0,48	

**La diagnose sexuelle probabiliste : Murail et al. 2005**

	PUM	SPU	DCOX	IIMT	ISMM	SCOX	SS	SA	SIS	VEAC
<b>Droit</b>		30,35				160	71,45	82,09	41,25	60,40
<b>Gauche</b>										
<b>Diagnostic</b>	Masculin		proba D	0,9641	seuil	0,95	Diagnostic final	Masculin		
			proba G							



MARM S 61 - US 41175 - Individu 1

Inhumation Individuelle primaire



**Bloc crânio-facial :** Le crâne apparaît par sa face latérale gauche. La mandibule apparaît par sa face latérale gauche. Elle est en connexion stricte avec le crâne.

**Vertèbres cervicales :** La connexion entre le crâne et l'atlas n'a pu être observée. La connexion entre l'atlas et l'axis n'a pu être observée. Les cervicales 2 à 7 sont en connexion lâche.

**Vertèbres thoraciques :** Les vertèbres thoraciques sont déconnectées entre elles.

**Vertèbres lombaires :** Les vertèbres lombaires sont déconnectées entre elles.

**Ceinture scapulaire :** La clavicule droite apparaît par sa face supérieure. La scapula droite apparaît par sa face latérale. La clavicule droite a migré en dehors du volume corporel initial. La face d'apparition de la clavicule gauche est indéterminée. La scapula gauche apparaît par sa face latérale.

**Membre supérieur droit :** L'humérus droit apparaît par sa face latérale. L'humérus droit est en connexion stricte avec la scapula droite. L'ulna droite apparaît par sa face latérale. Le radius droit apparaît par sa face postérieure. Le coude droit est en connexion stricte. La connexion des os du poignet droit n'est pas maintenue. Les os du carpe droit sont déconnectés. Les métacarpes droits sont déconnectés. Les phalanges de la main droite sont déconnectées. Des éléments de la main droite ont migré en dehors du volume corporel initial.

**Membre supérieur gauche :** L'humérus gauche apparaît par sa face latérale. L'humérus gauche est en connexion stricte avec la scapula gauche. L'ulna gauche apparaît par sa face antérieure. Le radius gauche apparaît par sa face antéro-médiale. La connexion des os du coude gauche n'est pas maintenue. La connexion des os du poignet gauche n'est pas maintenue. Des éléments du membre supérieur gauche ont migré en dehors du volume corporel initial. Les os du carpe gauche sont déconnectés. Les métacarpes gauches sont déconnectés. Les phalanges de la main gauche sont déconnectées.

**Ceinture pelvienne :** Le coxal droit apparaît par sa face antérieure. Le coxal gauche apparaît par sa face antéro-latérale. Le coxal droit et le sacrum sont déconnectés. Le coxal gauche et le sacrum sont déconnectés. Le coxal droit a migré en dehors du volume corporel initial.

**Membre inférieur droit :** Le fémur droit apparaît par sa face antérieure. Le coxal droit est en connexion stricte avec le fémur droit. La patela droite apparaît par sa face antérieure. La connexion entre le fémur et la patela droits n'est pas maintenue. Le tibia droit apparaît par sa face antérieure. La fibula droite apparaît par sa face antérieure. Le fémur et le tibia droits sont en connexion stricte. Le tibia et la fibula droits sont en connexion lâche. Des éléments du membre inférieur droit ont migré en dehors du volume corporel initial. La cheville est en connexion stricte. Les os du tarse droit sont déconnectés. Les métatarses droits sont en connexion lâche. Les phalanges du pied droit sont déconnectées. Des éléments du pied droit ont migré en dehors du volume corporel initial.

**Membre inférieur gauche :** Le fémur gauche apparaît par sa face antérieure. Le coxal gauche est en connexion stricte avec le fémur gauche. La patela gauche apparaît par sa face antérieure. La connexion entre le fémur et la patela gauches n'est pas maintenue. Le tibia gauche apparaît par sa face antérieure. La fibula gauche apparaît par sa face antérieure. Le fémur et le tibia gauches sont en connexion lâche. Le tibia et la fibula gauches sont en connexion lâche. Des éléments du membre inférieur gauche ont migré en dehors du volume corporel initial. La cheville est en connexion lâche. Les os du tarse gauche sont déconnectés. Les métatarses gauches sont en connexion lâche. Les phalanges du pied gauche sont déconnectées. Des éléments du pied gauche ont migré en dehors du volume corporel initial.

Des mouvements en dehors du volume corporel initial sont observés.

**Présence d'élément(s) de compression du corps.**

**Décomposition du corps en espace vide.**

position des bras



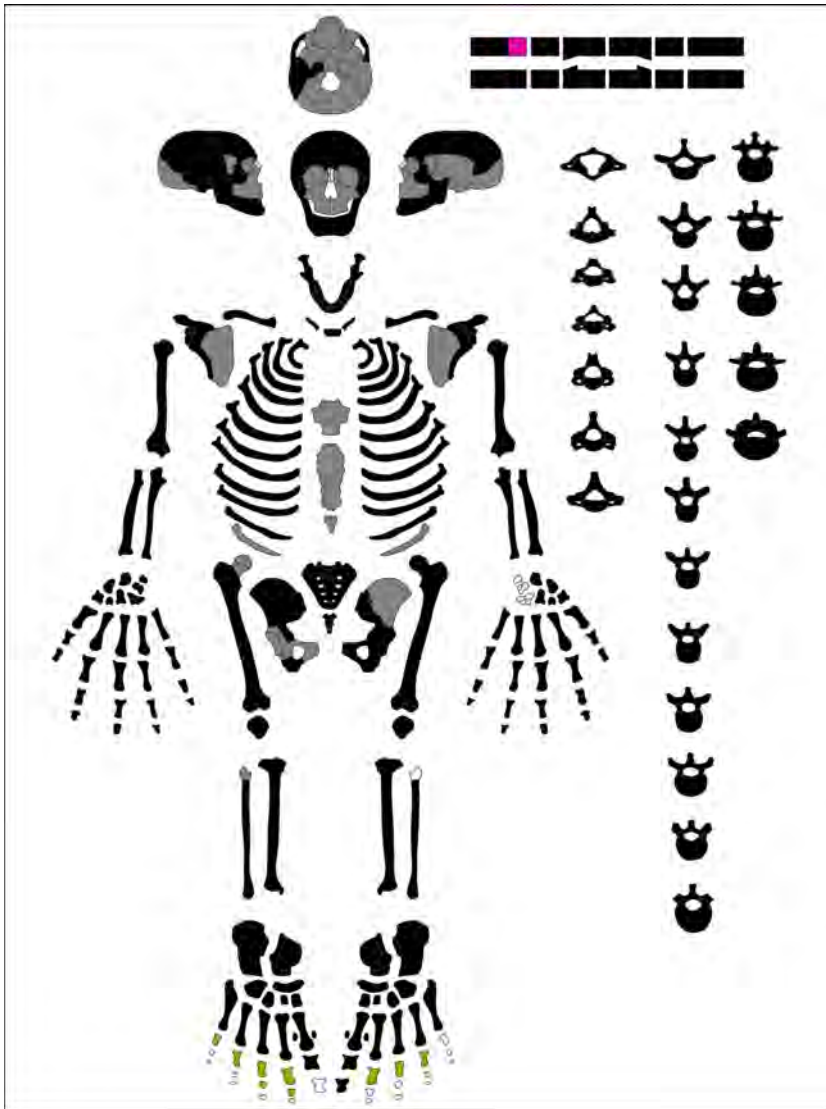


MARM Sépulture 61 US 41175 individu 1 Adulte de Sexe masculin

**code dents :**

- présente in situ
- présente isolée et identifiée avec certitude
- type identifié localisation indéterminée
- perte *ante mortem*
- perte *post mortem*
- absente (agénésie ?)
- germe présent *in situ*
- germe isolé mais remplacé avec certitude
- non observable

PATHOLOGIES - 5 site(s) atteint(s).



Probabilité d'appartenance à chaque classe d'âge d'après Coqueugniot et Weaver (2007) et Schmitt (2005)

0-1	1-4	5-9	10-14	15-19	20-29	30-39	40-49	50-59	60-69	AD Ind.
					0,11	0,19	0,27	0,43	0,00	

La diagnose sexuelle probabiliste : Murail et al. 2005

	PUM	SPU	DCOX	IIMT	ISMM	SCOX	SS	SA	SIS	VEAC
Droit										
Gauche	65,59	29,20	209				70,02			
Diagnostic	Masculin		proba D		seuil		0,95	Diagnostic final	Masculin	
			proba G	0,995						



MARM S 62 - US 41186 - Individu 1

Inhumation Individuelle primaire



**Bloc crânio-facial :** Le crâne apparaît par sa face antérieure. Le crâne a migré en dehors du volume corporel initial. La mandibule apparaît par sa face antéro-supérieure. Elle est déconnectée du crâne.

**Vertèbres cervicales :** L'atlas est déconnecté du crâne. L'atlas et l'axis sont déconnectés. Les cervicales 2 à 7 sont en connexion stricte.

**Vertèbres thoraciques :** Les vertèbres thoraciques sont déconnectées entre elles.

**Vertèbres lombaires :** Les vertèbres lombaires sont déconnectées entre elles.

**Ceinture scapulaire :** La clavicule droite apparaît par sa face supérieure. La scapula droite apparaît par sa face antérieure. La clavicule droite a migré en dehors du volume corporel initial. La clavicule gauche apparaît par sa face supérieure. La scapula gauche apparaît par sa face latérale. La clavicule gauche a migré en dehors du volume corporel initial.

**Membre supérieur droit :** L'humérus droit apparaît par sa face latérale. L'humérus droit est en connexion stricte avec la scapula droite. L'ulna droite apparaît par sa face postérieure. Le radius droit apparaît par sa face postérieure. La connexion des os du coude droit n'est pas maintenue. La connexion des os du poignet droit n'est pas maintenue. Les os du carpe droit sont déconnectés. Les métacarpes droits sont déconnectés. Les phalanges de la main droite sont déconnectées.

**Membre supérieur gauche :** L'humérus gauche apparaît par sa face latérale. L'humérus gauche est en connexion stricte avec la scapula gauche. L'ulna gauche apparaît par sa face antérieure. Le radius gauche apparaît par sa face antéro-médiale. La connexion des os du coude gauche n'est pas maintenue. La connexion des os du poignet gauche n'est pas maintenue. Des éléments du membre supérieur gauche ont migré en dehors du volume corporel initial. Les os du carpe gauche sont déconnectés. Les métacarpes gauches sont déconnectés. Les phalanges de la main gauche sont déconnectées.

**Ceinture pelvienne :** Le coxal droit apparaît par sa face antéro-médiale. Le coxal gauche apparaît par sa face antérieure. Le coxal droit est en connexion lâche avec le sacrum. Le coxal gauche et le sacrum sont déconnectés.

**Membre inférieur droit :** Le fémur droit apparaît par sa face antérieure. Le coxal droit est en connexion stricte avec le fémur droit. La face d'apparition de la patela droite n'a pu être observée. La connexion entre le fémur et la patela droits n'a pu être observée. Le tibia droit apparaît par sa face antérieure. La fibula droite apparaît par sa face antérieure. La connexion entre le fémur et le tibia droits n'est pas maintenue. Le tibia et la fibula droits sont en connexion stricte. Les connexions des os de la cheville droite n'ont pu être observées. Les os du tarse droit sont déconnectés. Les métatarses droits sont en connexion lâche. Les phalanges du pied droit sont déconnectées. Des éléments du pied droit ont migré en dehors du volume corporel initial.

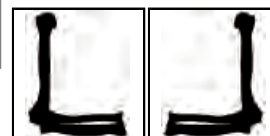
**Membre inférieur gauche :** Le fémur gauche apparaît par sa face antérieure. Le coxal gauche est en connexion stricte avec le fémur gauche. La face d'apparition de la patela gauche n'a pu être observée. La connexion entre le fémur et la patela gauches n'a pu être observée. Le tibia gauche apparaît par sa face antérieure. La fibula gauche apparaît par sa face antérieure. La connexion entre le fémur et le tibia gauches n'est pas maintenue. Le tibia et la fibula gauches sont en connexion stricte. Les connexions des os de la cheville gauche n'ont pu être observées. Les os du tarse gauche sont déconnectés. Les métatarses gauches sont en connexion lâche. Les phalanges du pied gauche sont déconnectées. Des éléments du pied gauche ont migré en dehors du volume corporel initial.

Des mouvements en dehors du volume corporel initial sont observés.

**Présence d'élément(s) de compression du corps.**

**Décomposition du corps en espace vide.**

position des bras



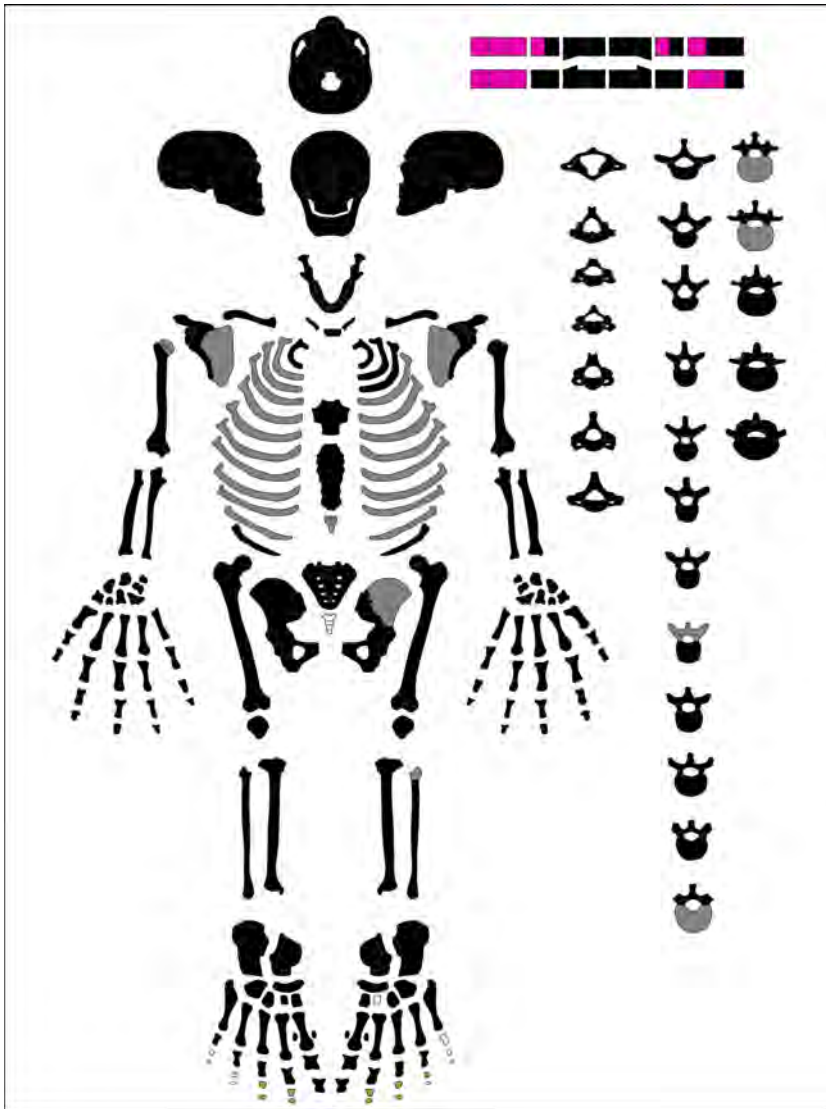


MARM Sépulture 62 US 41186 individu 1 Adulte de Sexe masculin

**code dents :**

- présente in situ
- présente isolée et identifiée avec certitude
- type identifié localisation indéterminée
- perte *ante mortem*
- perte *post mortem*
- absente (agénésie ?)
- germe présent *in situ*
- germe isolé mais remplacé avec certitude
- non observable

PATHOLOGIES - 20 site(s) atteint(s).



Probabilité d'appartenance à chaque classe d'âge d'après Coqueugniot et Weaver (2007) et Schmitt (2005)

0-1	1-4	5-9	10-14	15-19	20-29	30-39	40-49	50-59	60-69	AD Ind.
					0,23	0,39	0,22	0,16	0,00	

La diagnose sexuelle probabiliste : Murail et al. 2005

	PUM	SPU	DCOX	IIMT	ISMM	SCOX	SS	SA	SIS	VEAC
<b>Droit</b>	71,97	29,29	210		113,41					
<b>Gauche</b>										
<b>Diagnostic</b>	Masculin		proba D	0,9869	seuil	0,95	Diagnostic final	Masculin		
			proba G							



MARM S 63 - US 41170 - Individu 1

Inhumation Individuelle primaire



**Bloc crânio-facial :** Le crâne apparaît par sa face antéro-latérale droite. La mandibule apparaît par sa face supérieure. Elle est déconnectée du crâne.

**Vertèbres cervicales :** La connexion entre le crâne et l'atlas n'a pu être observée. L'axis est en connexion stricte avec l'atlas. Les cervicales 2 à 7 sont en connexion stricte.

**Vertèbres thoraciques :** Les vertèbres thoraciques sont déconnectées entre elles.

**Vertèbres lombaires :** Les vertèbres lombaires sont en connexion stricte.

**Ceinture scapulaire :** La clavicule droite apparaît par sa face antérieure. La scapula droite apparaît par sa face antérieure. La clavicule droite a migré en dehors du volume corporel initial. La clavicule gauche apparaît par sa face antérieure. La scapula gauche apparaît par sa face antérieure. La clavicule gauche a migré en dehors du volume corporel initial.

**Membre supérieur droit :** L'humérus droit apparaît par sa face antéro-latérale. L'humérus droit est en connexion stricte avec la scapula droite. L'ulna droite apparaît par sa face postérieure. Le radius droit apparaît par sa face postérieure. La connexion des os du coude droit n'est pas maintenue. La connexion des os du poignet droit n'est pas maintenue. Des éléments du membre supérieur droit ont migré en dehors du volume corporel initial. Les os du carpe droit sont déconnectés. Les métacarpes droits sont déconnectés. Les phalanges de la main droite sont déconnectées.

**Membre supérieur gauche :** L'humérus gauche apparaît par sa face antéro-latérale. La scapula et l'humérus gauches sont déconnectés. L'ulna gauche apparaît par sa face postérieure. Le radius gauche apparaît par sa face postérieure. La connexion des os du coude gauche n'est pas maintenue. La connexion des os du poignet gauche n'est pas maintenue. Des éléments du membre supérieur gauche ont migré en dehors du volume corporel initial. Les os du carpe gauche sont déconnectés. Les métacarpes gauches sont déconnectés. Les phalanges de la main gauche sont déconnectées.

**Ceinture pelvienne :** Le coxal droit apparaît par sa face antéro-médiale. Le coxal gauche apparaît par sa face antéro-médiale. Le coxal droit et le sacrum sont déconnectés. Le coxal gauche et le sacrum sont déconnectés. Le coxal droit a migré en dehors du volume corporel initial. Le coxal gauche a migré en dehors du volume corporel initial.

**Membre inférieur droit :** Le fémur droit apparaît par sa face antérieure. Le coxal droit est en connexion stricte avec le fémur droit. La face d'apparition de la patella droite n'a pu être observée. La connexion entre le fémur et la patella droite n'a pu être observée. Le tibia droit apparaît par sa face antérieure. La face d'apparition de la fibula droite n'a pu être observée. La connexion entre le fémur et le tibia droits n'est pas maintenue. Le tibia et la fibula droits sont en connexion lâche. Les os de la cheville droite sont déconnectés. Les os du tarse droit sont déconnectés. Les métatarses droits sont déconnectés. Les phalanges du pied droit sont déconnectées. Des éléments du pied droit ont migré en dehors du volume corporel initial.

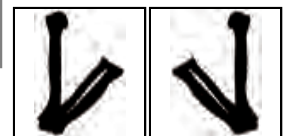
**Membre inférieur gauche :** Le fémur gauche apparaît par sa face antérieure. Le coxal gauche est en connexion stricte avec le fémur gauche. La face d'apparition de la patella gauche n'a pu être observée. La connexion entre le fémur et la patella gauches n'a pu être observée. Le tibia gauche apparaît par sa face antérieure. La face d'apparition de la fibula gauche n'a pu être observée. Le fémur et le tibia gauches sont en connexion lâche. Le tibia et la fibula gauches sont en connexion lâche. La cheville est en connexion lâche. Les os du tarse gauche sont déconnectés. Les métatarses gauches sont déconnectés. Les phalanges du pied gauche sont déconnectées. Des éléments du pied gauche ont migré en dehors du volume corporel initial.

Des mouvements en dehors du volume corporel initial sont observés.

**Présence d'élément(s) de compression du corps.**

**Décomposition du corps en espace vide.**

position des bras



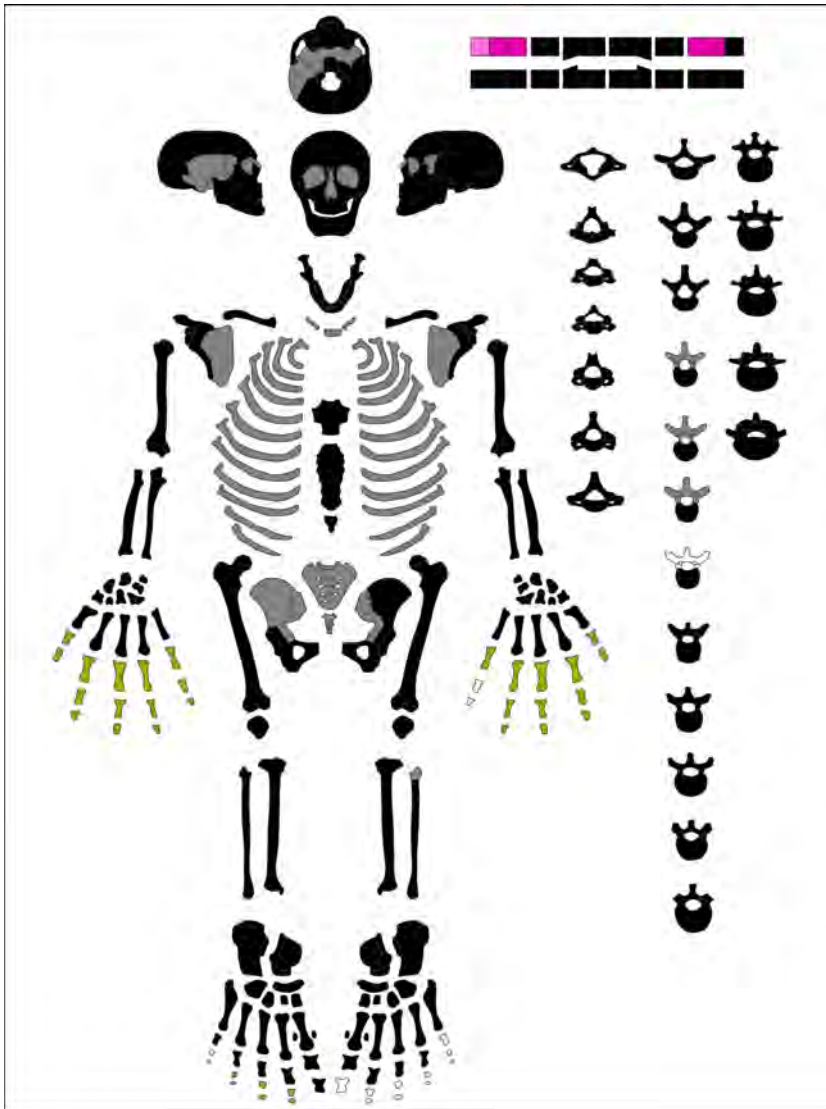


MARM Sépulture 63 US 41170 individu 1 Adulte de Sexe féminin

**code dents :**

- présente in situ
- présente isolée et identifiée avec certitude
- type identifié localisation indéterminée
- perte *ante mortem*
- perte *post mortem*
- absente (agénésie ?)
- germe présent *in situ*
- germe isolé mais remplacé avec certitude
- non observable

PATHOLOGIES - 33 site(s) atteint(s).



**Probabilité d'appartenance à chaque classe d'âge d'après Coqueugniot et Weaver (2007) et Schmitt (2005)**

0-1	1-4	5-9	10-14	15-19	20-29	30-39	40-49	50-59	60-69	AD Ind.
					0,11	0,19	0,27	0,43	0,00	

**La diagnose sexuelle probabiliste : Murail et al. 2005**

	PUM	SPU	DCOX	IIMT	ISMM	SCOX	SS	SA	SIS	VEAC
<b>Droit</b>	68,82				100,94			75,5		50,54
<b>Gauche</b>	68,83		197	41,16	99,84					
<b>Diagnostic</b>	Féminin		proba D	0,9503	seuil	0,95	Diagnostic final	Féminin		
			proba G	0,9511						



MARM S 64 - US 41602 - Individu 1

Inhumation Individuelle primaire



**Bloc crânio-facial :** La face d'apparition du crâne n'a pu être observée. La face d'apparition de la mandibule n'a pu être observée. La connexion entre le crâne et la mandibule n'a pu être observée.

**Vertèbres cervicales :** L'atlas est déconnecté du crâne. La connexion entre l'atlas et l'axis n'a pu être observée. Les connexions entre les cervicales 2 à 7 n'ont pu être observées.

**Vertèbres thoraciques :** Les vertèbres thoraciques sont déconnectées entre elles.

**Vertèbres lombaires :** Les vertèbres lombaires sont en connexion stricte.

**Ceinture scapulaire :** La clavicule droite apparaît par sa face supérieure. La face d'apparition de la scapula droite n'a pu être observée. La face d'apparition de la clavicule gauche n'a pu être observée. La face d'apparition de la scapula gauche n'a pu être observée.

**Membre supérieur droit :** La face d'apparition de l'humérus droit n'a pu être observée. La scapula et l'humérus droits sont déconnectés. L'ulna droite apparaît par sa face postéro-latérale. Le radius droit apparaît par sa face antéro-médiale. La connexion des os du coude droit n'est pas maintenue. La connexion du poignet droit n'a pu être observée. Les connexions des os du carpe droit n'ont pu être observées. Les connexions des métacarpes droits n'ont pu être observées. Les connexions des phalanges de la main droite n'ont pu être observées.

**Membre supérieur gauche :** La face d'apparition de l'humérus gauche n'a pu être observée. La connexion entre la scapula et l'humérus gauches n'a pu être observée. La face d'apparition de l'ulna gauche n'a pu être observée. La face d'apparition du radius gauche n'a pu être observée. La connexion du coude gauche n'a pu être observée. La connexion du poignet gauche n'a pu être observée. Les os du carpe gauche sont déconnectés. Les métacarpes gauches sont déconnectés. Les phalanges de la main gauche sont déconnectées.

**Ceinture pelvienne :** Le coxal droit apparaît par sa face antéro-médiale. La face d'apparition du coxal gauche n'a pu être observée. Le coxal droit et le sacrum sont déconnectés. La connexion entre le coxal gauche et le sacrum n'a pu être observée. Le coxal droit a migré en dehors du volume corporel initial.

**Membre inférieur droit :** Le fémur droit apparaît par sa face antérieure. Le coxal et le fémur droits sont déconnectés. La face d'apparition de la patella droite n'a pu être observée. La connexion entre le fémur et la patella droits n'a pu être observée. La face d'apparition du tibia droit n'a pu être observée. La face d'apparition de la fibula droite n'a pu être observée. La connexion entre le fémur et le tibia droits n'a pu être observée. La connexion entre le tibia et la fibula droits n'a pu être observée. Des éléments du membre inférieur droit ont migré en dehors du volume corporel initial. Les connexions des os de la cheville droite n'ont pu être observées. Les connexions des os du tarse droit n'ont pu être observées. Les connexions des métatarses droits n'ont pu être observées. Les connexions des phalanges du pied droit n'ont pu être observées.

**Membre inférieur gauche :** La face d'apparition du fémur gauche n'a pu être observée. La connexion entre le coxal et le fémur gauches n'a pu être observée. La face d'apparition de la patella gauche n'a pu être observée. La connexion entre le fémur et la patella gauches n'a pu être observée. La face d'apparition du tibia gauche n'a pu être observée. La face d'apparition de la fibula gauche n'a pu être observée. La connexion entre le fémur et le tibia gauches n'a pu être observée. La connexion entre le tibia et la fibula gauches n'a pu être observée. Les connexions des os de la cheville gauche n'ont pu être observées. Les connexions des os du tarse gauche n'ont pu être observées. Les connexions des métatarses gauches n'ont pu être observées. Les connexions des phalanges du pied gauche

Des mouvements en dehors du volume corporel initial sont observés.

**Décomposition du corps en espace vide.**

position des bras



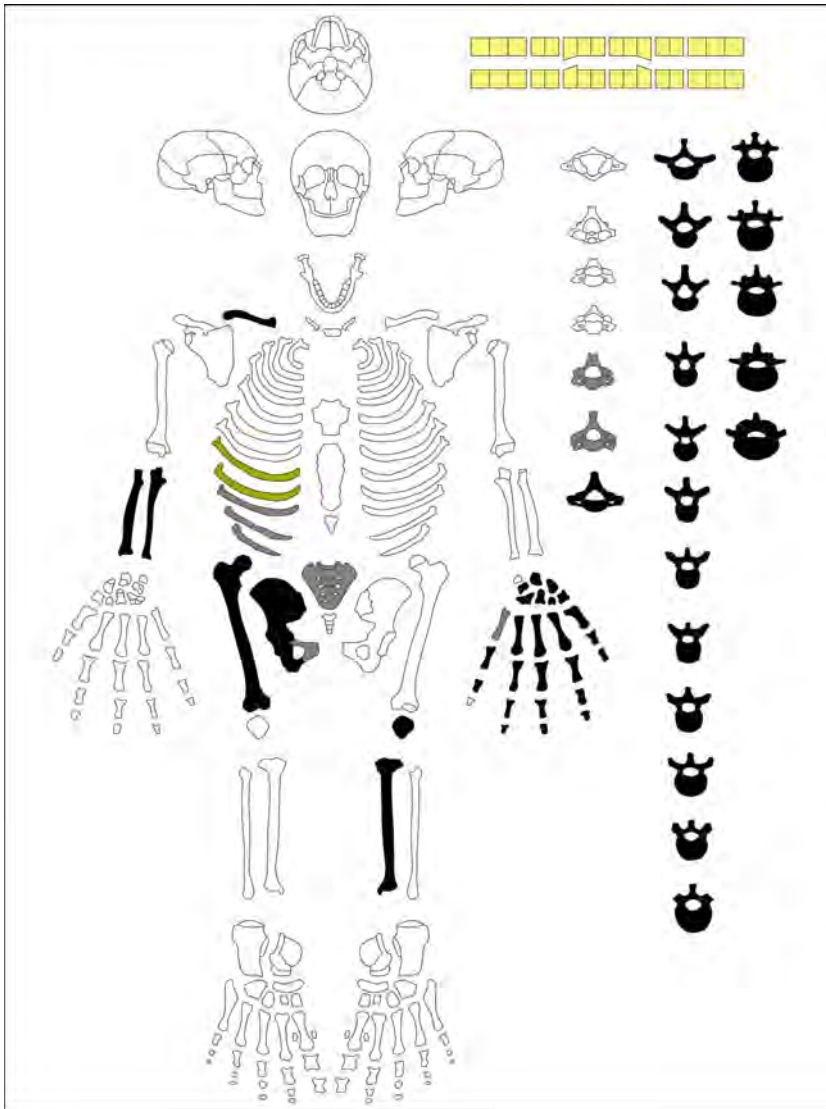


MARM Sépulture 64 US 41602 individu 1 Adulte de Sexe féminin

**code dents :**

- présente in situ
- présente isolée et identifiée avec certitude
- type identifié localisation indéterminée
- perte *ante mortem*
- perte *post mortem*
- absente (agénésie ?)
- germe présent *in situ*
- germe isolé mais remplacé avec certitude
- non observable

PATHOLOGIES - 7 site(s) atteint(s).



**Probabilité d'appartenance à chaque classe d'âge d'après Coqueugniot et Weaver (2007) et Schmitt (2005)**

0-1	1-4	5-9	10-14	15-19	20-29	30-39	40-49	50-59	60-69	AD Ind.
					0,00	0,01	0,02	0,14	0,83	

**La diagnose sexuelle probabiliste : Murail et al. 2005**

	PUM	SPU	DCOX	IIMT	ISMM	SCOX	SS	SA	SIS	VEAC
<b>Droit</b>		25,79	183	48,59	93,95					
<b>Gauche</b>										
<b>Diagnostic</b>	<b>Féminin</b>		proba D	0,9988	seuil	0,95	Diagnostic final	<b>Féminin</b>		
			proba G							



MARM S 65 - US 41133 - Individu 1

Inhumation Individuelle primaire



**Bloc crânio-facial :** La face d'apparition du crâne n'a pu être observée. La face d'apparition de la mandibule n'a pu être observée. La connexion entre le crâne et la mandibule n'a pu être observée.

**Vertèbres cervicales :** L'atlas est déconnecté du crâne. La connexion entre l'atlas et l'axis n'a pu être observée. Les connexions entre les cervicales 2 à 7 n'ont pu être observées.

**Vertèbres thoraciques :** Les connexions entre les vertèbres thoraciques n'ont pu être observées.

**Vertèbres lombaires :** Les vertèbres lombaires sont déconnectées entre elles.

**Ceinture scapulaire :** La clavicule droite apparaît par sa face antérieure. La scapula droite apparaît par sa face antérieure. La face d'apparition de la clavicule gauche n'a pu être observée. La face d'apparition de la scapula gauche n'a pu être observée.

**Membre supérieur droit :** L'humérus droit apparaît par sa face latérale. La connexion entre la scapula et l'humérus droits n'a pu être observée. La face d'apparition de l'ulna droite n'a pu être observée. La face d'apparition du radius droit n'a pu être observée. La connexion du coude droit n'a pu être observée. La connexion du poignet droit n'a pu être observée. Les connexions des os du carpe droit n'ont pu être observées. Les connexions des métacarpes droits n'ont pu être observées. Les connexions des phalanges de la main droite n'ont pu être observées.

**Membre supérieur gauche :** La face d'apparition de l'humérus gauche n'a pu être observée. La connexion entre la scapula et l'humérus gauches n'a pu être observée. La face d'apparition de l'ulna gauche n'a pu être observée. La face d'apparition du radius gauche n'a pu être observée. La connexion des os du coude gauche n'est pas maintenue. La connexion des os du poignet gauche n'est pas maintenue. Les os du carpe gauche sont déconnectés. Les métacarpes gauches sont déconnectés. Les phalanges de la main gauche sont déconnectées.

**Ceinture pelvienne :** Le coxal droit apparaît par sa face antérieure. La face d'apparition du coxal gauche n'a pu être observée. La connexion entre le coxal droit et le sacrum n'a pu être observée. La connexion entre le coxal gauche et le sacrum n'a pu être observée.

**Membre inférieur droit :** Le fémur droit apparaît par sa face antérieure. La connexion entre le coxal et le fémur droits n'a pu être observée. La face d'apparition de la patella droite n'a pu être observée. La connexion entre le fémur et la patella droits n'a pu être observée. La face d'apparition du tibia droit n'a pu être observée. La face d'apparition de la fibula droite n'a pu être observée. La connexion entre le fémur et le tibia droits n'a pu être observée. La connexion entre le tibia et la fibula droits n'a pu être observée. Les connexions des os de la cheville droite n'ont pu être observées. Les connexions des os du tarse droit n'ont pu être observées. Les connexions des métatarses droits n'ont pu être observées. Les connexions des phalanges du pied droit n'ont pu être observées.

**Membre inférieur gauche :** La face d'apparition du fémur gauche n'a pu être observée. La connexion entre le coxal et le fémur gauches n'a pu être observée. La face d'apparition de la patella gauche n'a pu être observée. La connexion entre le fémur et la patella gauches n'a pu être observée. La face d'apparition du tibia gauche n'a pu être observée. La face d'apparition de la fibula gauche n'a pu être observée. La connexion entre le fémur et le tibia gauches n'a pu être observée. La connexion entre le tibia et la fibula gauches n'a pu être observée. Les connexions des os de la cheville gauche n'ont pu être observées. Les connexions des os du tarse gauche n'ont pu être observées. Les connexions des métatarses gauches n'ont pu être observées. Les connexions des phalanges du pied gauche n'ont pu être observées.

**L'espace de décomposition du corps est indéterminé.**

position des bras



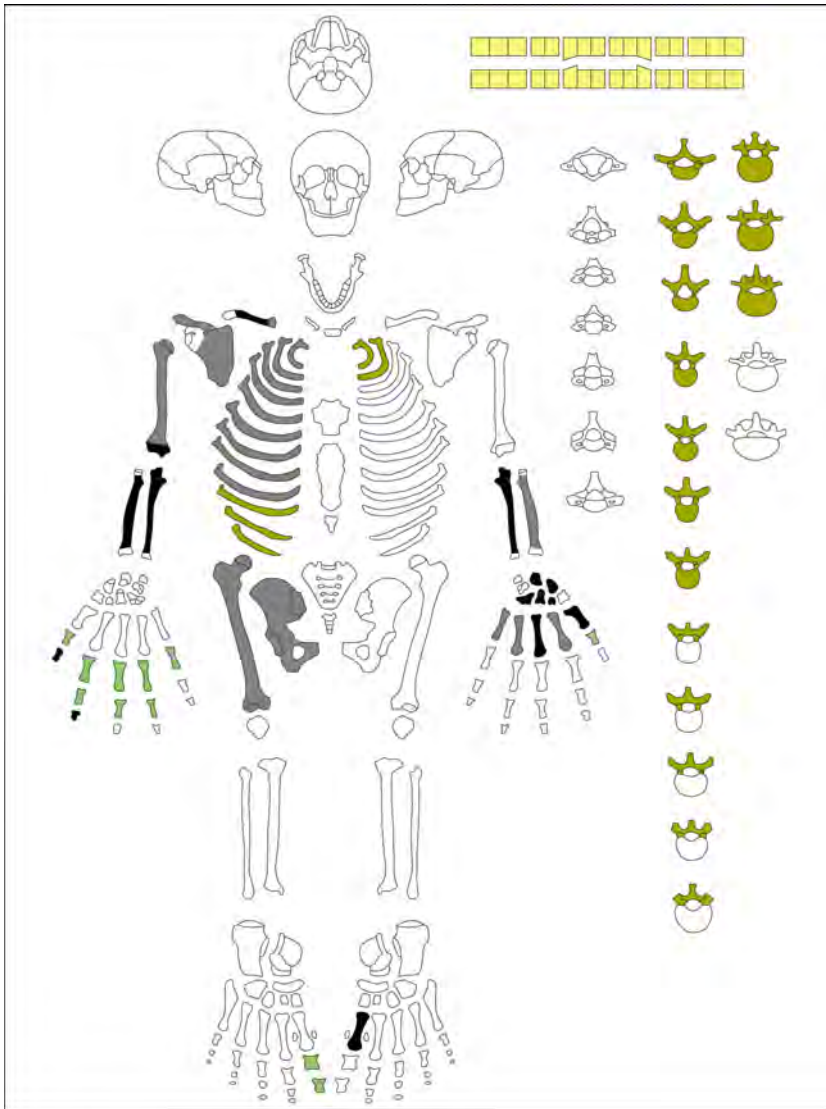


**MARM** Sépulture **65** US **41133** individu **1** Adulte de Sexe indéterminé

**code dents :**

- présente in situ
- présente isolée et identifiée avec certitude
- type identifié localisation indéterminée
- perte *ante mortem*
- perte *post mortem*
- absente (agénésie ?)
- germe présent *in situ*
- germe isolé mais remplacé avec certitude
- non observable

PATHOLOGIES - 11 site(s) atteint(s).



**Probabilité d'appartenance à chaque classe d'âge d'après Coqueugniot et Weaver (2007) et Schmitt (2005)**

0-1	1-4	5-9	10-14	15-19	20-29	30-39	40-49	50-59	60-69	AD Ind.
										1

**La diagnose sexuelle probabiliste : Murail et al. 2005**

	PUM	SPU	DCOX	IIMT	ISMM	SCOX	SS	SA	SIS	VEAC
<b>Droit</b>										
<b>Gauche</b>										
<b>Diagnostic</b>										
			proba D		seuil		Diagnostic final			
			proba G							



MARM S 66 - US 41179 - Individu 1

Inhumation Individuelle primaire



**Bloc crânio-facial :** Le crâne apparaît par sa face antéro-latérale gauche. La mandibule apparaît par sa face supérieure. Elle est déconnectée du crâne. La mandibule a migré en dehors du volume corporel initial.

**Vertèbres cervicales :** L'atlas est en connexion stricte avec le crâne. L'axis est en connexion lâche avec l'atlas. Les connexions entre les cervicales 2 à 7 n'ont pu être observées.

**Vertèbres thoraciques :** Les vertèbres thoraciques sont déconnectées entre elles.

**Vertèbres lombaires :** Les vertèbres lombaires sont en connexion stricte.

**Ceinture scapulaire :** La clavicule droite apparaît par sa face antéro-supérieure. La scapula droite apparaît par sa face antérieure. La clavicule gauche apparaît par sa face antérieure. La scapula gauche apparaît par sa face latérale.

**Membre supérieur droit :** L'humérus droit apparaît par sa face latérale. L'humérus droit est en connexion stricte avec la scapula droite. L'ulna droite apparaît par sa face latérale. Le radius droit apparaît par sa face postérieure. La connexion des os du coude droit n'est pas maintenue. La connexion des os du poignet droit n'est pas maintenue. Des éléments du membre supérieur droit ont migré en dehors du volume corporel initial. Les os du carpe droit sont déconnectés. Les métacarpes droits sont déconnectés. Les phalanges de la main droite sont déconnectées.

**Membre supérieur gauche :** L'humérus gauche apparaît par sa face latérale. L'humérus gauche est en connexion stricte avec la scapula gauche. L'ulna gauche apparaît par sa face latérale. Le radius gauche apparaît par sa face postérieure. La connexion des os du coude gauche n'est pas maintenue. Le poignet gauche est en connexion lâche. Les os du carpe gauche sont en connexion lâche. Les métacarpes gauches sont en connexion lâche. Les connexions des phalanges de la main gauche n'ont pu être observées.

**Ceinture pelvienne :** Le coxal droit apparaît par sa face antérieure. Le coxal gauche apparaît par sa face antérieure. Le coxal droit est en connexion lâche avec le sacrum. Le coxal gauche est en connexion lâche avec le sacrum.

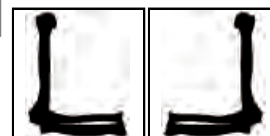
**Membre inférieur droit :** La face d'apparition du fémur droit n'a pu être observée. La connexion entre le coxal et le fémur droits n'a pu être observée. La face d'apparition de la patella droite n'a pu être observée. La connexion entre le fémur et la patella droits n'a pu être observée. La face d'apparition du tibia droit n'a pu être observée. La face d'apparition de la fibula droite n'a pu être observée. La connexion entre le fémur et le tibia droits n'a pu être observée. La connexion entre le tibia et la fibula droits n'a pu être observée. Les connexions des os de la cheville droite n'ont pu être observées. Les connexions des os du tarse droit n'ont pu être observées. Les connexions des métatarses droits n'ont pu être observées. Les connexions des phalanges du pied droit n'ont pu être observées.

**Membre inférieur gauche :** La face d'apparition du fémur gauche n'a pu être observée. La connexion entre le coxal et le fémur gauches n'a pu être observée. La face d'apparition de la patella gauche n'a pu être observée. La connexion entre le fémur et la patella gauches n'a pu être observée. La face d'apparition du tibia gauche n'a pu être observée. La face d'apparition de la fibula gauche n'a pu être observée. La connexion entre le fémur et le tibia gauches n'a pu être observée. La connexion entre le tibia et la fibula gauches n'a pu être observée. Les connexions des os de la cheville gauche n'ont pu être observées. Les connexions des os du tarse gauche n'ont pu être observées. Les connexions des métatarses gauches n'ont pu être observées. Les connexions des phalanges du pied gauche n'ont pu être observées.

Des mouvements en dehors du volume corporel initial sont observés.

**Décomposition du corps en espace vide.**

position des bras



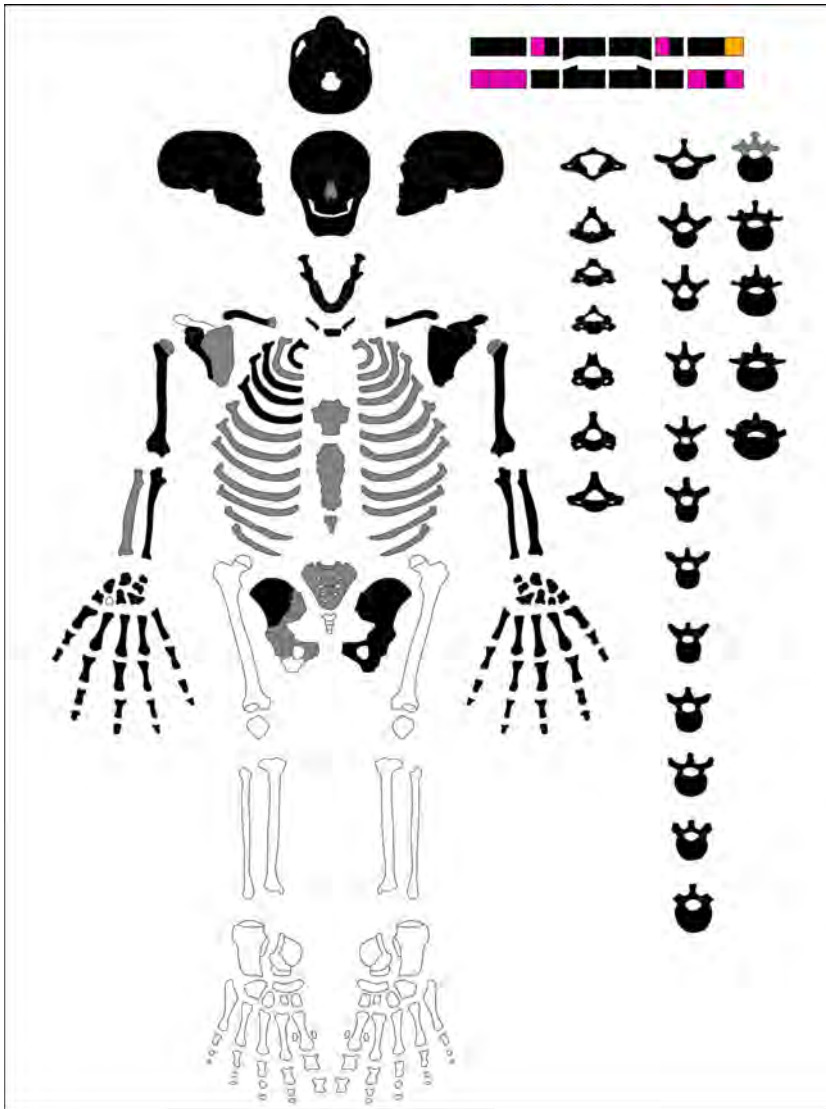


MARM Sépulture 66 US 41179 individu 1 Adulte de Sexe féminin

**code dents :**

- présente in situ
- présente isolée et identifiée avec certitude
- type identifié localisation indéterminée
- perte *ante mortem*
- perte *post mortem*
- absente (agénésie ?)
- germe présent *in situ*
- germe isolé mais remplacé avec certitude
- non observable

PATHOLOGIES - 12 site(s) atteint(s).



**Probabilité d'appartenance à chaque classe d'âge d'après Coqueugniot et Weaver (2007) et Schmitt (2005)**

0-1	1-4	5-9	10-14	15-19	20-29	30-39	40-49	50-59	60-69	AD Ind.
					0,11	0,19	0,27	0,43	0,00	

**La diagnose sexuelle probabiliste : Murail et al. 2005**

	PUM	SPU	DCOX	IIMT	ISMM	SCOX	SS	SA	SIS	VEAC
<b>Droit</b>										
<b>Gauche</b>		21,92	199		101,06		64,18			
<b>Diagnostic</b>	<b>Féminin</b>		proba D		seuil		Diagnostic final	<b>Féminin</b>		
			proba G	0,9801						



MARM S 73 - US 41666 - Individu 1

Inhumation Individuelle primaire



**Bloc crânio-facial :** Le crâne apparaît par sa face antéro-supérieure. La mandibule apparaît par sa face antéro-supérieure. La connexion entre le crâne et la mandibule n'a pu être observée.

**Vertèbres cervicales :** La connexion entre le crâne et l'atlas n'a pu être observée. L'axis est en connexion stricte avec l'atlas. Les connexions entre les cervicales 2 à 7 n'ont pu être observées.

**Vertèbres thoraciques :** Les vertèbres thoraciques sont déconnectées entre elles.

**Vertèbres lombaires :** Les vertèbres lombaires sont déconnectées entre elles.

**Ceinture scapulaire :** La clavicule droite apparaît par sa face antéro-supérieure. La scapula droite apparaît par sa face antérieure. La clavicule droite a migré en dehors du volume corporel initial. La face d'apparition de la clavicule gauche n'a pu être observée. La scapula gauche apparaît par sa face antéro-latérale.

**Membre supérieur droit :** L'humérus droit apparaît par sa face latérale. L'humérus droit est en connexion stricte avec la scapula droite. La face d'apparition de l'ulna droite n'a pu être observée. Le radius droit apparaît par sa face postérieure. La connexion des os du coude droit n'est pas maintenue. La connexion des os du poignet droit n'est pas maintenue. Les os du carpe droit sont déconnectés. Les métacarpes droits sont déconnectés. Les phalanges de la main droite sont déconnectées.

**Membre supérieur gauche :** L'humérus gauche apparaît par sa face latérale. La scapula et l'humérus gauches sont déconnectés. L'ulna gauche apparaît par sa face postérieure. Le radius gauche apparaît par sa face antérieure. La connexion des os du coude gauche n'est pas maintenue. La connexion des os du poignet gauche n'est pas maintenue. Des éléments du membre supérieur gauche ont migré en dehors du volume corporel initial. Les os du carpe gauche sont déconnectés. Les métacarpes gauches sont déconnectés. Les phalanges de la main gauche sont déconnectées. Des éléments de la main gauche ont migré en dehors du volume corporel initial.

**Ceinture pelvienne :** Le coxal droit apparaît par sa face antéro-médiale. Le coxal gauche apparaît par sa face antérieure. Le coxal droit et le sacrum sont déconnectés. Le coxal gauche et le sacrum sont déconnectés. Le coxal droit a migré en dehors du volume corporel initial.

**Membre inférieur droit :** Le fémur droit apparaît par sa face antérieure. Le coxal et le fémur droits sont déconnectés. La face d'apparition de la patella droite n'a pu être observée. La connexion entre le fémur et la patella droits n'a pu être observée. Le tibia droit apparaît par sa face antérieure. La fibula droite apparaît par sa face antérieure. Le fémur et le tibia droits sont en connexion stricte. La connexion entre le tibia et la fibula droits n'a pu être observée. Les os de la cheville droite sont déconnectés. Les os du tarse droit sont déconnectés. Les métatarses droits sont en connexion lâche. Les phalanges du pied droit sont déconnectées. Des éléments du pied droit ont migré en dehors du volume corporel initial.

**Membre inférieur gauche :** Le fémur gauche apparaît par sa face antérieure. Le coxal et le fémur gauches sont déconnectés. La face d'apparition de la patella gauche n'a pu être observée. La connexion entre le fémur et la patella gauches n'a pu être observée. Le tibia gauche apparaît par sa face antérieure. La fibula gauche apparaît par sa face antérieure. Le fémur et le tibia gauches sont en connexion stricte. La connexion entre le tibia et la fibula gauches n'est pas maintenue. Les os de la cheville gauche sont déconnectés. Les os du tarse gauche sont déconnectés. Les métatarses gauches sont en connexion stricte. Les phalanges du pied gauche sont déconnectées. Des éléments du pied gauche ont migré en dehors du volume corporel initial.

Des mouvements en dehors du volume corporel initial sont observés.

**Présence d'effet(s) de paroi.**

**Présence d'élément(s) de compression du corps.**

**Décomposition du corps en espace vide.**

**Architecture funéraire : blocs / aménagement céphalique pierres latérales / support de couverture.**

position des bras



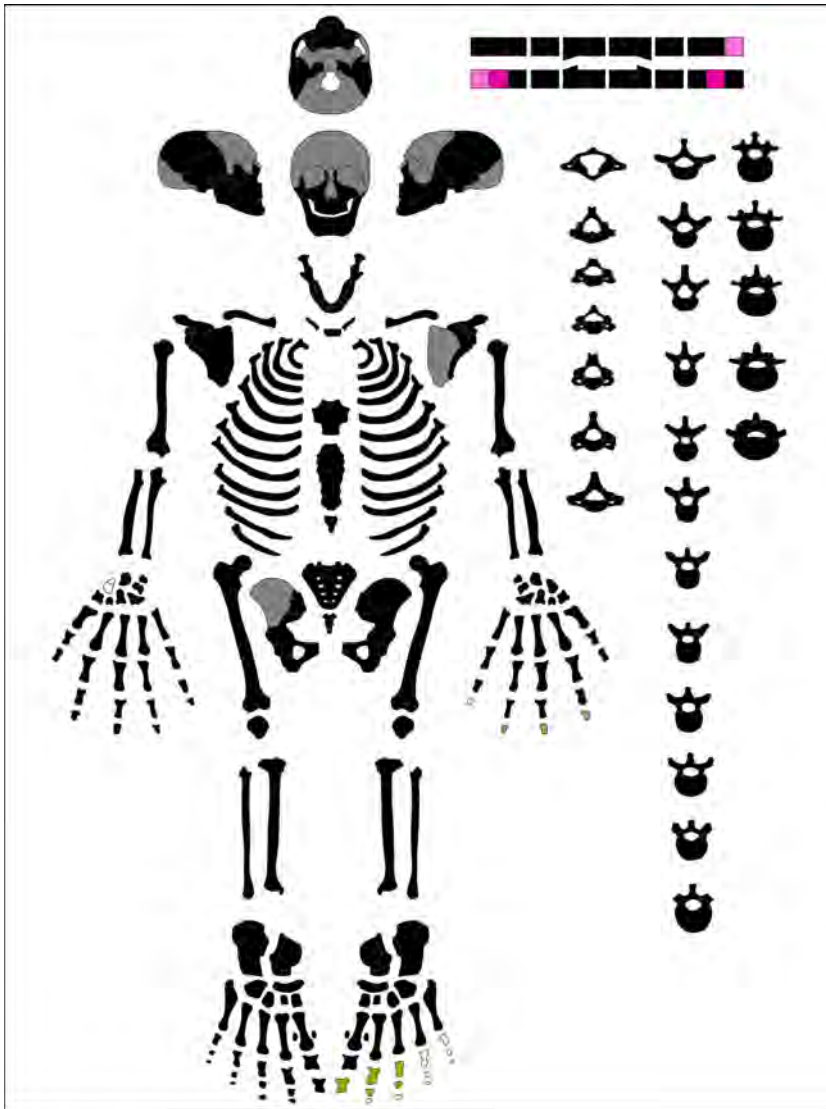


MARM Sépulture 73 US 41666 individu 1 Adulte de Sexe masculin

**code dents :**

- présente in situ
- présente isolée et identifiée avec certitude
- type identifié localisation indéterminée
- perte *ante mortem*
- perte *post mortem*
- absente (agénésie ?)
- germe présent *in situ*
- germe isolé mais remplacé avec certitude
- non observable

PATHOLOGIES - 4 site(s) atteint(s).



Probabilité d'appartenance à chaque classe d'âge d'après Coqueugniot et Weaver (2007) et Schmitt (2005)

0-1	1-4	5-9	10-14	15-19	20-29	30-39	40-49	50-59	60-69	AD Ind.
					0,83	0,09	0,05	0,04	-0,01	

La diagnose sexuelle probabiliste : Murail et al. 2005

	PUM	SPU	DCOX	IIMT	ISMM	SCOX	SS	SA	SIS	VEAC
<b>Droit</b>	63,06	28,25		36,41	109,15					
<b>Gauche</b>	62,23	26,05	202	38,45						
<b>Diagnostic</b>	Masculin		proba D	1	seuil	0,95	Diagnostic final		Masculin	
			proba G	0,9989						



**MARM S 81 - US 41696 - Individu 1**

Inhumation Individuelle primaire



**Bloc crânio-facial :** La face d'apparition du crâne n'a pu être observée. La face d'apparition de la mandibule n'a pu être observée. La connexion entre le crâne et la mandibule n'a pu être observée.

**Vertèbres cervicales :** La connexion entre le crâne et l'atlas n'a pu être observée. La connexion entre l'atlas et l'axis n'a pu être observée. Les connexions entre les cervicales 2 à 7 n'ont pu être observées.

**Vertèbres thoraciques :** Les connexions entre les vertèbres thoraciques n'ont pu être observées.

**Vertèbres lombaires :** Les connexions entre les vertèbres lombaires n'ont pu être observées.

**Ceinture scapulaire :** La face d'apparition de la clavicule droite n'a pu être observée. La face d'apparition de la scapula droite n'a pu être observée. La face d'apparition de la clavicule gauche n'a pu être observée. La face d'apparition de la scapula gauche n'a pu être observée.

**Membre supérieur droit :** La face d'apparition de l'humérus droit n'a pu être observée. La connexion entre la scapula et l'humérus droits n'a pu être observée. La face d'apparition de l'ulna droite n'a pu être observée. La face d'apparition du radius droit n'a pu être observée. La connexion du coude droit n'a pu être observée. La connexion du poignet droit n'a pu être observée. Les connexions des os du carpe droit n'ont pu être observées. Les connexions des métacarpes droits n'ont pu être observées. Les connexions des phalanges de la main droite n'ont pu être observées.

**Membre supérieur gauche :** La face d'apparition de l'humérus gauche n'a pu être observée. La connexion entre la scapula et l'humérus gauches n'a pu être observée. La face d'apparition de l'ulna gauche n'a pu être observée. La face d'apparition du radius gauche n'a pu être observée. La connexion du coude gauche n'a pu être observée. La connexion du poignet gauche n'a pu être observée. Les connexions des os du carpe gauche n'ont pu être observées. Les connexions des métacarpes gauches n'ont pu être observées. Les connexions des phalanges de la main gauche n'ont pu être observées.

**Ceinture pelvienne :** La face d'apparition du coxal droit n'a pu être observée. La face d'apparition du coxal gauche n'a pu être observée. La connexion entre le coxal droit et le sacrum n'a pu être observée. La connexion entre le coxal gauche et le sacrum n'a pu être observée.

**Membre inférieur droit :** Le fémur droit apparaît par sa face antérieure. La connexion entre le coxal et le fémur droits n'a pu être observée. La face d'apparition de la patela droite n'a pu être observée. La connexion entre le fémur et la patela droits n'a pu être observée. Le tibia droit apparaît par sa face antérieure. La face d'apparition de la fibula droite n'a pu être observée. Le fémur et le tibia droits sont en connexion stricte. Le tibia et la fibula droits sont en connexion lâche. Les os de la cheville droite sont déconnectés. Les os du tarse droit sont déconnectés. Les métatarses droits sont déconnectés. Les connexions des phalanges du pied droit n'ont pu être observées. Des éléments du pied droit ont migré en dehors du volume corporel initial.

**Membre inférieur gauche :** Le fémur gauche apparaît par sa face antérieure. La connexion entre le coxal et le fémur gauches n'a pu être observée. La face d'apparition de la patela gauche n'a pu être observée. Le fémur et la patela gauches sont en connexion stricte. Le tibia gauche apparaît par sa face antérieure. La face d'apparition de la fibula gauche n'a pu être observée. Le fémur et le tibia gauches sont en connexion stricte. La connexion entre le tibia et la fibula gauches n'est pas maintenue. Les connexions des os de la cheville gauche n'ont pu être observées. Les connexions des os du tarse gauche n'ont pu être observées. Les connexions des métatarses gauches n'ont pu être observées. Les connexions des phalanges du pied gauche n'ont pu être observées.

Des mouvements en dehors du volume corporel initial sont observés.

**Décomposition du corps en espace vide.**

**position des bras**



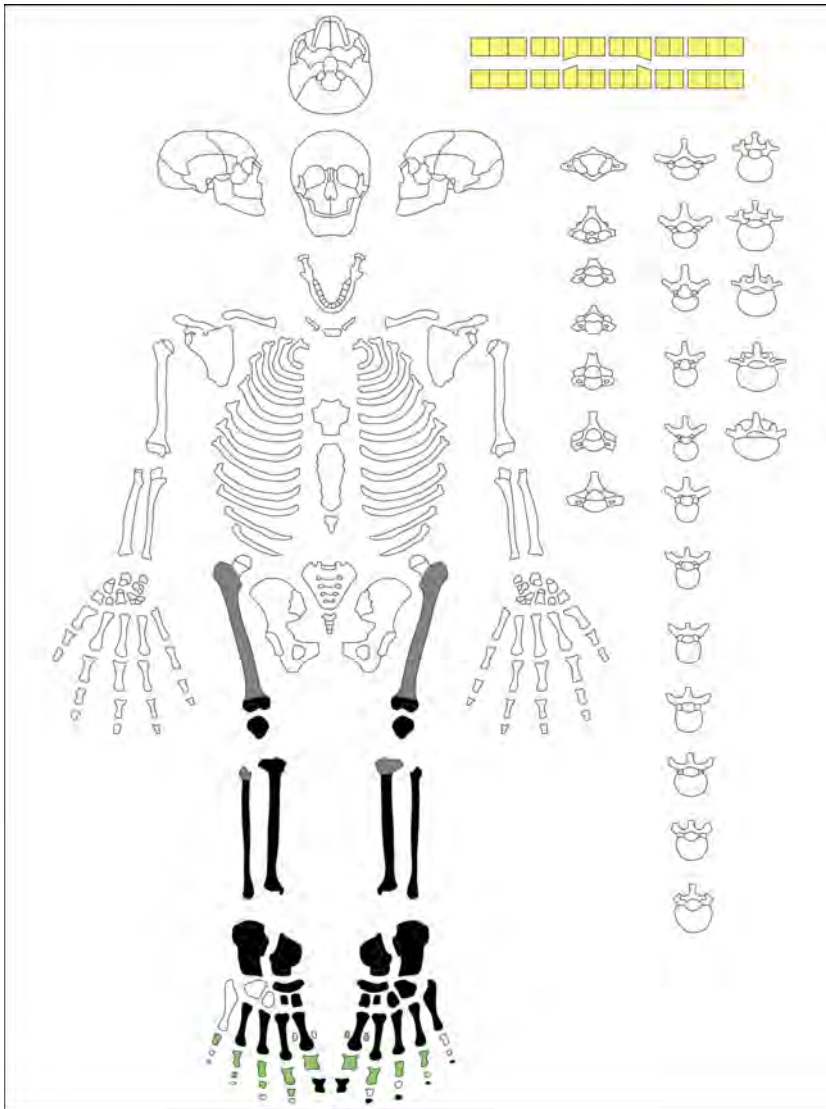


**MARM** Sépulture **81** US **41696** individu **1** Adulte de Sexe indéterminé

**code dents :**

- présente in situ
- présente isolée et identifiée avec certitude
- type identifié localisation indéterminée
- perte *ante mortem*
- perte *post mortem*
- absente (agénésie ?)
- germe présent *in situ*
- germe isolé mais remplacé avec certitude
- non observable

PATHOLOGIES - 1 site(s) atteint(s).



**Probabilité d'appartenance à chaque classe d'âge d'après Coqueugniot et Weaver (2007) et Schmitt (2005)**

0-1	1-4	5-9	10-14	15-19	20-29	30-39	40-49	50-59	60-69	AD Ind.
										1

**La diagnose sexuelle probabiliste : Murail et al. 2005**

	PUM	SPU	DCOX	IIMT	ISMM	SCOX	SS	SA	SIS	VEAC
<b>Droit</b>										
<b>Gauche</b>										
<b>Diagnostic</b>										
			proba D		seuil			Diagnostic final		
			proba G							



MARM S 82 - US 41906 - Individu 1

Inhumation Individuelle primaire



**Bloc crânio-facial :** La face d'apparition du crâne n'a pu être observée. La face d'apparition de la mandibule n'a pu être observée. La connexion entre le crâne et la mandibule n'a pu être observée.

**Vertèbres cervicales :** La connexion entre le crâne et l'atlas n'a pu être observée. La connexion entre l'atlas et l'axis n'a pu être observée. Les connexions entre les cervicales 2 à 7 n'ont pu être observées.

**Vertèbres thoraciques :** Les connexions entre les vertèbres thoraciques n'ont pu être observées.

**Vertèbres lombaires :** Les vertèbres lombaires sont déconnectées entre elles.

**Ceinture scapulaire :** La face d'apparition de la clavicule droite n'a pu être observée. La face d'apparition de la scapula droite n'a pu être observée. La face d'apparition de la clavicule gauche n'a pu être observée. La face d'apparition de la scapula gauche n'a pu être observée.

**Membre supérieur droit :** La face d'apparition de l'humérus droit n'a pu être observée. La connexion entre la scapula et l'humérus droits n'a pu être observée. La face d'apparition de l'ulna droite n'a pu être observée. La face d'apparition du radius droit n'a pu être observée. La connexion du coude droit n'a pu être observée. La connexion du poignet droit n'a pu être observée. Les connexions des os du carpe droit n'ont pu être observées. Les connexions des métacarpes droits n'ont pu être observées. Les connexions des phalanges de la main droite n'ont pu être observées.

**Membre supérieur gauche :** La face d'apparition de l'humérus gauche n'a pu être observée. La connexion entre la scapula et l'humérus gauches n'a pu être observée. La face d'apparition de l'ulna gauche n'a pu être observée. La face d'apparition du radius gauche n'a pu être observée. La connexion du coude gauche n'a pu être observée. La connexion du poignet gauche n'a pu être observée. Les connexions des os du carpe gauche n'ont pu être observées. Les connexions des métacarpes gauches n'ont pu être observées. Les connexions des phalanges de la main gauche n'ont pu être observées.

**Ceinture pelvienne :** La face d'apparition du coxal droit n'a pu être observée. La face d'apparition du coxal gauche n'a pu être observée. La connexion entre le coxal droit et le sacrum n'a pu être observée. La connexion entre le coxal gauche et le sacrum n'a pu être observée.

**Membre inférieur droit :** Le fémur droit apparaît par sa face antérieure. La connexion entre le coxal et le fémur droits n'a pu être observée. La patela droite apparaît par sa face antérieure. Le fémur et la patela droits sont en connexion stricte. Le tibia droit apparaît par sa face antérieure. La fibula droite apparaît par sa face antérieure. Le fémur et le tibia droits sont en connexion stricte. Le tibia et la fibula droits sont en connexion stricte. La cheville est en connexion stricte. Les os du tarse droit sont déconnectés. Les métatarses droits sont déconnectés. Les phalanges du pied droit sont déconnectées. Des éléments du pied droit ont migré en dehors du volume corporel initial.

**Membre inférieur gauche :** La face d'apparition du fémur gauche n'a pu être observée. La connexion entre le coxal et le fémur gauches n'a pu être observée. La face d'apparition de la patela gauche n'a pu être observée. La connexion entre le fémur et la patela gauches n'a pu être observée. Le tibia gauche apparaît par sa face antérieure. La fibula gauche apparaît par sa face antérieure. La connexion entre le fémur et le tibia gauches n'a pu être observée. Le tibia et la fibula gauches sont en connexion stricte. Les os de la cheville gauche sont déconnectés. Les os du tarse gauche sont déconnectés. Les connexions des métatarses gauches n'ont pu être observées. Les phalanges du pied gauche sont déconnectées. Des éléments du pied gauche ont migré en dehors du volume corporel initial.

Des mouvements en dehors du volume corporel initial sont observés.

**Décomposition du corps en espace vide.**

position des bras



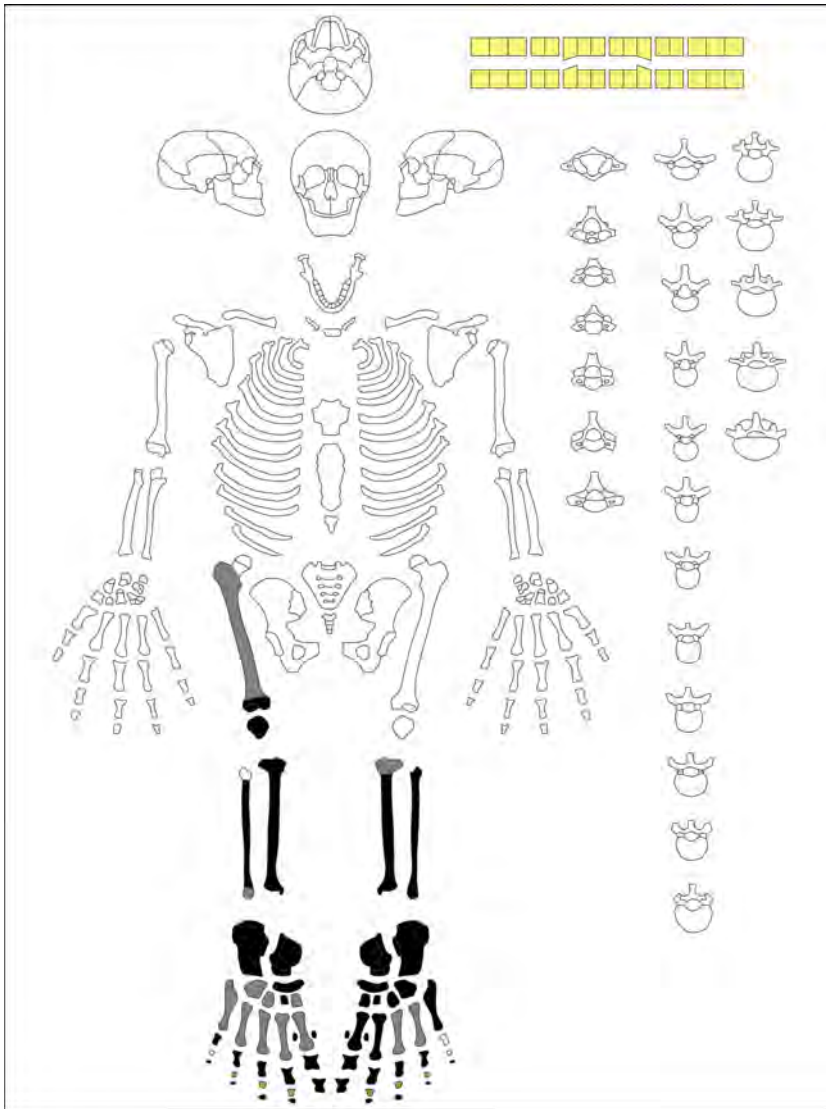


**MARM** Sépulture **82** US **41906** individu **1** Adulte de Sexe indéterminé

**code dents :**

- présente in situ
- présente isolée et identifiée avec certitude
- type identifié localisation indéterminée
- perte *ante mortem*
- perte *post mortem*
- absente (agénésie ?)
- germe présent *in situ*
- germe isolé mais remplacé avec certitude
- non observable

PATHOLOGIES - 2 site(s) atteint(s).



Probabilité d'appartenance à chaque classe d'âge d'après Coqueugniot et Weaver (2007) et Schmitt (2005)										
0-1	1-4	5-9	10-14	15-19	20-29	30-39	40-49	50-59	60-69	AD Ind.
										1

La diagnose sexuelle probabiliste : Murail et al. 2005										
	PUM	SPU	DCOX	IIMT	ISMM	SCOX	SS	SA	SIS	VEAC
<b>Droit</b>										
<b>Gauche</b>										
<b>Diagnostic</b>			proba D		seuil			Diagnostic final		
			proba G							



MARM S 83 - US 41919 - Individu 1

Inhumation Individuelle primaire



**Bloc crânio-facial :** La face d'apparition du crâne n'a pu être observée. La face d'apparition de la mandibule n'a pu être observée. La connexion entre le crâne et la mandibule n'a pu être observée.

**Vertèbres cervicales :** La connexion entre le crâne et l'atlas n'a pu être observée. La connexion entre l'atlas et l'axis n'a pu être observée. Les connexions entre les cervicales 2 à 7 n'ont pu être observées.

**Vertèbres thoraciques :** Les connexions entre les vertèbres thoraciques n'ont pu être observées.

**Vertèbres lombaires :** Les vertèbres lombaires sont en connexion stricte.

**Ceinture scapulaire :** La face d'apparition de la clavicule droite n'a pu être observée. La face d'apparition de la scapula droite n'a pu être observée. La face d'apparition de la clavicule gauche n'a pu être observée. La face d'apparition de la scapula gauche n'a pu être observée.

**Membre supérieur droit :** L'humérus droit apparaît par sa face antérieure. La connexion entre la scapula et l'humérus droits n'a pu être observée. L'ulna droite apparaît par sa face latérale. La face d'apparition du radius droit n'a pu être observée. La connexion des os du coude droit n'est pas maintenue. La connexion des os du poignet droit n'est pas maintenue. Des éléments du membre supérieur droit ont migré en dehors du volume corporel initial. Les os du carpe droit sont déconnectés. Les métacarpes droits sont déconnectés. Les phalanges de la main droite sont déconnectées.

**Membre supérieur gauche :** La face d'apparition de l'humérus gauche n'a pu être observée. La connexion entre la scapula et l'humérus gauches n'a pu être observée. L'ulna gauche apparaît par sa face latérale. Le radius gauche apparaît par sa face postérieure. La connexion du coude gauche n'a pu être observée. La connexion des os du poignet gauche n'est pas maintenue. Les os du carpe gauche sont déconnectés. Les métacarpes gauches sont déconnectés. Les phalanges de la main gauche sont déconnectées.

**Ceinture pelvienne :** Le coxal droit apparaît par sa face antérieure. Le coxal gauche apparaît par sa face antérieure. Le coxal droit est en connexion lâche avec le sacrum. Le coxal gauche est en connexion lâche avec le sacrum.

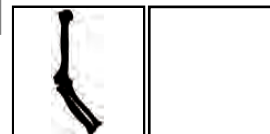
**Membre inférieur droit :** Le fémur droit apparaît par sa face antérieure. Le coxal droit est en connexion stricte avec le fémur droit. La face d'apparition de la patella droite n'a pu être observée. La connexion entre le fémur et la patella droits n'a pu être observée. Le tibia droit apparaît par sa face antérieure. La face d'apparition de la fibula droite n'a pu être observée. Le fémur et le tibia droits sont en connexion lâche. La connexion entre le tibia et la fibula droits n'a pu être observée. La cheville est en connexion stricte. Les os du tarse droit sont déconnectés. Les métatarses droits sont déconnectés. Les phalanges du pied droit sont déconnectées.

**Membre inférieur gauche :** Le fémur gauche apparaît par sa face antérieure. Le coxal gauche est en connexion stricte avec le fémur gauche. La face d'apparition de la patella gauche n'a pu être observée. La connexion entre le fémur et la patella gauches n'est pas maintenue. Le tibia gauche apparaît par sa face antérieure. La face d'apparition de la fibula gauche n'a pu être observée. Le fémur et le tibia gauches sont en connexion lâche. La connexion entre le tibia et la fibula gauches n'a pu être observée. La cheville est en connexion lâche. Les os du tarse gauche sont déconnectés. Les métatarses gauches sont déconnectés. Les phalanges du pied gauche sont déconnectées.

Des mouvements en dehors du volume corporel initial sont observés.

**Décomposition du corps en espace vide.**

**position des bras**



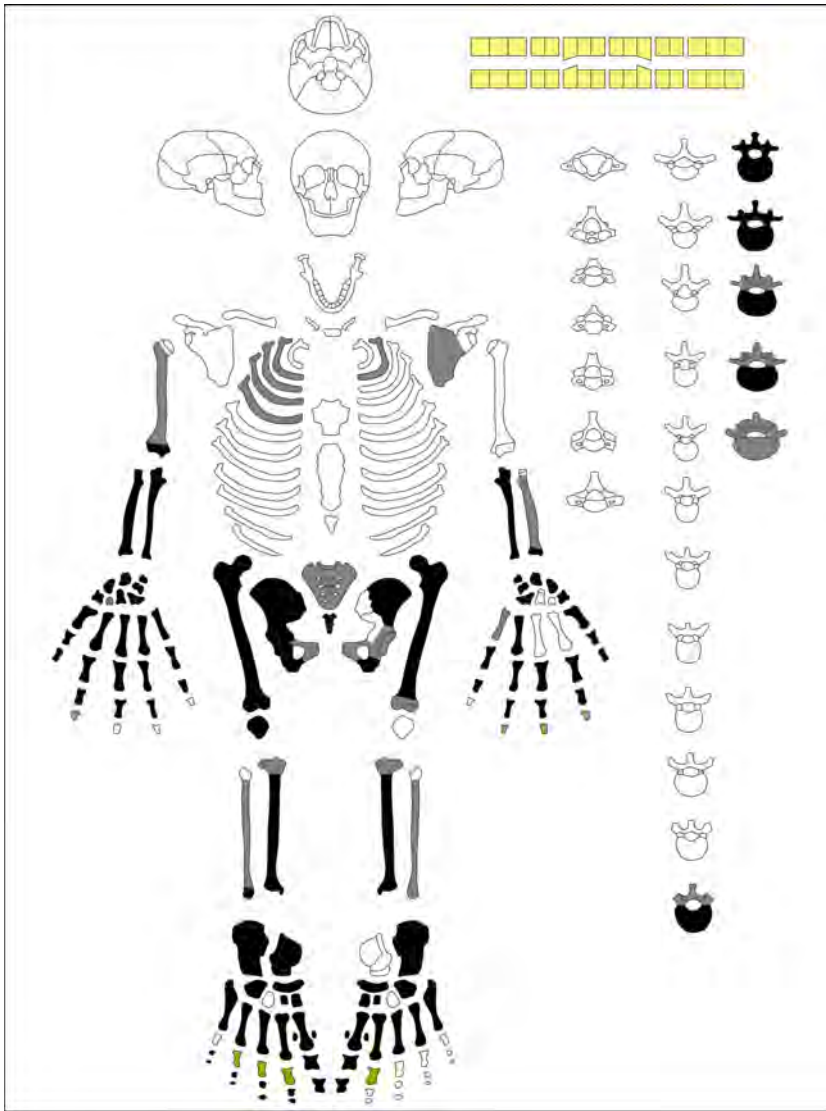


MARM Sépulture 83 US 41919 individu 1 Adulte de Sexe masculin

**code dents :**

- présente in situ
- présente isolée et identifiée avec certitude
- type identifié localisation indéterminée
- perte *ante mortem*
- perte *post mortem*
- absente (agénésie ?)
- germe présent *in situ*
- germe isolé mais remplacé avec certitude
- non observable

PATHOLOGIES - 7 site(s) atteint(s).



Probabilité d'appartenance à chaque classe d'âge d'après Coqueugniot et Weaver (2007) et Schmitt (2005)

0-1	1-4	5-9	10-14	15-19	20-29	30-39	40-49	50-59	60-69	AD Ind.
					0,00	0,06	0,15	0,31	0,48	

**La diagnose sexuelle probabiliste : Murail et al. 2005**

	PUM	SPU	DCOX	IIMT	ISMM	SCOX	SS	SA	SIS	VEAC
<b>Droit</b>										
<b>Gauche</b>			212	44,73	112,42	154	76,29	74,11		
<b>Diagnostic</b>	<b>Masculin</b>		proba D		seuil					
			proba G	0,9825	0,95	<b>Diagnostic final</b>	<b>Masculin</b>			



MARM S 84 - US 41918 - Individu 1

Inhumation Individuelle primaire



**Bloc crânio-facial :** Le crâne apparaît par sa face antérieure. Le crâne a migré en dehors du volume corporel initial. La mandibule apparaît par sa face supérieure. Elle est déconnectée du crâne. La mandibule a migré en dehors du volume corporel initial.

**Vertèbres cervicales :** L'atlas est déconnecté du crâne. L'axis est en connexion stricte avec l'atlas. Les connexions entre les cervicales 2 à 7 n'ont pu être observées.

**Vertèbres thoraciques :** Les vertèbres thoraciques sont déconnectées entre elles.

**Vertèbres lombaires :** Les vertèbres lombaires sont déconnectées entre elles.

**Ceinture scapulaire :** La clavicule droite apparaît par sa face supérieure. La face d'apparition de la scapula droite n'a pu être observée. La clavicule droite a migré en dehors du volume corporel initial. La clavicule gauche apparaît par sa face antérieure. La face d'apparition de la scapula gauche n'a pu être observée.

**Membre supérieur droit :** L'humérus droit apparaît par sa face latérale. L'humérus droit est en connexion stricte avec la scapula droite. L'ulna droite apparaît par sa face latérale. Le radius droit apparaît par sa face postérieure. Le coude droit est en connexion stricte. La connexion des os du poignet droit n'est pas maintenue. Les os du carpe droit sont déconnectés. Les métacarpes droits sont déconnectés. Les phalanges de la main droite sont déconnectées.

**Membre supérieur gauche :** L'humérus gauche apparaît par sa face latérale. La connexion entre la scapula et l'humérus gauches n'a pu être observée. La face d'apparition de l'ulna gauche n'a pu être observée. Le radius gauche apparaît par sa face postérieure. La connexion des os du coude gauche n'est pas maintenue. La connexion des os du poignet gauche n'est pas maintenue. Les os du carpe gauche sont déconnectés. Les métacarpes gauches sont déconnectés. Les phalanges de la main gauche sont déconnectées. Des éléments de la main gauche ont migré en dehors du volume corporel initial.

**Ceinture pelvienne :** Le coxal droit apparaît par sa face antérieure. Le coxal gauche apparaît par sa face antérieure. Le coxal droit est en connexion lâche avec le sacrum. Le coxal gauche est en connexion lâche avec le sacrum.

**Membre inférieur droit :** Le fémur droit apparaît par sa face antéro-médiale. Le coxal et le fémur droits sont déconnectés. La face d'apparition de la patela droite n'a pu être observée. La connexion entre le fémur et la patela droits n'a pu être observée. Le tibia droit apparaît par sa face antéro-médiale. La face d'apparition de la fibula droite n'a pu être observée. Le fémur et le tibia droits sont en connexion stricte. La connexion entre le tibia et la fibula droits n'a pu être observée. La cheville est en connexion lâche. Les os du tarse droit sont en connexion stricte. Les métatarses droits sont en connexion stricte. Les phalanges du pied droit sont déconnectées. Des éléments du pied droit ont migré en dehors du volume corporel initial.

**Membre inférieur gauche :** Le fémur gauche apparaît par sa face antérieure. Le coxal gauche est en connexion stricte avec le fémur gauche. La face d'apparition de la patela gauche n'a pu être observée. La connexion entre le fémur et la patela gauches n'a pu être observée. Le tibia gauche apparaît par sa face antérieure. La face d'apparition de la fibula gauche n'a pu être observée. Le fémur et le tibia gauches sont en connexion stricte. La connexion entre le tibia et la fibula gauches n'a pu être observée. Les os de la cheville gauche sont déconnectés. Les os du tarse gauche sont déconnectés. Les métatarses gauches sont en connexion stricte. Les connexions des phalanges du pied gauche n'ont pu être observées. Des éléments du pied gauche ont migré en dehors du volume corporel initial.

Des mouvements en dehors du volume corporel initial sont observés.

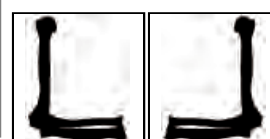
**Présence d'effet(s) de paroi.**

**Présence d'élément(s) de sur-élévation.**

**Présence d'élément(s) de compression du corps.**

**Décomposition du corps en espace vide.**

position des bras



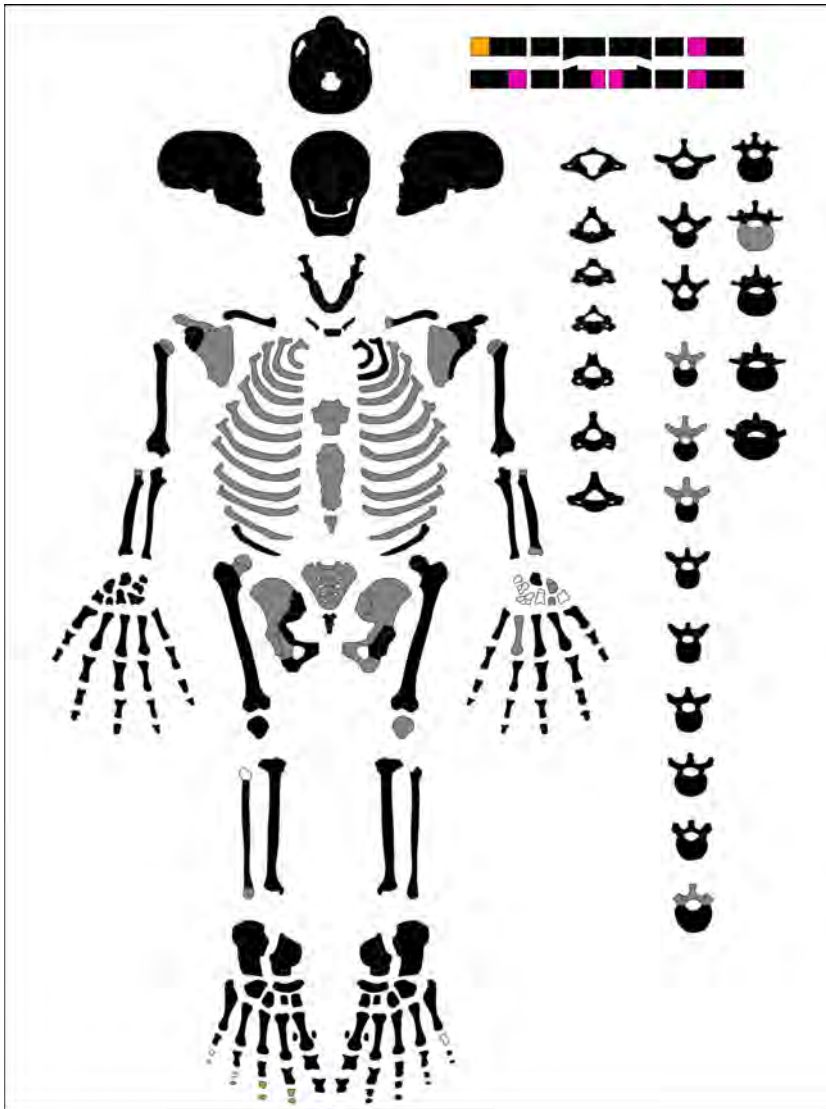


MARM Sépulture 84 US 41918 individu 1 Adulte de Sexe masculin

**code dents :**

- présente in situ
- présente isolée et identifiée avec certitude
- type identifié localisation indéterminée
- perte *ante mortem*
- perte *post mortem*
- absente (agénésie ?)
- germe présent *in situ*
- germe isolé mais remplacé avec certitude
- non observable

PATHOLOGIES - 21 site(s) atteint(s).



**Probabilité d'appartenance à chaque classe d'âge d'après Coqueugniot et Weaver (2007) et Schmitt (2005)**

0-1	1-4	5-9	10-14	15-19	20-29	30-39	40-49	50-59	60-69	AD Ind.
					0,23	0,39	0,22	0,16	0,00	

**La diagnose sexuelle probabiliste : Murail et al. 2005**

	PUM	SPU	DCOX	IIMT	ISMM	SCOX	SS	SA	SIS	VEAC
<b>Droit</b>				34,69			74,38	75,96	40,17	
<b>Gauche</b>										
<b>Diagnostic</b>	Masculin			proba D	0,9616	seuil	0,95	Diagnostic final	Masculin	
				proba G						



MARM S 85 - US 41908 - Individu 1

Inhumation Individuelle primaire



**Bloc crânio-facial :** Le crâne apparaît par sa face supérieure. Le crâne a migré en dehors du volume corporel initial. La mandibule apparaît par sa face supérieure. La connexion entre le crâne et la mandibule n'a pu être observée.

**Vertèbres cervicales :** La connexion entre le crâne et l'atlas n'a pu être observée. La connexion entre l'atlas et l'axis n'a pu être observée. Les connexions entre les cervicales 2 à 7 n'ont pu être observées.

**Vertèbres thoraciques :** Les connexions entre les vertèbres thoraciques n'ont pu être observées.

**Vertèbres lombaires :** Les vertèbres lombaires sont déconnectées entre elles.

**Ceinture scapulaire :** La clavicule droite apparaît par sa face antérieure. La scapula droite apparaît par sa face antérieure. La clavicule droite a migré en dehors du volume corporel initial. La clavicule gauche apparaît par sa face antérieure. La scapula gauche apparaît par sa face latérale. La clavicule gauche a migré en dehors du volume corporel initial.

**Membre supérieur droit :** L'humérus droit apparaît par sa face latérale. La scapula et l'humérus droits sont déconnectés. L'ulna droite apparaît par sa face antéro-latérale. Le radius droit apparaît par sa face postérieure. La connexion des os du coude droit n'est pas maintenue. La connexion des os du poignet droit n'est pas maintenue. Des éléments du membre supérieur droit ont migré en dehors du volume corporel initial. Les os du carpe droit sont déconnectés. Les métacarpes droits sont déconnectés. Les phalanges de la main droite sont déconnectées.

**Membre supérieur gauche :** L'humérus gauche apparaît par sa face antéro-latérale. L'humérus gauche est en connexion stricte avec la scapula gauche. L'ulna gauche apparaît par sa face latérale. Le radius gauche apparaît par sa face médiale. La connexion des os du coude gauche n'est pas maintenue. La connexion des os du poignet gauche n'est pas maintenue. Les os du carpe gauche sont déconnectés. Les métacarpes gauches sont déconnectés. Les phalanges de la main gauche sont déconnectées.

**Ceinture pelvienne :** Le coxal droit apparaît par sa face antéro-médiale. Le coxal gauche apparaît par sa face antéro-médiale. Le coxal droit et le sacrum sont déconnectés. Le coxal gauche et le sacrum sont déconnectés.

**Membre inférieur droit :** Le fémur droit apparaît par sa face antérieure. Le coxal droit est en connexion stricte avec le fémur droit. La face d'apparition de la patella droite n'a pu être observée. La connexion entre le fémur et la patella droits n'a pu être observée. Le tibia droit apparaît par sa face antéro-médiale. La face d'apparition de la fibula droite n'a pu être observée. La connexion entre le fémur et le tibia droits n'est pas maintenue. La connexion entre le tibia et la fibula droits n'a pu être observée. La cheville est en connexion lâche. Les os du tarse droit sont en connexion stricte. Les métatarses droits sont en connexion stricte. Les phalanges du pied droit sont déconnectées. Des éléments du pied droit ont migré en dehors du volume corporel initial.

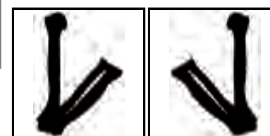
**Membre inférieur gauche :** Le fémur gauche apparaît par sa face antérieure. Le coxal et le fémur gauches sont déconnectés. La face d'apparition de la patella gauche n'a pu être observée. La connexion entre le fémur et la patella gauches n'a pu être observée. Le tibia gauche apparaît par sa face antérieure. La fibula gauche apparaît par sa face antérieure. Le fémur et le tibia gauches sont en connexion stricte. La connexion entre le tibia et la fibula gauches n'a pu être observée. Les os de la cheville gauche sont déconnectés. Les os du tarse gauche sont déconnectés. Les métatarses gauches sont déconnectés. Les phalanges du pied gauche sont déconnectées. Des éléments du pied gauche ont migré en dehors du volume corporel initial.

Des mouvements en dehors du volume corporel initial sont observés.

**Présence d'élément(s) de compression du corps.**

**Décomposition du corps en espace vide.**

position des bras



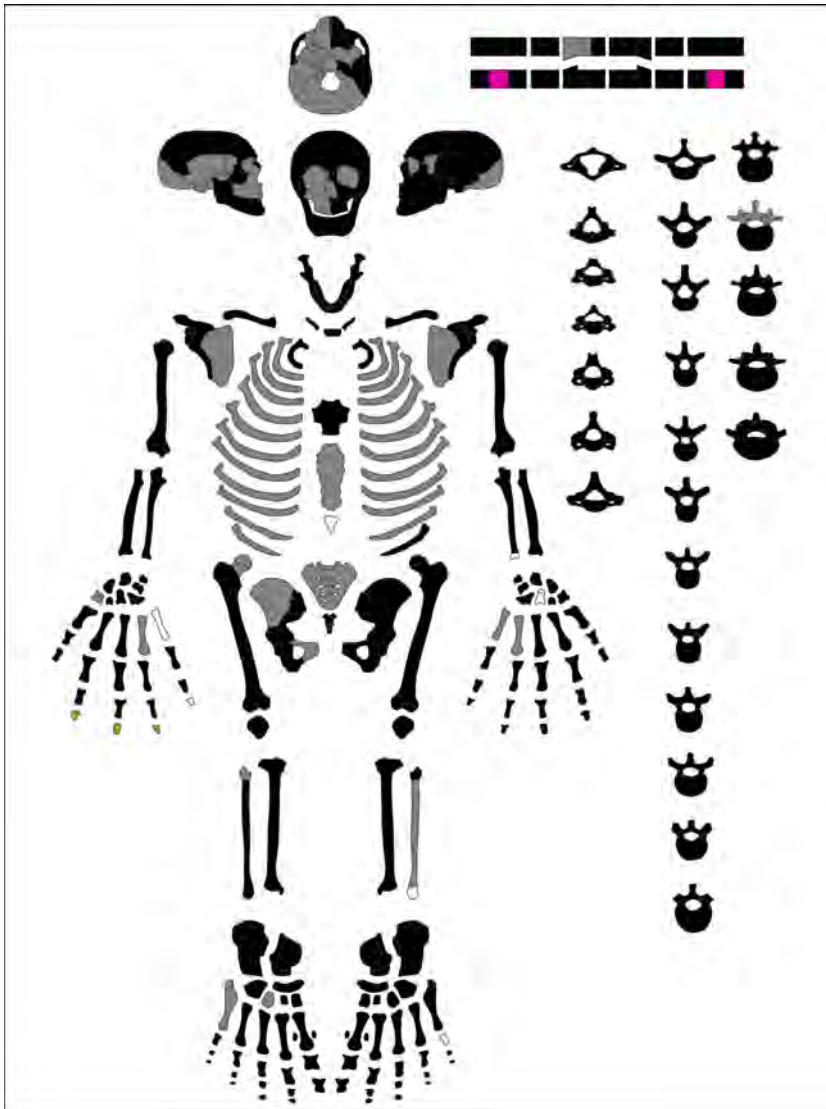


MARM Sépulture 85 US 41908 individu 1 Adulte de Sexe masculin

**code dents :**

- présente in situ
- présente isolée et identifiée avec certitude
- type identifié localisation indéterminée
- perte *ante mortem*
- perte *post mortem*
- absente (agénésie ?)
- germe présent *in situ*
- germe isolé mais remplacé avec certitude
- non observable

PATHOLOGIES - 8 site(s) atteint(s).



Probabilité d'appartenance à chaque classe d'âge d'après Coqueugniot et Weaver (2007) et Schmitt (2005)

0-1	1-4	5-9	10-14	15-19	20-29	30-39	40-49	50-59	60-69	AD Ind.
					0,88	0,09	0,02	0,01	0,00	

La diagnose sexuelle probabiliste : Murail et al. 2005

	PUM	SPU	DCOX	IIMT	ISMM	SCOX	SS	SA	SIS	VEAC
<b>Droit</b>				40,72	123,98		77,59	85,92		
<b>Gauche</b>										
<b>Diagnostic</b>	Masculin			proba D	0,9987	seuil	0,95	Diagnostic final	Masculin	
				proba G						



**MARM S 87 - US 41954 - Individu 1**

Inhumation Individuelle primaire



**Bloc crânio-facial :** La face d'apparition du crâne n'a pu être observée. La face d'apparition de la mandibule n'a pu être observée. La connexion entre le crâne et la mandibule n'a pu être observée.

**Vertèbres cervicales :** La connexion entre le crâne et l'atlas n'a pu être observée. La connexion entre l'atlas et l'axis n'a pu être observée. Les connexions entre les cervicales 2 à 7 n'ont pu être observées.

**Vertèbres thoraciques :** Les connexions entre les vertèbres thoraciques n'ont pu être observées.

**Vertèbres lombaires :** Les connexions entre les vertèbres lombaires n'ont pu être observées.

**Ceinture scapulaire :** La face d'apparition de la clavicule droite n'a pu être observée. La face d'apparition de la scapula droite n'a pu être observée. La face d'apparition de la clavicule gauche n'a pu être observée. La face d'apparition de la scapula gauche n'a pu être observée.

**Membre supérieur droit :** L'humérus droit apparaît par sa face latérale. La connexion entre la scapula et l'humérus droits n'a pu être observée. La face d'apparition de l'ulna droite n'a pu être observée. La face d'apparition du radius droit n'a pu être observée. La connexion du coude droit n'a pu être observée. La connexion du poignet droit n'a pu être observée. Les connexions des os du carpe droit n'ont pu être observées. Les connexions des métacarpes droits n'ont pu être observées. Les connexions des phalanges de la main droite n'ont pu être observées.

**Membre supérieur gauche :** L'humérus gauche apparaît par sa face postérieure. La connexion entre la scapula et l'humérus gauches n'a pu être observée. L'ulna gauche apparaît par sa face latérale. Le radius gauche apparaît par sa face postérieure. La connexion des os du coude gauche n'est pas maintenue. La connexion du poignet gauche n'a pu être observée. Des éléments du membre supérieur gauche ont migré en dehors du volume corporel initial. Les connexions des os du carpe gauche n'ont pu être observées. Les connexions des métacarpes gauches n'ont pu être observées. Les connexions des phalanges de la main gauche n'ont pu être observées.

**Ceinture pelvienne :** La face d'apparition du coxal droit n'a pu être observée. La face d'apparition du coxal gauche n'a pu être observée. La connexion entre le coxal droit et le sacrum n'a pu être observée. La connexion entre le coxal gauche et le sacrum n'a pu être observée.

**Membre inférieur droit :** La face d'apparition du fémur droit n'a pu être observée. La connexion entre le coxal et le fémur droits n'a pu être observée. La face d'apparition de la patela droite n'a pu être observée. La connexion entre le fémur et la patela droits n'a pu être observée. La face d'apparition du tibia droit n'a pu être observée. La face d'apparition de la fibula droite n'a pu être observée. La connexion entre le fémur et le tibia droits n'a pu être observée. La connexion entre le tibia et la fibula droits n'a pu être observée. Les connexions des os de la cheville droite n'ont pu être observées. Les connexions des os du tarse droit n'ont pu être observées. Les connexions des métatarses droits n'ont pu être observées. Les connexions des phalanges du pied droit n'ont pu être observées.

**Membre inférieur gauche :** La face d'apparition du fémur gauche n'a pu être observée. La connexion entre le coxal et le fémur gauches n'a pu être observée. La face d'apparition de la patela gauche n'a pu être observée. La connexion entre le fémur et la patela gauches n'a pu être observée. La face d'apparition du tibia gauche n'a pu être observée. La face d'apparition de la fibula gauche n'a pu être observée. La connexion entre le fémur et le tibia gauches n'a pu être observée. La connexion entre le tibia et la fibula gauches n'a pu être observée. Les connexions des os de la cheville gauche n'ont pu être observées. Les connexions des os du tarse gauche n'ont pu être observées. Les connexions des métatarses gauches n'ont pu être observées. Les connexions des phalanges du pied gauche

Des mouvements en dehors du volume corporel initial sont observés.

**Décomposition du corps en espace vide.**

**position des bras**



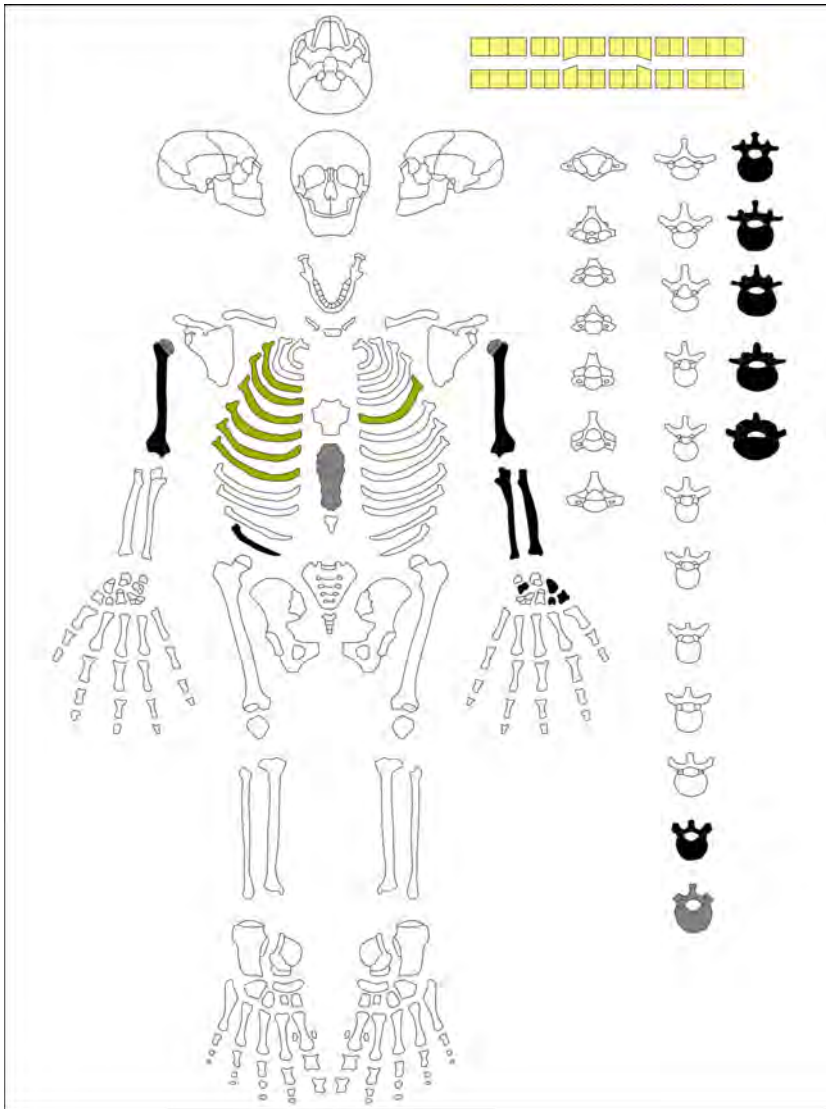


**MARM** Sépulture **87** US **41954** individu **1** Adulte de Sexe indéterminé

**code dents :**

- présente in situ
- présente isolée et identifiée avec certitude
- type identifié localisation indéterminée
- perte *ante mortem*
- perte *post mortem*
- absente (agénésie ?)
- germe présent *in situ*
- germe isolé mais remplacé avec certitude
- non observable

PATHOLOGIES - 1 site(s) atteint(s).



**Probabilité d'appartenance à chaque classe d'âge d'après Coqueugniot et Weaver (2007) et Schmitt (2005)**

0-1	1-4	5-9	10-14	15-19	20-29	30-39	40-49	50-59	60-69	AD Ind.
0	0	0	0	0	0	0	0	0	0	1

**La diagnose sexuelle probabiliste : Murail et al. 2005**

	PUM	SPU	DCOX	IIMT	ISMM	SCOX	SS	SA	SIS	VEAC
<b>Droit</b>	0	0	0	0	0	0	0	0	0	0
<b>Gauche</b>	0	0	0	0	0	0	0	0	0	0
<b>Diagnostic</b>	proba D		0	seuil		proba G		Diagnostic final		



MARM S 89 - US 41999 - Individu 1

Inhumation Individuelle primaire



**Bloc crânio-facial :** La face d'apparition du crâne n'a pu être observée. La face d'apparition de la mandibule n'a pu être observée. La connexion entre le crâne et la mandibule n'a pu être observée.

**Vertèbres cervicales :** La connexion entre le crâne et l'atlas n'a pu être observée. La connexion entre l'atlas et l'axis n'a pu être observée. Les connexions entre les cervicales 2 à 7 n'ont pu être observées.

**Vertèbres thoraciques :** Les connexions entre les vertèbres thoraciques n'ont pu être observées.

**Vertèbres lombaires :** Les connexions entre les vertèbres lombaires n'ont pu être observées.

**Ceinture scapulaire :** La face d'apparition de la clavicule droite n'a pu être observée. La face d'apparition de la scapula droite n'a pu être observée. La face d'apparition de la clavicule gauche n'a pu être observée. La face d'apparition de la scapula gauche n'a pu être observée.

**Membre supérieur droit :** La face d'apparition de l'humérus droit n'a pu être observée. La connexion entre la scapula et l'humérus droits n'a pu être observée. La face d'apparition de l'ulna droite n'a pu être observée. La face d'apparition du radius droit n'a pu être observée. La connexion du coude droit n'a pu être observée. La connexion du poignet droit n'a pu être observée. Les connexions des os du carpe droit n'ont pu être observées. Les connexions des métacarpes droits n'ont pu être observées. Les connexions des phalanges de la main droite n'ont pu être observées.

**Membre supérieur gauche :** La face d'apparition de l'humérus gauche n'a pu être observée. La connexion entre la scapula et l'humérus gauches n'a pu être observée. La face d'apparition de l'ulna gauche n'a pu être observée. La face d'apparition du radius gauche n'a pu être observée. La connexion du coude gauche n'a pu être observée. La connexion du poignet gauche n'a pu être observée. Les connexions des os du carpe gauche n'ont pu être observées. Les connexions des métacarpes gauches n'ont pu être observées. Les connexions des phalanges de la main gauche n'ont pu être observées.

**Ceinture pelvienne :** Le coxal droit apparaît par sa face antérieure. La face d'apparition du coxal gauche n'a pu être observée. La connexion entre le coxal droit et le sacrum n'a pu être observée. La connexion entre le coxal gauche et le sacrum n'a pu être observée.

**Membre inférieur droit :** La face d'apparition du fémur droit n'a pu être observée. La connexion entre le coxal et le fémur droits n'a pu être observée. La face d'apparition de la patella droite n'a pu être observée. La connexion entre le fémur et la patella droits n'a pu être observée. La face d'apparition du tibia droit n'a pu être observée. La face d'apparition de la fibula droite n'a pu être observée. La connexion entre le fémur et le tibia droits n'a pu être observée. La connexion entre le tibia et la fibula droits n'a pu être observée. Les connexions des os de la cheville droite n'ont pu être observées. Les connexions des os du tarse droit n'ont pu être observées. Les connexions des métatarses droits n'ont pu être observées. Les connexions des phalanges du pied droit n'ont pu être observées.

**Membre inférieur gauche :** Le fémur gauche apparaît par sa face antérieure. La connexion entre le coxal et le fémur gauches n'a pu être observée. La face d'apparition de la patella gauche n'a pu être observée. La connexion entre le fémur et la patella gauches n'a pu être observée. La face d'apparition du tibia gauche n'a pu être observée. La face d'apparition de la fibula gauche n'a pu être observée. La connexion entre le fémur et le tibia gauches n'a pu être observée. La connexion entre le tibia et la fibula gauches n'a pu être observée. Les connexions des os de la cheville gauche n'ont pu être observées. Les connexions des os du tarse gauche n'ont pu être observées. Les connexions des métatarses gauches n'ont pu être observées. Les connexions des phalanges du pied gauche n'ont pu être observées.

**L'espace de décomposition du corps est indéterminé.**

**position des bras**



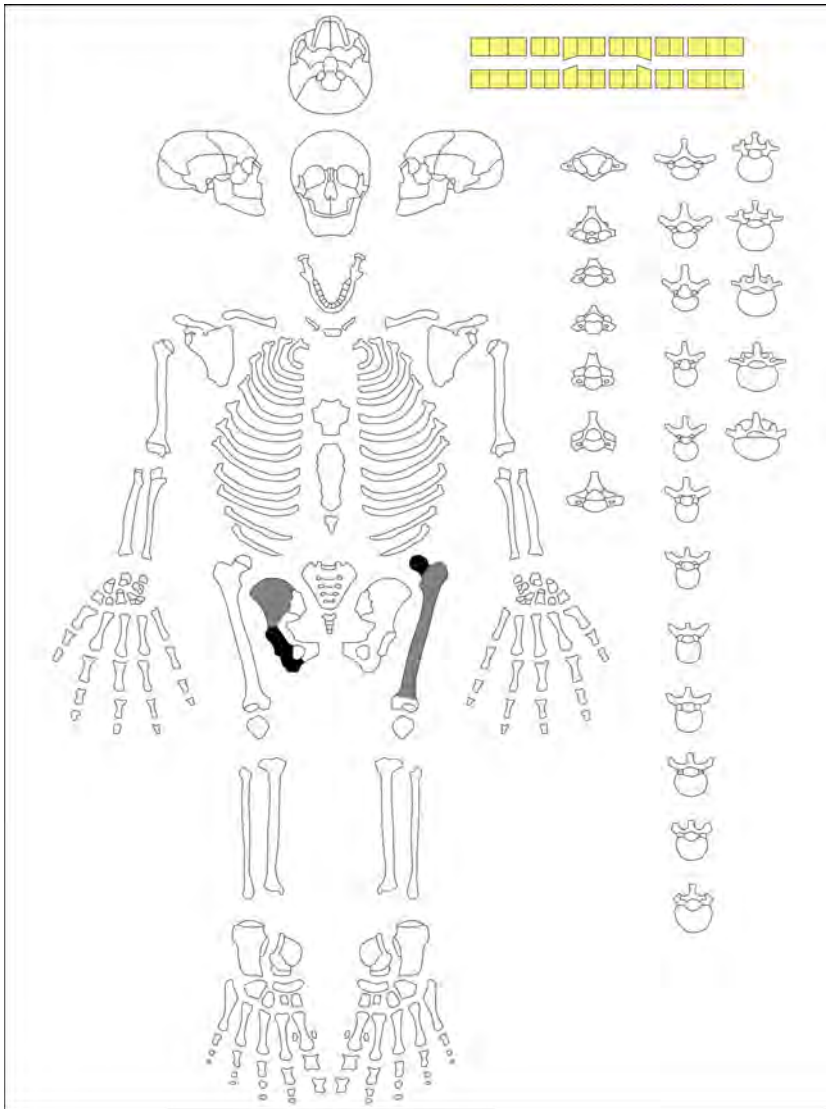


**MARM** Sépulture **89** US **41999** individu **1** Adulte de Sexe indéterminé

**code dents :**

- présente in situ
- présente isolée et identifiée avec certitude
- type identifié localisation indéterminée
- perte *ante mortem*
- perte *post mortem*
- absente (agénésie ?)
- germe présent *in situ*
- germe isolé mais remplacé avec certitude
- non observable

PATHOLOGIES - 1 site(s) atteint(s).



**Probabilité d'appartenance à chaque classe d'âge d'après Coqueugniot et Weaver (2007) et Schmitt (2005)**

0-1	1-4	5-9	10-14	15-19	20-29	30-39	40-49	50-59	60-69	AD Ind.
										1

**La diagnose sexuelle probabiliste : Murail et al. 2005**

	PUM	SPU	DCOX	IIMT	ISMM	SCOX	SS	SA	SIS	VEAC
<b>Droit</b>					111,16		75		37,71	55,75
<b>Gauche</b>										
<b>Diagnostic</b>	<b>Masculin</b>		proba D <b>0,7878</b>		seuil <b>0,95</b>		Diagnostic final <b>Indéterminé</b>			
			proba G							



MARM S 90 - US 42522 - Individu 1

Inhumation Individuelle primaire



**Bloc crânio-facial :** La face d'apparition du crâne n'a pu être observée. La face d'apparition de la mandibule n'a pu être observée. La connexion entre le crâne et la mandibule n'a pu être observée.

**Vertèbres cervicales :** La connexion entre le crâne et l'atlas n'a pu être observée. La connexion entre l'atlas et l'axis n'a pu être observée. Les connexions entre les cervicales 2 à 7 n'ont pu être observées.

**Vertèbres thoraciques :** Les connexions entre les vertèbres thoraciques n'ont pu être observées.

**Vertèbres lombaires :** Les connexions entre les vertèbres lombaires n'ont pu être observées.

**Ceinture scapulaire :** La face d'apparition de la clavicule droite n'a pu être observée. La face d'apparition de la scapula droite n'a pu être observée. La face d'apparition de la clavicule gauche n'a pu être observée. La face d'apparition de la scapula gauche n'a pu être observée.

**Membre supérieur droit :** L'humérus droit apparaît par sa face latérale. La connexion entre la scapula et l'humérus droits n'a pu être observée. L'ulna droite apparaît par sa face latérale. Le radius droit apparaît par sa face médiale. La connexion des os du coude droit n'est pas maintenue. La connexion des os du poignet droit n'est pas maintenue. Les connexions des os du carpe droit n'ont pu être observées. Les métacarpes droits sont en connexion lâche. Les phalanges de la main droite sont déconnectées. Des éléments de la main droite ont migré en dehors du volume corporel initial.

**Membre supérieur gauche :** L'humérus gauche apparaît par sa face latérale. La connexion entre la scapula et l'humérus gauches n'a pu être observée. L'ulna gauche apparaît par sa face latérale. Le radius gauche apparaît par sa face postérieure. La connexion du coude gauche n'a pu être observée. La connexion des os du poignet gauche n'est pas maintenue. Les os du carpe gauche sont déconnectés. Les métacarpes gauches sont déconnectés. Les phalanges de la main gauche sont déconnectées.

**Ceinture pelvienne :** La face d'apparition du coxal droit n'a pu être observée. La face d'apparition du coxal gauche n'a pu être observée. La connexion entre le coxal droit et le sacrum n'a pu être observée. La connexion entre le coxal gauche et le sacrum n'a pu être observée.

**Membre inférieur droit :** La face d'apparition du fémur droit n'a pu être observée. La connexion entre le coxal et le fémur droits n'a pu être observée. La face d'apparition de la patella droite n'a pu être observée. La connexion entre le fémur et la patella droits n'a pu être observée. La face d'apparition du tibia droit n'a pu être observée. La face d'apparition de la fibula droite n'a pu être observée. La connexion entre le fémur et le tibia droits n'a pu être observée. La connexion entre le tibia et la fibula droits n'a pu être observée. Les connexions des os de la cheville droite n'ont pu être observées. Les connexions des os du tarse droit n'ont pu être observées. Les connexions des métatarses droits n'ont pu être observées. Les connexions des phalanges du pied droit n'ont pu être observées.

**Membre inférieur gauche :** La face d'apparition du fémur gauche n'a pu être observée. La connexion entre le coxal et le fémur gauches n'a pu être observée. La face d'apparition de la patella gauche n'a pu être observée. La connexion entre le fémur et la patella gauches n'a pu être observée. La face d'apparition du tibia gauche n'a pu être observée. La face d'apparition de la fibula gauche n'a pu être observée. La connexion entre le fémur et le tibia gauches n'a pu être observée. La connexion entre le tibia et la fibula gauches n'a pu être observée. Les connexions des os de la cheville gauche n'ont pu être observées. Les connexions des os du tarse gauche n'ont pu être observées. Les connexions des métatarses gauches n'ont pu être observées. Les connexions des phalanges du pied gauche n'ont pu être observées.

Des mouvements en dehors du volume corporel initial sont observés.

**Décomposition du corps en espace vide.**

position des bras



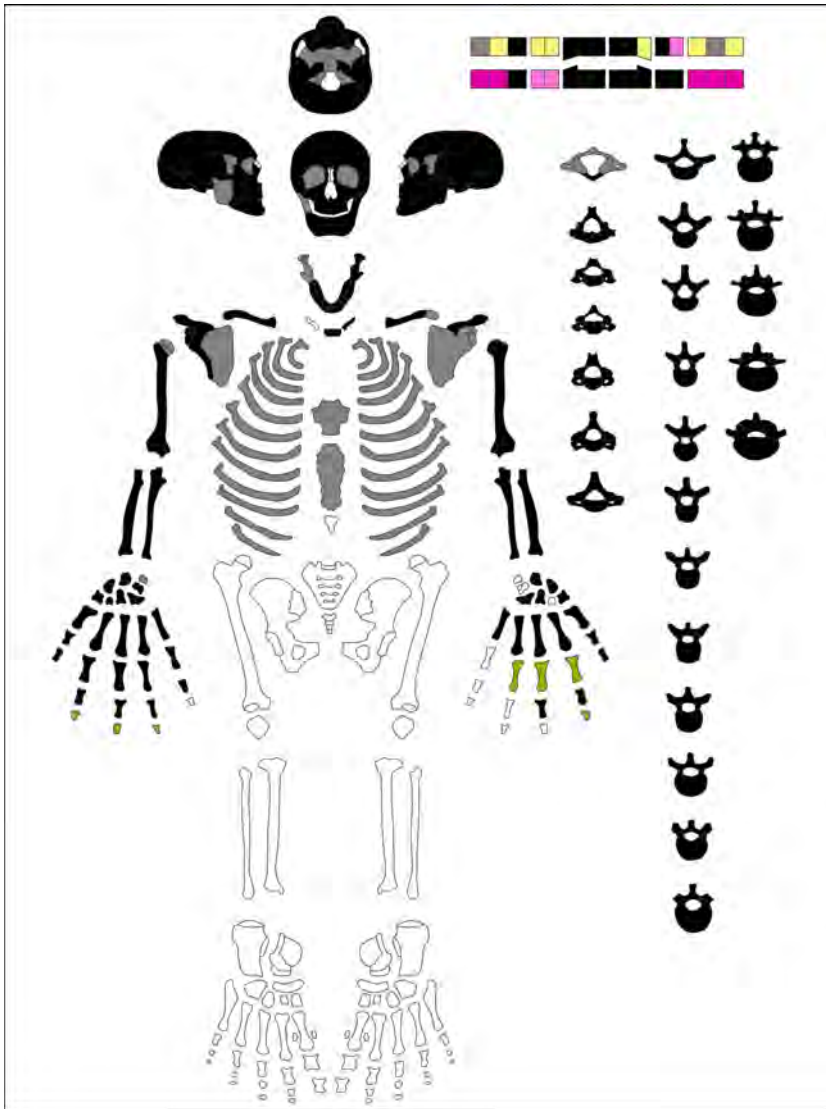


MARM Sépulture 90 US 42522 individu 1 Adulte de Sexe indéterminé

**code dents :**

- présente in situ
- présente isolée et identifiée avec certitude
- type identifié localisation indéterminée
- perte *ante mortem*
- perte *post mortem*
- absente (agénésie ?)
- germe présent *in situ*
- germe isolé mais remplacé avec certitude
- non observable

PATHOLOGIES - 11 site(s) atteint(s).



Probabilité d'appartenance à chaque classe d'âge d'après Coqueugniot et Weaver (2007) et Schmitt (2005)										
0-1	1-4	5-9	10-14	15-19	20-29	30-39	40-49	50-59	60-69	AD Ind.
										1

La diagnose sexuelle probabiliste : Murail et al. 2005										
	PUM	SPU	DCOX	IIMT	ISMM	SCOX	SS	SA	SIS	VEAC
<b>Droit</b>										
<b>Gauche</b>										
<b>Diagnostic</b>			proba D		seuil			Diagnostic final		
			proba G							



**MARM S 91 - US 42531 - Individu 1**

Inhumation Individuelle primaire



**Bloc crânio-facial :** La face d'apparition du crâne n'a pu être observée. La face d'apparition de la mandibule n'a pu être observée. La connexion entre le crâne et la mandibule n'a pu être observée.

**Vertèbres cervicales :** La connexion entre le crâne et l'atlas n'a pu être observée. La connexion entre l'atlas et l'axis n'a pu être observée. Les connexions entre les cervicales 2 à 7 n'ont pu être observées.

**Vertèbres thoraciques :** Les connexions entre les vertèbres thoraciques n'ont pu être observées.

**Vertèbres lombaires :** Les connexions entre les vertèbres lombaires n'ont pu être observées.

**Ceinture scapulaire :** La face d'apparition de la clavicule droite n'a pu être observée. La face d'apparition de la scapula droite n'a pu être observée. La face d'apparition de la clavicule gauche n'a pu être observée. La face d'apparition de la scapula gauche n'a pu être observée.

**Membre supérieur droit :** La face d'apparition de l'humérus droit n'a pu être observée. La connexion entre la scapula et l'humérus droits n'a pu être observée. La face d'apparition de l'ulna droite n'a pu être observée. La face d'apparition du radius droit n'a pu être observée. La connexion du coude droit n'a pu être observée. La connexion du poignet droit n'a pu être observée. Les connexions des os du carpe droit n'ont pu être observées. Les connexions des métacarpes droits n'ont pu être observées. Les connexions des phalanges de la main droite n'ont pu être observées.

**Membre supérieur gauche :** La face d'apparition de l'humérus gauche n'a pu être observée. La connexion entre la scapula et l'humérus gauches n'a pu être observée. La face d'apparition de l'ulna gauche n'a pu être observée. La face d'apparition du radius gauche n'a pu être observée. La connexion du coude gauche n'a pu être observée. La connexion du poignet gauche n'a pu être observée. Les connexions des os du carpe gauche n'ont pu être observées. Les connexions des métacarpes gauches n'ont pu être observées. Les connexions des phalanges de la main gauche n'ont pu être observées.

**Ceinture pelvienne :** La face d'apparition du coxal droit n'a pu être observée. La face d'apparition du coxal gauche n'a pu être observée. La connexion entre le coxal droit et le sacrum n'a pu être observée. La connexion entre le coxal gauche et le sacrum n'a pu être observée.

**Membre inférieur droit :** La face d'apparition du fémur droit n'a pu être observée. La connexion entre le coxal et le fémur droits n'a pu être observée. La face d'apparition de la patela droite n'a pu être observée. La connexion entre le fémur et la patela droits n'a pu être observée. Le tibia droit apparaît par sa face antérieure. La fibula droite apparaît par sa face antérieure. La connexion entre le fémur et le tibia droits n'a pu être observée. La connexion entre le tibia et la fibula droits n'a pu être observée. Les os de la cheville droite sont déconnectés. Les os du tarse droit sont déconnectés. Les métatarses droits sont en connexion lâche. Les phalanges du pied droit sont déconnectées. Des éléments du pied droit ont migré en dehors du volume corporel initial.

**Membre inférieur gauche :** La face d'apparition du fémur gauche n'a pu être observée. La connexion entre le coxal et le fémur gauches n'a pu être observée. La face d'apparition de la patela gauche n'a pu être observée. La connexion entre le fémur et la patela gauches n'a pu être observée. Le tibia gauche apparaît par sa face antérieure. La fibula gauche apparaît par sa face antérieure. La connexion entre le fémur et le tibia gauches n'a pu être observée. La connexion entre le tibia et la fibula gauches n'a pu être observée. Les os de la cheville gauche sont déconnectés. Les os du tarse gauche sont déconnectés. Les métatarses gauches sont déconnectés. Les phalanges du pied gauche sont déconnectées. Des éléments du pied gauche ont migré en dehors du volume corporel initial.

Des mouvements en dehors du volume corporel initial sont observés.

**Décomposition du corps en espace vide.**

**position des bras**



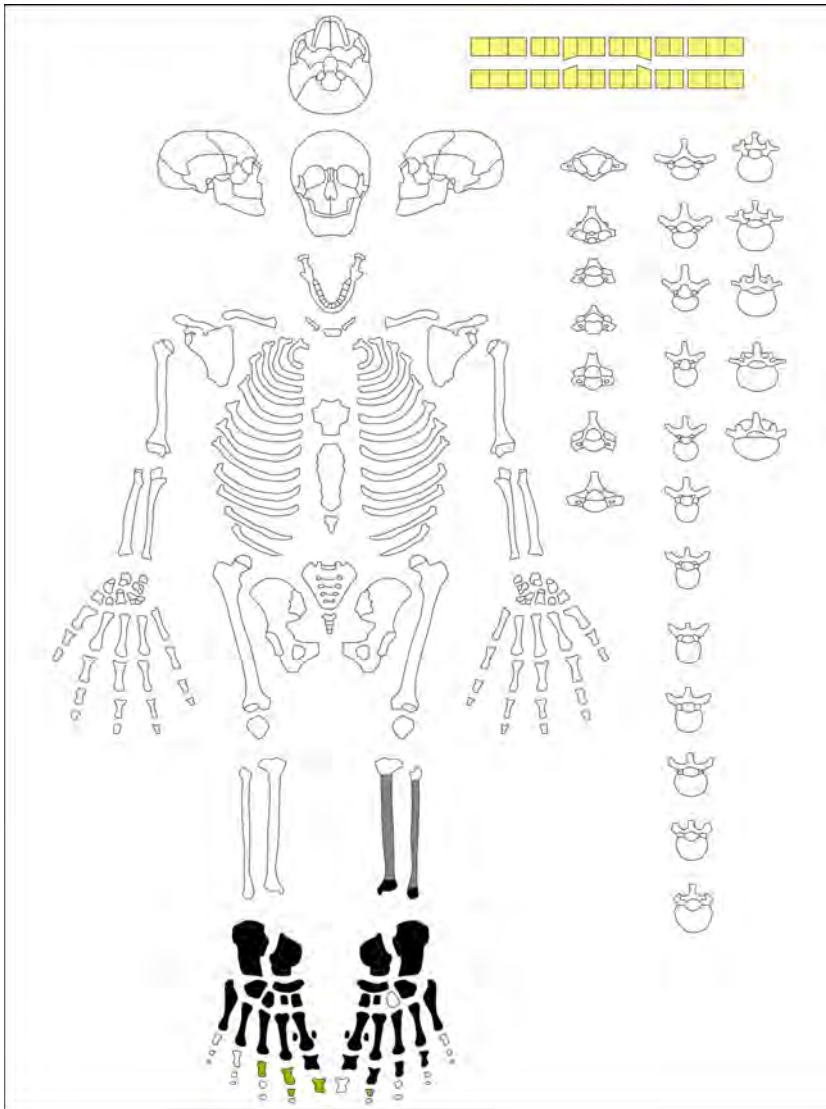


**MARM** Sépulture **91** US **42531** individu **1** Adulte de Sexe indéterminé

**code dents :**

- présente in situ
- présente isolée et identifiée avec certitude
- type identifié localisation indéterminée
- perte *ante mortem*
- perte *post mortem*
- absente (agénésie ?)
- germe présent *in situ*
- germe isolé mais remplacé avec certitude
- non observable

PATHOLOGIES - 5 site(s) atteint(s).



**Probabilité d'appartenance à chaque classe d'âge d'après Coqueugniot et Weaver (2007) et Schmitt (2005)**

0-1	1-4	5-9	10-14	15-19	20-29	30-39	40-49	50-59	60-69	AD Ind.
										1

**La diagnose sexuelle probabiliste : Murail et al. 2005**

	<b>PUM</b>	<b>SPU</b>	<b>DCOX</b>	<b>IIMT</b>	<b>ISMM</b>	<b>SCOX</b>	<b>SS</b>	<b>SA</b>	<b>SIS</b>	<b>VEAC</b>
<b>Droit</b>										
	<b>PUM</b>	<b>SPU</b>	<b>DCOX</b>	<b>IIMT</b>	<b>ISMM</b>	<b>SCOX</b>	<b>SS</b>	<b>SA</b>	<b>SIS</b>	<b>VEAC</b>
<b>Gauche</b>										
<b>Diagnostic</b>		<b>proba D</b>		<b>seuil</b>		<b>Diagnostic final</b>				
		<b>proba G</b>								



MARM S 92 - US 42583 - Individu 1

Inhumation Individuelle primaire



**Bloc crânio-facial :** Le crâne apparaît par sa face antéro-latérale droite. La mandibule apparaît par sa face antéro-supérieure. Elle est en connexion lâche avec le crâne.

**Vertèbres cervicales :** La connexion entre le crâne et l'atlas n'a pu être observée. La connexion entre l'atlas et l'axis n'a pu être observée. Les cervicales 2 à 7 sont déconnectés.

**Vertèbres thoraciques :** Les vertèbres thoraciques sont déconnectées entre elles.

**Vertèbres lombaires :** Les vertèbres lombaires sont déconnectées entre elles.

**Ceinture scapulaire :** La clavicule droite apparaît par sa face antérieure. La scapula droite apparaît par sa face antéro-latérale. La clavicule gauche apparaît par sa face antérieure. La scapula gauche apparaît par sa face antérieure.

**Membre supérieur droit :** L'humérus droit apparaît par sa face latérale. L'humérus droit est en connexion stricte avec la scapula droite. L'ulna droite apparaît par sa face latérale. Le radius droit apparaît par sa face postérieure. La connexion des os du coude droit n'est pas maintenue. La connexion des os du poignet droit n'est pas maintenue. Les os du carpe droit sont déconnectés. Les métacarpes droits sont déconnectés. Les phalanges de la main droite sont déconnectées.

**Membre supérieur gauche :** L'humérus gauche apparaît par sa face antérieure. L'humérus gauche est en connexion stricte avec la scapula gauche. L'ulna gauche apparaît par sa face antérieure. Le radius gauche apparaît par sa face antérieure. La connexion du coude gauche n'a pu être observée. La connexion des os du poignet gauche n'est pas maintenue. Les os du carpe gauche sont déconnectés. Les métacarpes gauches sont déconnectés. Les phalanges de la main gauche sont déconnectées. Des éléments de la main gauche ont migré en dehors du volume corporel initial.

**Ceinture pelvienne :** Le coxal droit apparaît par sa face antérieure. Le coxal gauche apparaît par sa face antérieure. Le coxal droit est en connexion lâche avec le sacrum. Le coxal gauche est en connexion stricte avec le sacrum.

**Membre inférieur droit :** Le fémur droit apparaît par sa face antérieure. Le coxal droit est en connexion stricte avec le fémur droit. La face d'apparition de la patella droite n'a pu être observée. La connexion entre le fémur et la patella droits n'a pu être observée. Le tibia droit apparaît par sa face antérieure. La face d'apparition de la fibula droite n'a pu être observée. Le fémur et le tibia droits sont en connexion stricte. La connexion entre le tibia et la fibula droits n'a pu être observée. Les os de la cheville droite sont déconnectés. Les os du tarse droit sont déconnectés. Les métatarses droits sont déconnectés. Les phalanges du pied droit ont migré en dehors du volume corporel initial.

**Membre inférieur gauche :** Le fémur gauche apparaît par sa face antérieure. La connexion entre le coxal et le fémur gauches n'a pu être observée. La face d'apparition de la patella gauche n'a pu être observée. La connexion entre le fémur et la patella gauches n'est pas maintenue. Le tibia gauche apparaît par sa face antérieure. La face d'apparition de la fibula gauche n'a pu être observée. Le fémur et le tibia gauches sont en connexion stricte. La connexion entre le tibia et la fibula gauches n'est pas maintenue. Les os de la cheville gauche sont déconnectés. Les os du tarse gauche sont déconnectés. Les métatarses gauches sont déconnectés. Les phalanges du pied gauche ont migré en dehors du volume corporel initial.

Des mouvements en dehors du volume corporel initial sont observés.

**Présence d'effet(s) de paroi.**

**Présence d'élément(s) de compression du corps.**

**Décomposition du corps en espace vide.**

**position des bras**



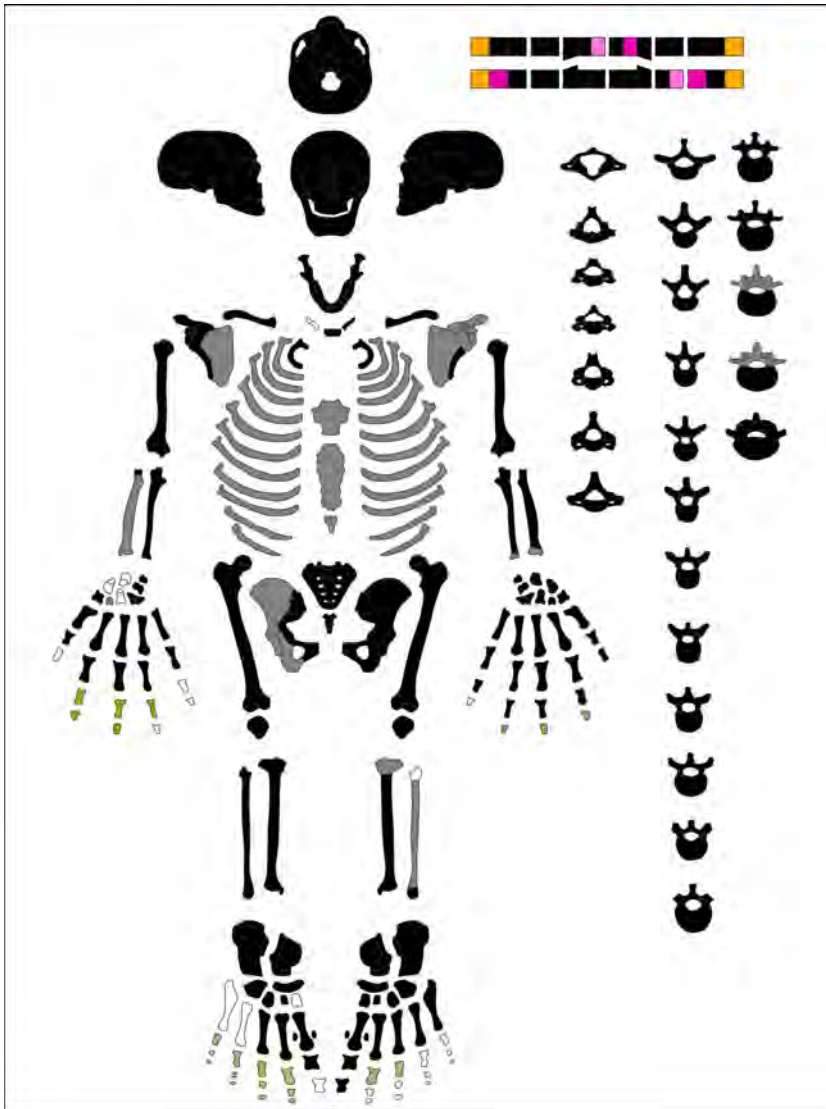


MARM Sépulture 92 US 42583 individu 1 Adulte de Sexe masculin

**code dents :**

- présente in situ
- présente isolée et identifiée avec certitude
- type identifié localisation indéterminée
- perte *ante mortem*
- perte *post mortem*
- absente (agénésie ?)
- germe présent *in situ*
- germe isolé mais remplacé avec certitude
- non observable

PATHOLOGIES - 16 site(s) atteint(s).



**Probabilité d'appartenance à chaque classe d'âge d'après Coqueugniot et Weaver (2007) et Schmitt (2005)**

0-1	1-4	5-9	10-14	15-19	20-29	30-39	40-49	50-59	60-69	AD Ind.
					0,00	0,06	0,15	0,31	0,48	

**La diagnose sexuelle probabiliste : Murail et al. 2005**

	PUM	SPU	DCOX	IIMT	ISMM	SCOX	SS	SA	SIS	VEAC
<b>Droit</b>										
<b>Gauche</b>	70,55	31,48	228	43,2						
<b>Diagnostic</b>	Masculin		proba D		seuil	0,95	Diagnostic final		Masculin	
			proba G	1						



MARM S 93 - US 42629 - Individu 1

Inhumation Individuelle primaire



**Bloc crânio-facial :** Le crâne apparaît par sa face antéro-supérieure. La mandibule apparaît par sa face antéro-supérieure. Elle est en connexion stricte avec le crâne.

**Vertèbres cervicales :** La connexion entre le crâne et l'atlas n'a pu être observée. La connexion entre l'atlas et l'axis n'a pu être observée. Les connexions entre les cervicales 2 à 7 n'ont pu être observées.

**Vertèbres thoraciques :** Les connexions entre les vertèbres thoraciques n'ont pu être observées.

**Vertèbres lombaires :** Les connexions entre les vertèbres lombaires n'ont pu être observées.

**Ceinture scapulaire :** La clavicule droite apparaît par sa face inférieure. La scapula droite apparaît par sa face antérieure. La clavicule droite a migré en dehors du volume corporel initial. La clavicule gauche apparaît par sa face inférieure. La scapula gauche apparaît par sa face antérieure. La clavicule gauche a migré en dehors du volume corporel initial.

**Membre supérieur droit :** L'humérus droit apparaît par sa face antéro-latérale. L'humérus droit est en connexion lâche avec la scapula droite. La face d'apparition de l'ulna droite n'a pu être observée. La face d'apparition du radius droit n'a pu être observée. La connexion du coude droit n'a pu être observée. La connexion des os du poignet droit n'est pas maintenue. Les os du carpe droit sont déconnectés. Les métacarpes droits sont déconnectés. Les phalanges de la main droite sont déconnectées.

**Membre supérieur gauche :** L'humérus gauche apparaît par sa face antéro-latérale. L'humérus gauche est en connexion stricte avec la scapula gauche. La face d'apparition de l'ulna gauche n'a pu être observée. La face d'apparition du radius gauche n'a pu être observée. La connexion du coude gauche n'a pu être observée. La connexion du poignet gauche n'a pu être observée. Les connexions des os du carpe gauche n'ont pu être observées. Les connexions des métacarpes gauches n'ont pu être observées. Les connexions des phalanges de la main gauche n'ont pu être observées.

**Ceinture pelvienne :** La face d'apparition du coxal droit n'a pu être observée. La face d'apparition du coxal gauche n'a pu être observée. La connexion entre le coxal droit et le sacrum n'a pu être observée. La connexion entre le coxal gauche et le sacrum n'a pu être observée.

**Membre inférieur droit :** La face d'apparition du fémur droit n'a pu être observée. La connexion entre le coxal et le fémur droits n'a pu être observée. La face d'apparition de la patella droite n'a pu être observée. La connexion entre le fémur et la patella droits n'a pu être observée. La face d'apparition du tibia droit n'a pu être observée. La face d'apparition de la fibula droite n'a pu être observée. La connexion entre le fémur et le tibia droits n'a pu être observée. La connexion entre le tibia et la fibula droits n'a pu être observée. Les connexions des os de la cheville droite n'ont pu être observées. Les connexions des os du tarse droit n'ont pu être observées. Les connexions des métatarses droits n'ont pu être observées. Les connexions des phalanges du pied droit n'ont pu être observées.

**Membre inférieur gauche :** La face d'apparition du fémur gauche n'a pu être observée. La connexion entre le coxal et le fémur gauches n'a pu être observée. La face d'apparition de la patella gauche n'a pu être observée. La connexion entre le fémur et la patella gauches n'a pu être observée. La face d'apparition du tibia gauche n'a pu être observée. La face d'apparition de la fibula gauche n'a pu être observée. La connexion entre le fémur et le tibia gauches n'a pu être observée. La connexion entre le tibia et la fibula gauches n'a pu être observée. Les connexions des os de la cheville gauche n'ont pu être observées. Les connexions des os du tarse gauche n'ont pu être observées. Les connexions des métatarses gauches n'ont pu être observées. Les connexions des phalanges du pied gauche n'ont pu être observées.

Des mouvements en dehors du volume corporel initial sont observés.

**Présence d'élément(s) de compression du corps.**

**Décomposition du corps en espace vide.**

**position des bras**



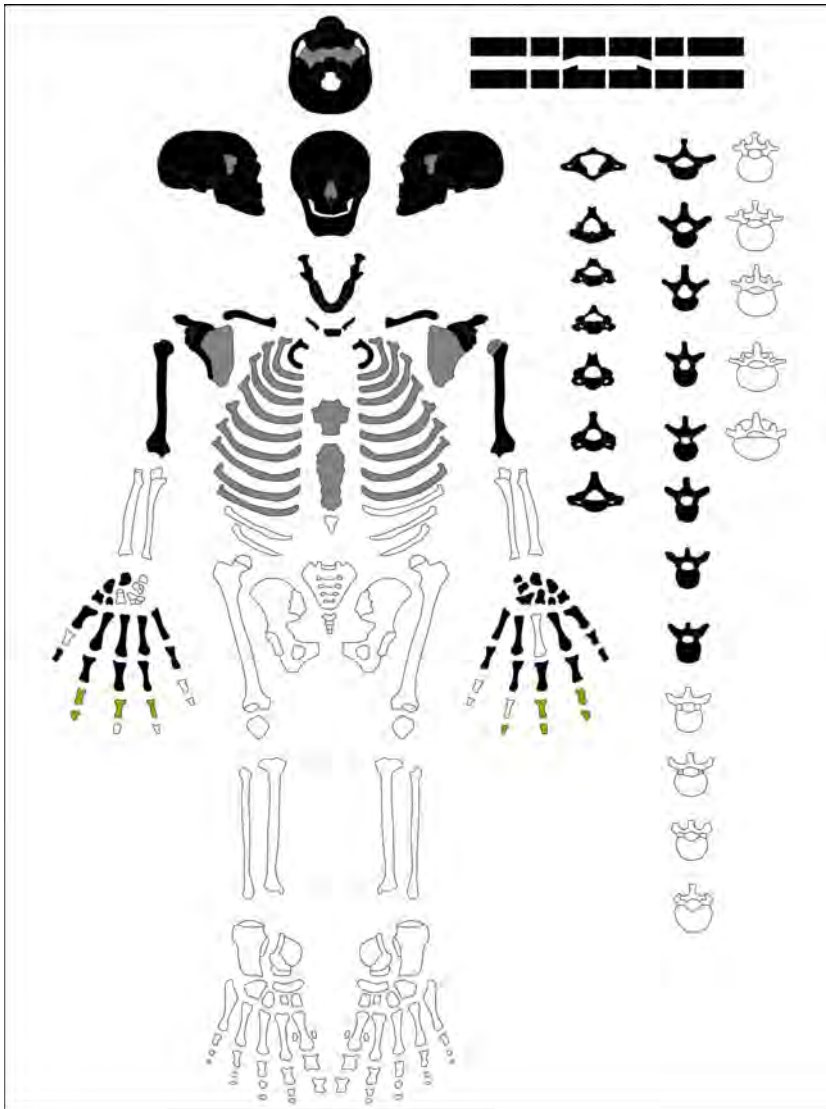


MARM Sépulture 93 US 42629 individu 1 Adulte de Sexe indéterminé

**code dents :**

- présente in situ
- présente isolée et identifiée avec certitude
- type identifié localisation indéterminée
- perte *ante mortem*
- perte *post mortem*
- absente (agénésie ?)
- germe présent *in situ*
- germe isolé mais remplacé avec certitude
- non observable

PATHOLOGIES - 4 site(s) atteint(s).



**Probabilité d'appartenance à chaque classe d'âge d'après Coqueugniot et Weaver (2007) et Schmitt (2005)**

0-1	1-4	5-9	10-14	15-19	20-29	30-39	40-49	50-59	60-69	AD Ind.
										1

**La diagnose sexuelle probabiliste : Murail et al. 2005**

	PUM	SPU	DCOX	IIMT	ISMM	SCOX	SS	SA	SIS	VEAC
<b>Droit</b>										
<b>Gauche</b>										
<b>Diagnostic</b>			proba D		seuil			Diagnostic final		
			proba G							



MARM S 95 - US 42626 - Individu 1

Inhumation



**Bloc crânio-facial :** La face d'apparition du crâne n'a pu être observée. La face d'apparition de la mandibule n'a pu être observée. La connexion entre le crâne et la mandibule n'a pu être observée.

**Vertèbres cervicales :** La connexion entre le crâne et l'atlas n'a pu être observée. La connexion entre l'atlas et l'axis n'a pu être observée. Les connexions entre les cervicales 2 à 7 n'ont pu être observées.

**Vertèbres thoraciques :** Les connexions entre les vertèbres thoraciques n'ont pu être observées.

**Vertèbres lombaires :** Les connexions entre les vertèbres lombaires n'ont pu être observées.

**Ceinture scapulaire :** La face d'apparition de la clavicule droite n'a pu être observée. La face d'apparition de la scapula droite n'a pu être observée. La face d'apparition de la clavicule gauche n'a pu être observée. La face d'apparition de la scapula gauche n'a pu être observée.

**Membre supérieur droit :** La face d'apparition de l'humérus droit n'a pu être observée. La connexion entre la scapula et l'humérus droits n'a pu être observée. La face d'apparition de l'ulna droite n'a pu être observée. La face d'apparition du radius droit n'a pu être observée. La connexion du coude droit n'a pu être observée. La connexion du poignet droit n'a pu être observée. Les connexions des os du carpe droit n'ont pu être observées. Les connexions des métacarpes droits n'ont pu être observées. Les connexions des phalanges de la main droite n'ont pu être observées.

**Membre supérieur gauche :** La face d'apparition de l'humérus gauche n'a pu être observée. La connexion entre la scapula et l'humérus gauches n'a pu être observée. La face d'apparition de l'ulna gauche n'a pu être observée. La face d'apparition du radius gauche n'a pu être observée. La connexion du coude gauche n'a pu être observée. La connexion du poignet gauche n'a pu être observée. Les connexions des os du carpe gauche n'ont pu être observées. Les connexions des métacarpes gauches n'ont pu être observées. Les connexions des phalanges de la main gauche n'ont pu être observées.

**Ceinture pelvienne :** La face d'apparition du coxal droit n'a pu être observée. La face d'apparition du coxal gauche n'a pu être observée. La connexion entre le coxal droit et le sacrum n'a pu être observée. La connexion entre le coxal gauche et le sacrum n'a pu être observée.

**Membre inférieur droit :** La face d'apparition du fémur droit n'a pu être observée. La connexion entre le coxal et le fémur droits n'a pu être observée. La face d'apparition de la patella droite n'a pu être observée. La connexion entre le fémur et la patella droits n'a pu être observée. Le tibia droit apparaît par sa face antérieure. La fibula droite apparaît par sa face antérieure. La connexion entre le fémur et le tibia droits n'a pu être observée. Le tibia et la fibula droits sont en connexion stricte. La cheville est en connexion stricte. Le os du tarse droit sont en connexion stricte. Les connexions des métatarses droits n'ont pu être observées. Les phalanges du pied droit sont déconnectées.

**Membre inférieur gauche :** La face d'apparition du fémur gauche n'a pu être observée. La connexion entre le coxal et le fémur gauches n'a pu être observée. La face d'apparition de la patella gauche n'a pu être observée. La connexion entre le fémur et la patella gauches n'a pu être observée. Le tibia gauche apparaît par sa face antérieure. La fibula gauche apparaît par sa face antérieure. La connexion entre le fémur et le tibia gauches n'a pu être observée. Le tibia et la fibula gauches sont en connexion stricte. La cheville est en connexion stricte. Le os du tarse gauche sont en connexion lâche. Les métatarses gauches sont en connexion lâche. Les phalanges du pied gauche sont déconnectées.

**L'espace de décomposition du corps est indéterminé.**

à cause d'incohérences entre les différents documents à notre disposition.

position des bras



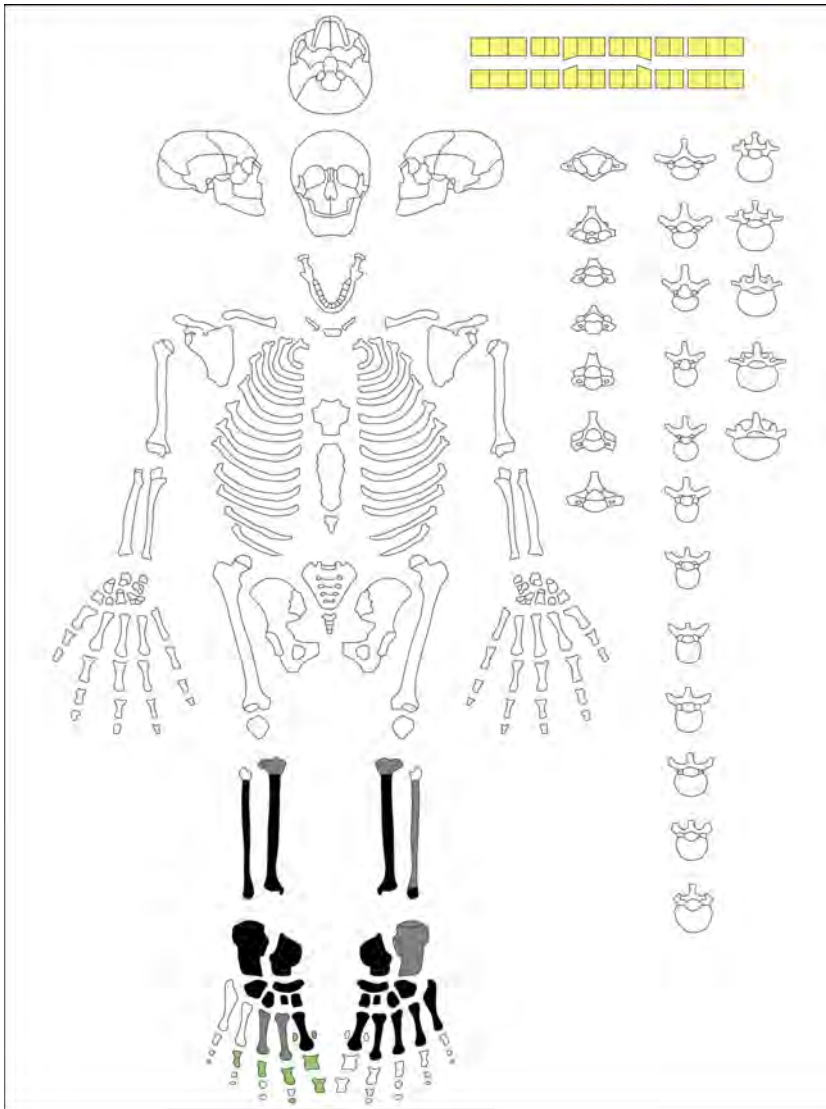


**MARM** Sépulture **95** US **42626** individu **1** Adulte de Sexe indéterminé

**code dents :**

- présente in situ
- présente isolée et identifiée avec certitude
- type identifié localisation indéterminée
- perte *ante mortem*
- perte *post mortem*
- absente (agénésie ?)
- germe présent *in situ*
- germe isolé mais remplacé avec certitude
- non observable

PATHOLOGIES - 0 site(s) atteint(s).



**Probabilité d'appartenance à chaque classe d'âge d'après Coqueugniot et Weaver (2007) et Schmitt (2005)**

0-1	1-4	5-9	10-14	15-19	20-29	30-39	40-49	50-59	60-69	AD Ind.
										1

**La diagnose sexuelle probabiliste : Murail et al. 2005**

	<b>PUM</b>	<b>SPU</b>	<b>DCOX</b>	<b>IIMT</b>	<b>ISMM</b>	<b>SCOX</b>	<b>SS</b>	<b>SA</b>	<b>SIS</b>	<b>VEAC</b>
<b>Droit</b>										
	<b>PUM</b>	<b>SPU</b>	<b>DCOX</b>	<b>IIMT</b>	<b>ISMM</b>	<b>SCOX</b>	<b>SS</b>	<b>SA</b>	<b>SIS</b>	<b>VEAC</b>
<b>Gauche</b>										
<b>Diagnostic</b>		<b>proba D</b>		<b>seuil</b>		<b>Diagnostic final</b>				
		<b>proba G</b>								



MARM S 96 - US 42690 - Individu 1

Inhumation Individuelle primaire



**Bloc crânio-facial :** La face d'apparition du crâne n'a pu être observée. La face d'apparition de la mandibule n'a pu être observée. La connexion entre le crâne et la mandibule n'a pu être observée.

**Vertèbres cervicales :** La connexion entre le crâne et l'atlas n'a pu être observée. La connexion entre l'atlas et l'axis n'a pu être observée. Les connexions entre les cervicales 2 à 7 n'ont pu être observées.

**Vertèbres thoraciques :** Les connexions entre les vertèbres thoraciques n'ont pu être observées.

**Vertèbres lombaires :** Les connexions entre les vertèbres lombaires n'ont pu être observées.

**Ceinture scapulaire :** La face d'apparition de la clavicule droite n'a pu être observée. La face d'apparition de la scapula droite n'a pu être observée. La clavicule gauche apparaît par sa face supérieure. La face d'apparition de la scapula gauche n'a pu être observée.

**Membre supérieur droit :** La face d'apparition de l'humérus droit n'a pu être observée. La connexion entre la scapula et l'humérus droits n'a pu être observée. L'ulna droite apparaît par sa face antéro-latérale. Le radius droit apparaît par sa face postérieure. La connexion du coude droit n'a pu être observée. La connexion du poignet droit n'a pu être observée. Les os du carpe droit sont déconnectés. Les métacarpes droits sont déconnectés. Les phalanges de la main droite sont déconnectées.

**Membre supérieur gauche :** La face d'apparition de l'humérus gauche n'a pu être observée. La connexion entre la scapula et l'humérus gauches n'a pu être observée. La face d'apparition de l'ulna gauche n'a pu être observée. Le radius gauche apparaît par sa face médiale. La connexion du coude gauche n'a pu être observée. La connexion du poignet gauche n'a pu être observée. Les os du carpe gauche sont déconnectés. Les métacarpes gauches sont déconnectés. Les phalanges de la main gauche sont déconnectées.

**Ceinture pelvienne :** Le coxal droit apparaît par sa face antéro-médiale. Le coxal gauche apparaît par sa face antéro-médiale. Le coxal droit et le sacrum sont déconnectés. Le coxal gauche et le sacrum sont déconnectés. Le coxal droit a migré en dehors du volume corporel initial. Le coxal gauche a migré en dehors du volume corporel initial.

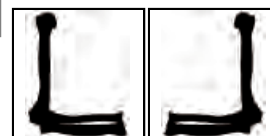
**Membre inférieur droit :** Le fémur droit apparaît par sa face antérieure. Le coxal droit est en connexion stricte avec le fémur droit. La face d'apparition de la patela droite n'a pu être observée. La connexion entre le fémur et la patela droits n'a pu être observée. Le tibia droit apparaît par sa face antérieure. La fibula droite apparaît par sa face antérieure. Le fémur et le tibia droits sont en connexion stricte. Le tibia et la fibula droits sont en connexion stricte. Les os de la cheville droite sont déconnectés. Les os du tarse droit sont déconnectés. Les métatarses droits sont déconnectés. Les phalanges du pied droit sont déconnectées. Des éléments du pied droit ont migré en dehors du volume corporel initial.

**Membre inférieur gauche :** Le fémur gauche apparaît par sa face antérieure. Le coxal gauche est en connexion stricte avec le fémur gauche. La face d'apparition de la patela gauche n'a pu être observée. La connexion entre le fémur et la patela gauches n'a pu être observée. Le tibia gauche apparaît par sa face antérieure. La fibula gauche apparaît par sa face antérieure. Le fémur et le tibia gauches sont en connexion stricte. Le tibia et la fibula gauches sont en connexion stricte. Les os de la cheville gauche sont déconnectés. Les os du tarse gauche sont déconnectés. Les métatarses gauches sont déconnectés. Les phalanges du pied gauche sont déconnectées. Des éléments du pied gauche ont migré en dehors du volume corporel initial.

Des mouvements en dehors du volume corporel initial sont observés.

**Décomposition du corps en espace vide.**

position des bras



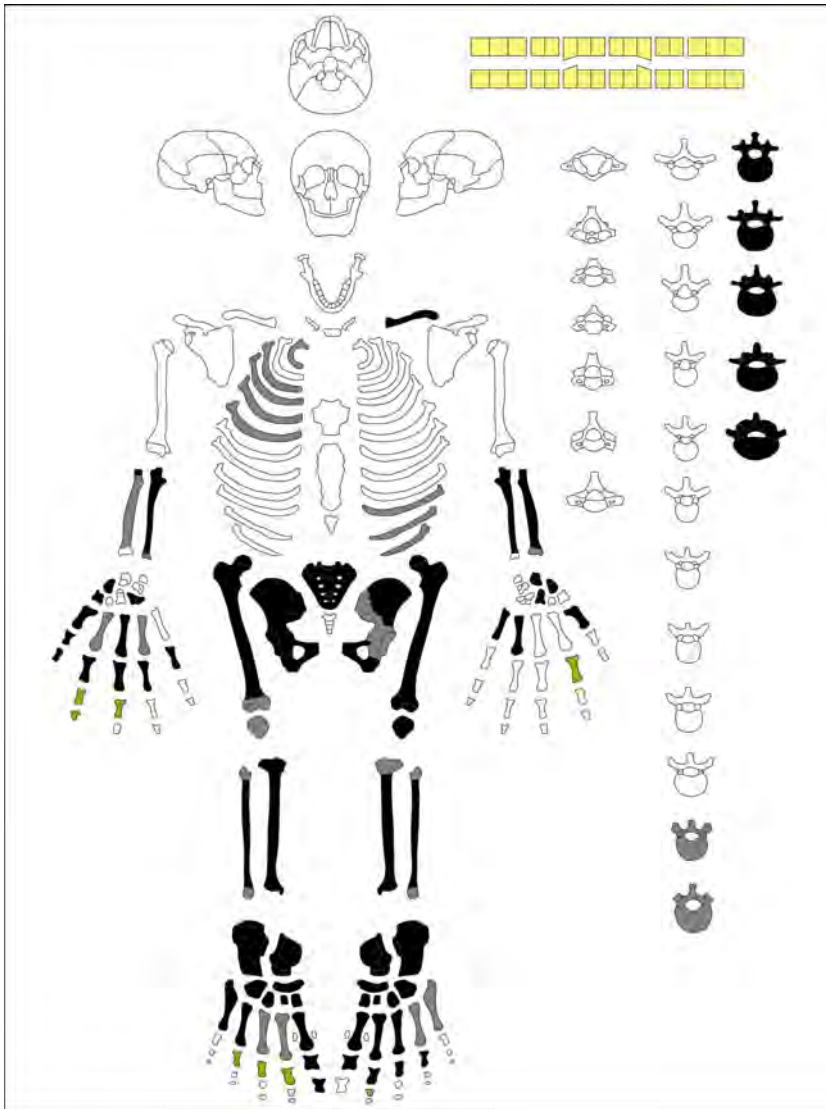


MARM Sépulture 96 US 42690 individu 1 Adulte de Sexe féminin

**code dents :**

- présente in situ
- présente isolée et identifiée avec certitude
- type identifié localisation indéterminée
- perte *ante mortem*
- perte *post mortem*
- absente (agénésie ?)
- germe présent *in situ*
- germe isolé mais remplacé avec certitude
- non observable

PATHOLOGIES - 2 site(s) atteint(s).



**Probabilité d'appartenance à chaque classe d'âge d'après Coqueugniot et Weaver (2007) et Schmitt (2005)**

0-1	1-4	5-9	10-14	15-19	20-29	30-39	40-49	50-59	60-69	AD Ind.
					0,73	0,19	0,06	0,02	0,00	

**La diagnose sexuelle probabiliste : Murail et al. 2005**

	PUM	SPU	DCOX	IIMT	ISMM	SCOX	SS	SA	SIS	VEAC
<b>Droit</b>		22,44		41,91			62,66	77,43		
<b>Gauche</b>										
<b>Diagnostic</b>	<b>Féminin</b>		proba D	0,9968	seuil	0,95	Diagnostic final	<b>Féminin</b>		
			proba G							



**MARM S 97 - US 42723 - Individu 1**

Inhumation Individuelle primaire



**Bloc crânio-facial :** La face d'apparition du crâne n'a pu être observée. La face d'apparition de la mandibule n'a pu être observée. La connexion entre le crâne et la mandibule n'a pu être observée.

**Vertèbres cervicales :** La connexion entre le crâne et l'atlas n'a pu être observée. La connexion entre l'atlas et l'axis n'a pu être observée. Les connexions entre les cervicales 2 à 7 n'ont pu être observées.

**Vertèbres thoraciques :** Les connexions entre les vertèbres thoraciques n'ont pu être observées.

**Vertèbres lombaires :** Les connexions entre les vertèbres lombaires n'ont pu être observées.

**Ceinture scapulaire :** La face d'apparition de la clavicule droite n'a pu être observée. La face d'apparition de la scapula droite n'a pu être observée. La face d'apparition de la clavicule gauche n'a pu être observée. La face d'apparition de la scapula gauche n'a pu être observée.

**Membre supérieur droit :** La face d'apparition de l'humérus droit n'a pu être observée. La connexion entre la scapula et l'humérus droits n'a pu être observée. La face d'apparition de l'ulna droite n'a pu être observée. La face d'apparition du radius droit n'a pu être observée. La connexion du coude droit n'a pu être observée. La connexion du poignet droit n'a pu être observée. Les connexions des os du carpe droit n'ont pu être observées. Les connexions des métacarpes droits n'ont pu être observées. Les connexions des phalanges de la main droite n'ont pu être observées.

**Membre supérieur gauche :** La face d'apparition de l'humérus gauche n'a pu être observée. La connexion entre la scapula et l'humérus gauches n'a pu être observée. La face d'apparition de l'ulna gauche n'a pu être observée. La face d'apparition du radius gauche n'a pu être observée. La connexion du coude gauche n'a pu être observée. La connexion du poignet gauche n'a pu être observée. Les connexions des os du carpe gauche n'ont pu être observées. Les connexions des métacarpes gauches n'ont pu être observées. Les connexions des phalanges de la main gauche n'ont pu être observées.

**Ceinture pelvienne :** La face d'apparition du coxal droit n'a pu être observée. La face d'apparition du coxal gauche n'a pu être observée. La connexion entre le coxal droit et le sacrum n'a pu être observée. La connexion entre le coxal gauche et le sacrum n'a pu être observée.

**Membre inférieur droit :** La face d'apparition du fémur droit n'a pu être observée. La connexion entre le coxal et le fémur droits n'a pu être observée. La face d'apparition de la patela droite n'a pu être observée. La connexion entre le fémur et la patela droits n'a pu être observée. Le tibia droit apparaît par sa face antérieure. La fibula droite apparaît par sa face antérieure. La connexion entre le fémur et le tibia droits n'a pu être observée. Le tibia et la fibula droits sont en connexion stricte. Les os de la cheville droite sont déconnectés. Les os du tarse droit sont déconnectés. Les métatarses droits sont déconnectés. Les phalanges du pied droit sont déconnectées.

**Membre inférieur gauche :** La face d'apparition du fémur gauche n'a pu être observée. La connexion entre le coxal et le fémur gauches n'a pu être observée. La face d'apparition de la patela gauche n'a pu être observée. La connexion entre le fémur et la patela gauches n'a pu être observée. Le tibia gauche apparaît par sa face antérieure. La fibula gauche apparaît par sa face antérieure. La connexion entre le fémur et le tibia gauches n'a pu être observée. Le tibia et la fibula gauches sont en connexion lâche. Les os de la cheville gauche sont déconnectés. Les os du tarse gauche sont déconnectés. Les métatarses gauches sont déconnectés. Les phalanges du pied gauche sont déconnectées. Des éléments du pied gauche ont migré en dehors du volume corporel initial.

Des mouvements en dehors du volume corporel initial sont observés.

**L'espace de décomposition du corps est indéterminé.**

**position des bras**



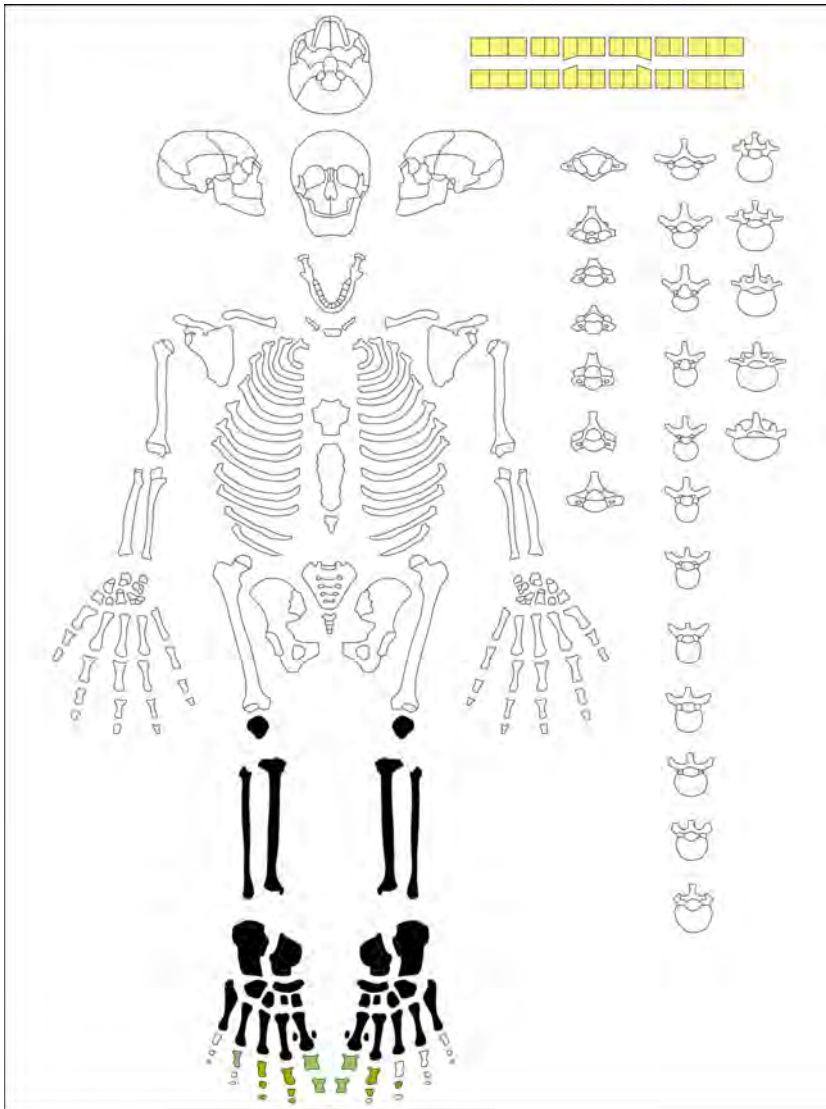


MARM Sépulture 97 US 42723 individu 1 Adulte de Sexe indéterminé

**code dents :**

- présente in situ
- présente isolée et identifiée avec certitude
- type identifié localisation indéterminée
- perte *ante mortem*
- perte *post mortem*
- absente (agénésie ?)
- germe présent *in situ*
- germe isolé mais remplacé avec certitude
- non observable

PATHOLOGIES - 4 site(s) atteint(s).



**Probabilité d'appartenance à chaque classe d'âge d'après Coqueugniot et Weaver (2007) et Schmitt (2005)**

0-1	1-4	5-9	10-14	15-19	20-29	30-39	40-49	50-59	60-69	AD Ind.
										1

**La diagnose sexuelle probabiliste : Murail et al. 2005**

	PUM	SPU	DCOX	IIMT	ISMM	SCOX	SS	SA	SIS	VEAC
<b>Droit</b>										
<b>Gauche</b>										
<b>Diagnostic</b>					proba D		seuil			
					proba G		Diagnostic final			



**MARM S 99 - US 42744 - Individu 1**

Inhumation Individuelle primaire



**Bloc crânio-facial :** La face d'apparition du crâne n'a pu être observée. La face d'apparition de la mandibule n'a pu être observée. La connexion entre le crâne et la mandibule n'a pu être observée.

**Vertèbres cervicales :** La connexion entre le crâne et l'atlas n'a pu être observée. La connexion entre l'atlas et l'axis n'a pu être observée. Les connexions entre les cervicales 2 à 7 n'ont pu être observées.

**Vertèbres thoraciques :** Les connexions entre les vertèbres thoraciques n'ont pu être observées.

**Vertèbres lombaires :** Les connexions entre les vertèbres lombaires n'ont pu être observées.

**Ceinture scapulaire :** La face d'apparition de la clavicule droite n'a pu être observée. La face d'apparition de la scapula droite n'a pu être observée. La face d'apparition de la clavicule gauche n'a pu être observée. La face d'apparition de la scapula gauche n'a pu être observée.

**Membre supérieur droit :** La face d'apparition de l'humérus droit n'a pu être observée. La connexion entre la scapula et l'humérus droits n'a pu être observée. La face d'apparition de l'ulna droite n'a pu être observée. La face d'apparition du radius droit n'a pu être observée. La connexion du coude droit n'a pu être observée. La connexion du poignet droit n'a pu être observée. Les connexions des os du carpe droit n'ont pu être observées. Les connexions des métacarpes droits n'ont pu être observées. Les connexions des phalanges de la main droite n'ont pu être observées.

**Membre supérieur gauche :** La face d'apparition de l'humérus gauche n'a pu être observée. La connexion entre la scapula et l'humérus gauches n'a pu être observée. La face d'apparition de l'ulna gauche n'a pu être observée. La face d'apparition du radius gauche n'a pu être observée. La connexion du coude gauche n'a pu être observée. La connexion du poignet gauche n'a pu être observée. Les connexions des os du carpe gauche n'ont pu être observées. Les connexions des métacarpes gauches n'ont pu être observées. Les connexions des phalanges de la main gauche n'ont pu être observées.

**Ceinture pelvienne :** La face d'apparition du coxal droit n'a pu être observée. La face d'apparition du coxal gauche n'a pu être observée. La connexion entre le coxal droit et le sacrum n'a pu être observée. La connexion entre le coxal gauche et le sacrum n'a pu être observée.

**Membre inférieur droit :** La face d'apparition du fémur droit n'a pu être observée. La connexion entre le coxal et le fémur droits n'a pu être observée. La face d'apparition de la patella droite n'a pu être observée. La connexion entre le fémur et la patella droits n'a pu être observée. La face d'apparition du tibia droit n'a pu être observée. La face d'apparition de la fibula droite n'a pu être observée. La connexion entre le fémur et le tibia droits n'a pu être observée. La connexion entre le tibia et la fibula droits n'a pu être observée. Les os de la cheville droite sont déconnectés. Les os du tarse droit sont déconnectés. Les métatarses droits sont déconnectés. Les phalanges du pied droit sont déconnectées.

**Membre inférieur gauche :** La face d'apparition du fémur gauche n'a pu être observée. La connexion entre le coxal et le fémur gauches n'a pu être observée. La face d'apparition de la patella gauche n'a pu être observée. La connexion entre le fémur et la patella gauches n'a pu être observée. La face d'apparition du tibia gauche n'a pu être observée. La face d'apparition de la fibula gauche n'a pu être observée. La connexion entre le fémur et le tibia gauches n'a pu être observée. La connexion entre le tibia et la fibula gauches n'a pu être observée. Les os de la cheville gauche sont déconnectés. Les os du tarse gauche sont déconnectés. Les métatarses gauches sont déconnectés. Les phalanges du pied gauche sont déconnectées.

**L'espace de décomposition du corps est indéterminé.**

**position des bras**



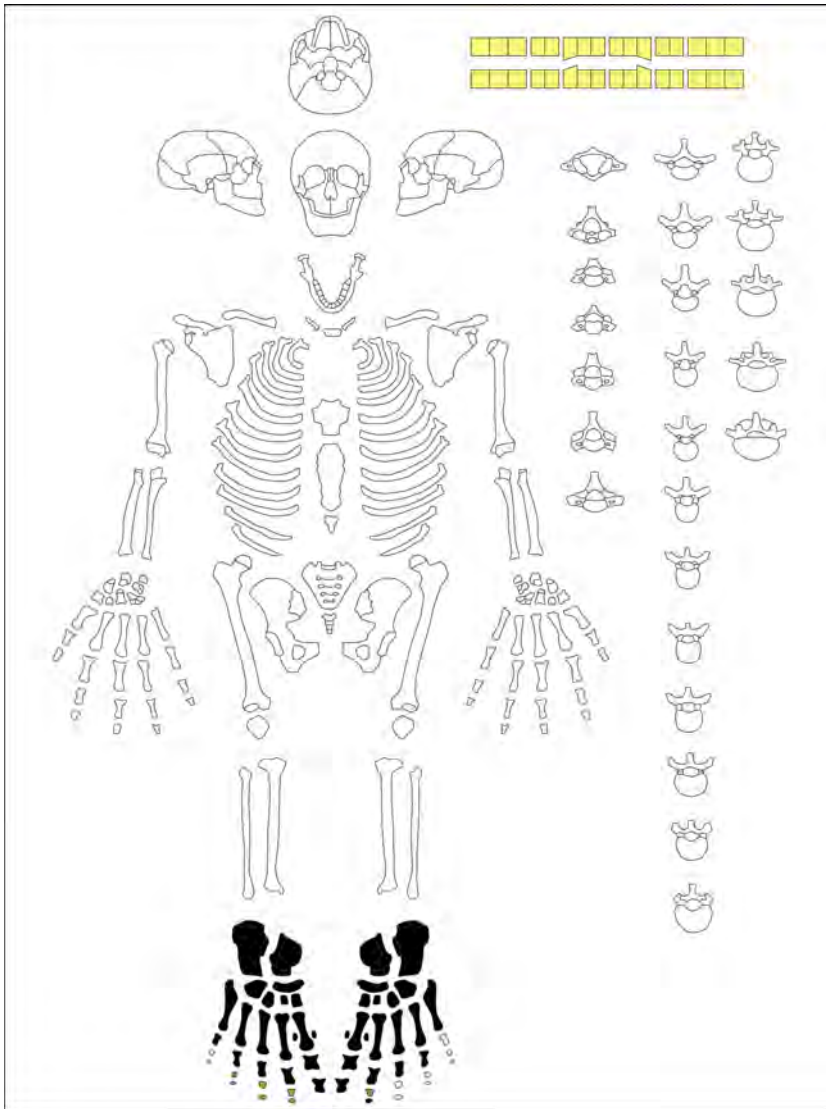


**MARM** Sépulture **99** US **42744** individu **1** Adulte de Sexe indéterminé

**code dents :**

- présente in situ
- présente isolée et identifiée avec certitude
- type identifié localisation indéterminée
- perte *ante mortem*
- perte *post mortem*
- absente (agénésie ?)
- germe présent *in situ*
- germe isolé mais remplacé avec certitude
- non observable

PATHOLOGIES - 0 site(s) atteint(s).



Probabilité d'appartenance à chaque classe d'âge d'après Coqueugniot et Weaver (2007) et Schmitt (2005)

0-1	1-4	5-9	10-14	15-19	20-29	30-39	40-49	50-59	60-69	AD Ind.
0	0	0	0	0	0	0	0	0	0	1

**La diagnose sexuelle probabiliste : Murail et al. 2005**

	PUM	SPU	DCOX	IIMT	ISMM	SCOX	SS	SA	SIS	VEAC
<b>Droit</b>	0	0	0	0	0	0	0	0	0	0
<b>Gauche</b>	0	0	0	0	0	0	0	0	0	0
<b>Diagnostic</b>			proba D	0	seuil			Diagnostic final		
			proba G	0						



**Bloc crânio-facial :** Le crâne apparaît par sa face supérieure. La mandibule apparaît par sa face supérieure. La connexion entre le crâne et la mandibule n'a pu être observée.

**Vertèbres cervicales :** La connexion entre le crâne et l'atlas n'a pu être observée. La connexion entre l'atlas et l'axis n'a pu être observée. Les connexions entre les cervicales 2 à 7 n'ont pu être observées.

**Vertèbres thoraciques :** Les vertèbres thoraciques sont en connexion lâche.

**Vertèbres lombaires :** Les vertèbres lombaires sont en connexion stricte.

**Ceinture scapulaire :** La face d'apparition de la clavicule droite n'a pu être observée. La face d'apparition de la scapula droite n'a pu être observée. La clavicule gauche apparaît par sa face supérieure. La scapula gauche apparaît par sa face latérale.

**Membre supérieur droit :** L'humérus droit apparaît par sa face latérale. La connexion entre la scapula et l'humérus droits n'a pu être observée. L'ulna droite apparaît par sa face latérale. Le radius droit apparaît par sa face postérieure. Le coude droit est en connexion stricte. La connexion des os du poignet droit n'est pas maintenue. Les os du carpe droit sont déconnectés. Les métacarpes droits sont déconnectés. Les phalanges de la main droite sont déconnectées.

**Membre supérieur gauche :** L'humérus gauche apparaît par sa face latérale. L'humérus gauche est en connexion stricte avec la scapula gauche. L'ulna gauche apparaît par sa face latérale. Le radius gauche apparaît par sa face postérieure. La connexion des os du coude gauche n'est pas maintenue. La connexion des os du poignet gauche n'est pas maintenue. Les os du carpe gauche sont déconnectés. Les métacarpes gauches sont déconnectés. Les phalanges de la main gauche sont déconnectées.

**Ceinture pelvienne :** Le coxal droit apparaît par sa face antérieure. Le coxal gauche apparaît par sa face antérieure. Le coxal droit est en connexion lâche avec le sacrum. La connexion entre le coxal gauche et le sacrum n'a pu être observée.

**Membre inférieur droit :** Le fémur droit apparaît par sa face médiale. Le coxal et le fémur droits sont déconnectés. La face d'apparition de la patela droite n'a pu être observée. La connexion entre le fémur et la patela droits n'a pu être observée. Le tibia droit apparaît par sa face médiale. La face d'apparition de la fibula droite n'a pu être observée. Le fémur et le tibia droits sont en connexion stricte. La connexion entre le tibia et la fibula droits n'a pu être observée. Des éléments du membre inférieur droit ont migré en dehors du volume corporel initial. Les os de la cheville droite sont déconnectés. Les os du tarse droit sont déconnectés. Les métatarses droits sont déconnectés. Les phalanges du pied droit sont déconnectées. Des éléments du pied droit ont migré en dehors du volume corporel initial.

**Membre inférieur gauche :** Le fémur gauche apparaît par sa face antérieure. Le coxal gauche est en connexion stricte avec le fémur gauche. La face d'apparition de la patela gauche n'a pu être observée. La connexion entre le fémur et la patela gauches n'a pu être observée. Le tibia gauche apparaît par sa face antérieure. La face d'apparition de la fibula gauche n'a pu être observée. Le fémur et le tibia gauches sont en connexion stricte. La connexion entre le tibia et la fibula gauches n'a pu être observée. Les os de la cheville gauche sont déconnectés. Les os du tarse gauche sont déconnectés. Les métatarses gauches sont déconnectés. Les phalanges du pied gauche sont déconnectées. Des éléments du pied gauche ont migré en dehors du volume corporel initial.

Des mouvements en dehors du volume corporel initial sont observés.

**Décomposition du corps en espace vide.**

position des bras



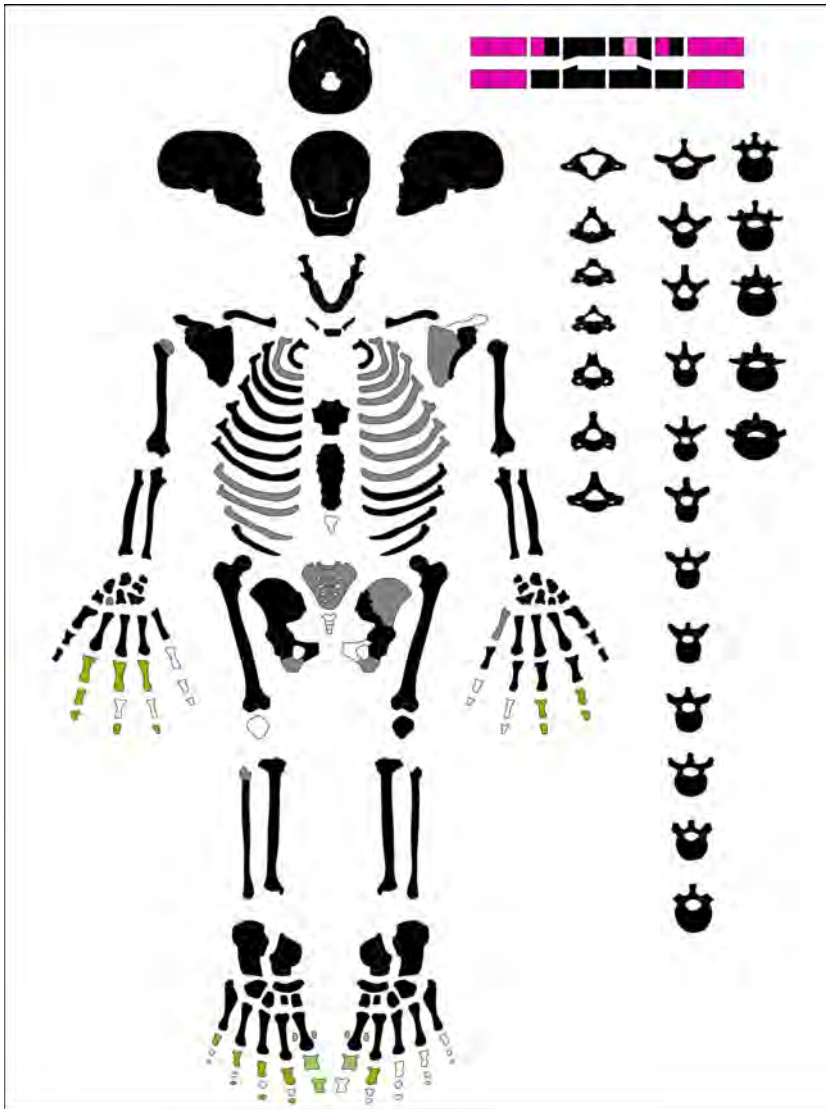


MARM Sépulture 109 US 42883 individu 1 Adulte de Sexe masculin

**code dents :**

- présente in situ
- présente isolée et identifiée avec certitude
- type identifié localisation indéterminée
- perte *ante mortem*
- perte *post mortem*
- absente (agénésie ?)
- germe présent *in situ*
- germe isolé mais remplacé avec certitude
- non observable

PATHOLOGIES - 13 site(s) atteint(s).



**Probabilité d'appartenance à chaque classe d'âge d'après Coqueugniot et Weaver (2007) et Schmitt (2005)**

0-1	1-4	5-9	10-14	15-19	20-29	30-39	40-49	50-59	60-69	AD Ind.
					0,00	0,06	0,15	0,31	0,48	

**La diagnose sexuelle probabiliste : Murail et al. 2005**

	PUM	SPU	DCOX	IIMT	ISMM	SCOX	SS	SA	SIS	VEAC
<b>Droit</b>				33,15			79,95	76,47	42,02	
<b>Gauche</b>										
<b>Diagnostic</b>	Masculin			proba D	0,9971	seuil	0,95	Diagnostic final	Masculin	
				proba G						



**MARM S 113 - US 43030 - Individu 1**

Inhumation Individuelle primaire



**Bloc crânio-facial :** La face d'apparition du crâne n'a pu être observée. La face d'apparition de la mandibule n'a pu être observée. La connexion entre le crâne et la mandibule n'a pu être observée.

**Vertèbres cervicales :** La connexion entre le crâne et l'atlas n'a pu être observée. La connexion entre l'atlas et l'axis n'a pu être observée. Les connexions entre les cervicales 2 à 7 n'ont pu être observées.

**Vertèbres thoraciques :** Les connexions entre les vertèbres thoraciques n'ont pu être observées.

**Vertèbres lombaires :** Les connexions entre les vertèbres lombaires n'ont pu être observées.

**Ceinture scapulaire :** La face d'apparition de la clavicule droite n'a pu être observée. La face d'apparition de la scapula droite n'a pu être observée. La face d'apparition de la clavicule gauche n'a pu être observée. La face d'apparition de la scapula gauche n'a pu être observée.

**Membre supérieur droit :** La face d'apparition de l'humérus droit n'a pu être observée. La face d'apparition de l'ulna droite n'a pu être observée. La face d'apparition du radius droit n'a pu être observée. La connexion du coude droit n'a pu être observée. La connexion du poignet droit n'a pu être observée. Les connexions des os du carpe droit n'ont pu être observées. Les connexions des métacarpes droits n'ont pu être observées. Les connexions des phalanges de la main droite n'ont pu être observées.

**Membre supérieur gauche :** La face d'apparition de l'humérus gauche n'a pu être observée. La connexion entre la scapula et l'humérus gauches n'a pu être observée. La face d'apparition de l'ulna gauche n'a pu être observée. La face d'apparition du radius gauche n'a pu être observée. La connexion du coude gauche n'a pu être observée. La connexion du poignet gauche n'a pu être observée. Les connexions des os du carpe gauche n'ont pu être observées. Les connexions des métacarpes gauches n'ont pu être observées. Les connexions des phalanges de la main gauche n'ont pu être observées.

**Ceinture pelvienne :** La face d'apparition du coxal droit n'a pu être observée. La face d'apparition du coxal gauche n'a pu être observée. La connexion entre le coxal droit et le sacrum n'a pu être observée. La connexion entre le coxal gauche et le sacrum n'a pu être observée.

**Membre inférieur droit :** Le fémur droit apparaît par sa face antérieure. La connexion entre le coxal et le fémur droits n'a pu être observée. La face d'apparition de la patella droite n'a pu être observée. La connexion entre le fémur et la patella droits n'a pu être observée. Le tibia droit apparaît par sa face antérieure. La fibula droite apparaît par sa face antérieure. Le fémur et le tibia droits sont en connexion stricte. Le tibia et la fibula droits sont en connexion stricte. Les os de la cheville droite sont déconnectés. Les connexions des os du tarse droit n'ont pu être observées. Les métatarses droits sont en connexion stricte. Les phalanges du pied droit sont déconnectées.

**Membre inférieur gauche :** Le fémur gauche apparaît par sa face antérieure. Le coxal et le fémur gauches sont déconnectés. La face d'apparition de la patella gauche n'a pu être observée. La connexion entre le fémur et la patella gauches n'a pu être observée. Le tibia gauche apparaît par sa face antérieure. La fibula gauche apparaît par sa face antérieure. Le fémur et le tibia gauches sont en connexion stricte. Le tibia et la fibula gauches sont en connexion stricte. Les os de la cheville gauche sont déconnectés. Les connexions des os du tarse gauche n'ont pu être observées. Les métatarses gauches sont déconnectés. Les phalanges du pied gauche sont déconnectées. Des éléments du pied gauche ont migré en dehors du volume corporel initial.

Des mouvements en dehors du volume corporel initial sont observés.

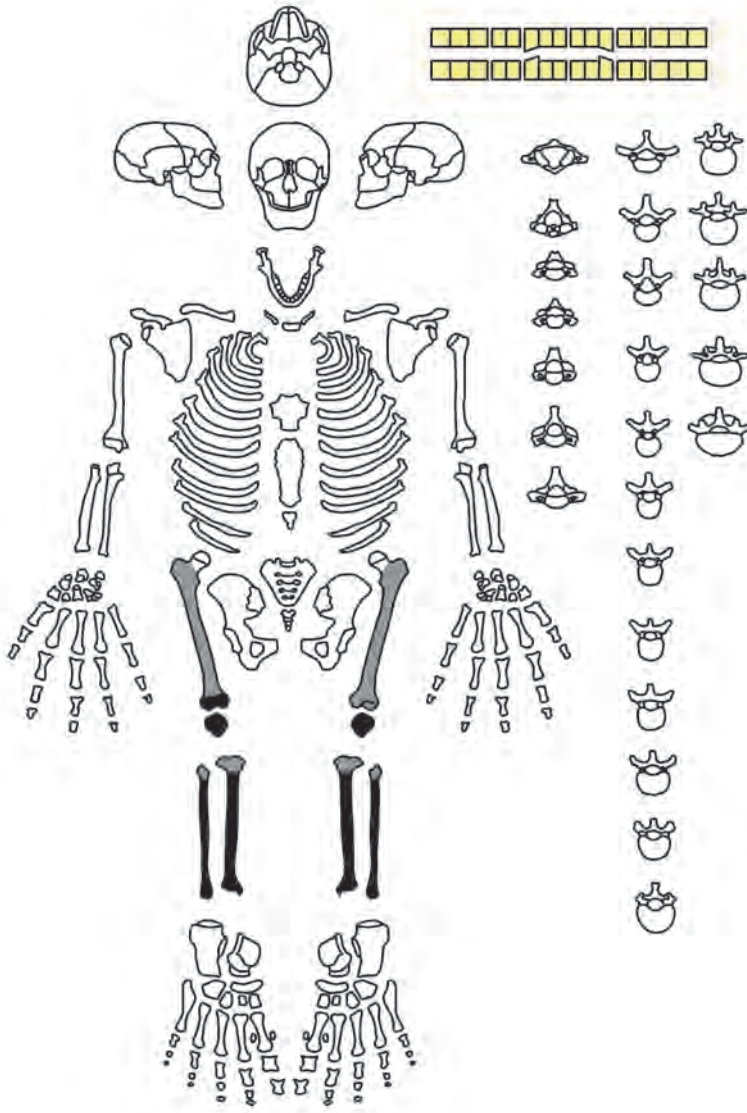
**Décomposition du corps en espace vide.**

**position des bras**





**MARM** Sépulture **113** US **43030** individu **1** Adulte de Sexe indéterminé



- code dents :**
- présente in situ
  - présente isolée et identifiée avec certitude
  - type identifié localisation indéterminée
  - perte *ante mortem*
  - perte *post mortem*
  - absente (agénésie ?)
  - germe présent *in situ*
  - germe isolé mais remplacé avec certitude
  - non observable

PATHOLOGIES - 0 site(s) atteint(s).

**Probabilité d'appartenance à chaque classe d'âge d'après Coqueugniot et Weaver (2007) et Schmitt (2005)**

0-1	1-4	5-9	10-14	15-19	20-29	30-39	40-49	50-59	60-69	AD Ind.
										1

**La diagnose sexuelle probabiliste : Murail et al. 2005**

	PUM	SPU	DCOX	IIMT	ISMM	SCOX	SS	SA	SIS	VEAC
<b>Droit</b>										
<b>Gauche</b>										
<b>Diagnostic</b>			proba D		seuil			Diagnostic final		
			proba G							



MARM S 121 - US 43128 - Individu 1

Inhumation Individuelle primaire



**Bloc crânio-facial :** La face d'apparition du crâne n'a pu être observée. La face d'apparition de la mandibule n'a pu être observée. La connexion entre le crâne et la mandibule n'a pu être observée.

**Vertèbres cervicales :** La connexion entre le crâne et l'atlas n'a pu être observée. La connexion entre l'atlas et l'axis n'a pu être observée. Les connexions entre les cervicales 2 à 7 n'ont pu être observées.

**Vertèbres thoraciques :** Les connexions entre les vertèbres thoraciques n'ont pu être observées.

**Vertèbres lombaires :** Les connexions entre les vertèbres lombaires n'ont pu être observées.

**Ceinture scapulaire :** La face d'apparition de la clavicule droite n'a pu être observée. La face d'apparition de la scapula droite n'a pu être observée. La face d'apparition de la clavicule gauche n'a pu être observée. La face d'apparition de la scapula gauche n'a pu être observée.

**Membre supérieur droit :** La face d'apparition de l'humérus droit n'a pu être observée. La connexion entre la scapula et l'humérus droits n'a pu être observée. La face d'apparition de l'ulna droite n'a pu être observée. La face d'apparition du radius droit n'a pu être observée. La connexion du coude droit n'a pu être observée. La connexion du poignet droit n'a pu être observée. Les connexions des os du carpe droit n'ont pu être observées. Les connexions des métacarpes droits n'ont pu être observées. Les connexions des phalanges de la main droite n'ont pu être observées.

**Membre supérieur gauche :** La face d'apparition de l'humérus gauche n'a pu être observée. La connexion entre la scapula et l'humérus gauches n'a pu être observée. La face d'apparition de l'ulna gauche n'a pu être observée. La face d'apparition du radius gauche n'a pu être observée. La connexion du coude gauche n'a pu être observée. La connexion du poignet gauche n'a pu être observée. Les connexions des os du carpe gauche n'ont pu être observées. Les connexions des métacarpes gauches n'ont pu être observées. Les connexions des phalanges de la main gauche n'ont pu être observées.

**Ceinture pelvienne :** La face d'apparition du coxal droit n'a pu être observée. La face d'apparition du coxal gauche n'a pu être observée. La connexion entre le coxal droit et le sacrum n'a pu être observée. La connexion entre le coxal gauche et le sacrum n'a pu être observée.

**Membre inférieur droit :** La face d'apparition du fémur droit n'a pu être observée. La connexion entre le coxal et le fémur droits n'a pu être observée. La face d'apparition de la patela droite n'a pu être observée. La connexion entre le fémur et la patela droits n'a pu être observée. La face d'apparition du tibia droit n'a pu être observée. La face d'apparition de la fibula droite n'a pu être observée. La connexion entre le fémur et le tibia droits n'a pu être observée. La connexion entre le tibia et la fibula droits n'a pu être observée. Les connexions des os de la cheville droite n'ont pu être observées. Les os du tarse droit sont déconnectés. Les métatarses droits sont déconnectés. Les phalanges du pied droit sont déconnectées. Des éléments du pied droit ont migré en dehors du volume corporel initial.

**Membre inférieur gauche :** La face d'apparition du fémur gauche n'a pu être observée. La connexion entre le coxal et le fémur gauches n'a pu être observée. La face d'apparition de la patela gauche n'a pu être observée. La connexion entre le fémur et la patela gauches n'a pu être observée. La face d'apparition du tibia gauche n'a pu être observée. La face d'apparition de la fibula gauche n'a pu être observée. La connexion entre le fémur et le tibia gauches n'a pu être observée. La connexion entre le tibia et la fibula gauches n'a pu être observée. Les connexions des os de la cheville gauche n'ont pu être observées. Les os du tarse gauche sont déconnectés. Les métatarses gauches sont déconnectés. Les phalanges du pied gauche sont déconnectées. Des éléments du pied gauche ont migré en

Des mouvements en dehors du volume corporel initial sont observés.

**Décomposition du corps en espace vide.**

**position des bras**



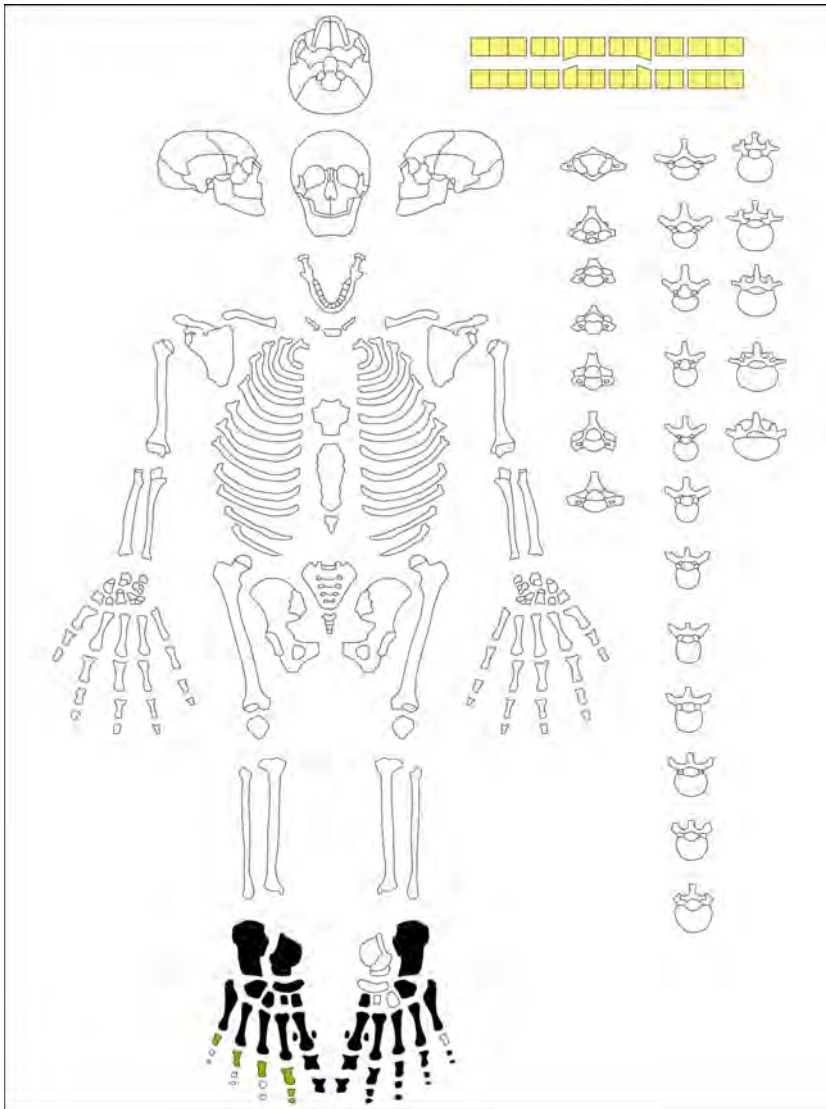


**MARM** Sépulture **121** US **43128** individu **1** Adulte de Sexe indéterminé

**code dents :**

- présente in situ
- présente isolée et identifiée avec certitude
- type identifié localisation indéterminée
- perte *ante mortem*
- perte *post mortem*
- absente (agénésie ?)
- germe présent *in situ*
- germe isolé mais remplacé avec certitude
- non observable

PATHOLOGIES - 6 site(s) atteint(s).



**Probabilité d'appartenance à chaque classe d'âge d'après Coqueugniot et Weaver (2007) et Schmitt (2005)**

0-1	1-4	5-9	10-14	15-19	20-29	30-39	40-49	50-59	60-69	AD Ind.
										1

**La diagnose sexuelle probabiliste : Murail et al. 2005**

	PUM	SPU	DCOX	IIMT	ISMM	SCOX	SS	SA	SIS	VEAC
<b>Droit</b>										
<b>Gauche</b>										
<b>Diagnostic</b>					proba D		seuil			
					proba G		Diagnostic final			



**Bloc crânio-facial :** Le crâne apparaît par sa face antéro-supérieure. La mandibule apparaît par sa face antéro-supérieure. Elle est déconnectée du crâne.

**Vertèbres cervicales :** La connexion entre le crâne et l'atlas n'a pu être observée. La connexion entre l'atlas et l'axis n'a pu être observée. Les connexions entre les cervicales 2 à 7 n'ont pu être observées.

**Vertèbres thoraciques :** Les vertèbres thoraciques sont déconnectées entre elles.

**Vertèbres lombaires :** Les vertèbres lombaires sont en connexion lâche.

**Ceinture scapulaire :** La clavicule droite apparaît par sa face supérieure. La scapula droite apparaît par sa face antéro-latérale. La clavicule droite a migré en dehors du volume corporel initial. La clavicule gauche apparaît par sa face supérieure. La scapula gauche apparaît par sa face antéro-latérale. La clavicule gauche a migré en dehors du volume corporel initial.

**Membre supérieur droit :** L'humérus droit apparaît par sa face latérale. L'humérus droit est en connexion lâche avec la scapula droite. L'ulna droite apparaît par sa face latérale. Le radius droit apparaît par sa face postérieure. La connexion des os du coude droit n'est pas maintenue. Le poignet droit est en connexion stricte. Le os du carpe droit sont en connexion stricte. Les métacarpes droits sont en connexion stricte. Les phalanges de la main droite sont déconnectées. Des éléments de la main droite ont migré en dehors du volume corporel initial.

**Membre supérieur gauche :** L'humérus gauche apparaît par sa face latérale. L'humérus gauche est en connexion lâche avec la scapula gauche. L'ulna gauche apparaît par sa face latérale. Le radius gauche apparaît par sa face postérieure. La connexion du coude gauche n'a pu être observée. La connexion des os du poignet gauche n'est pas maintenue. Les os du carpe gauche sont déconnectés. Les métacarpes gauches sont déconnectés. Les phalanges de la main gauche sont déconnectées. Des éléments de la main gauche ont migré en dehors du volume corporel initial.

**Ceinture pelvienne :** Le coxal droit apparaît par sa face supérieure. Le coxal gauche apparaît par sa face supérieure. Le coxal droit est en connexion lâche avec le sacrum. Le coxal gauche et le sacrum sont déconnectés. Le coxal gauche a migré en dehors du volume corporel initial.

**Membre inférieur droit :** La face d'apparition du fémur droit n'a pu être observée. La connexion entre le coxal et le fémur droits n'a pu être observée. La face d'apparition de la patela droite n'a pu être observée. La connexion entre le fémur et la patela droits n'a pu être observée. La face d'apparition du tibia droit n'a pu être observée. La face d'apparition de la fibula droite n'a pu être observée. La connexion entre le fémur et le tibia droits n'a pu être observée. La connexion entre le tibia et la fibula droits n'a pu être observée. Les connexions des os de la cheville droite n'ont pu être observées. Les connexions des os du tarse droit n'ont pu être observées. Les connexions des métatarses droits n'ont pu être observées. Les connexions des phalanges du pied droit n'ont pu être observées.

**Membre inférieur gauche :** La face d'apparition du fémur gauche n'a pu être observée. La connexion entre le coxal et le fémur gauches n'a pu être observée. La face d'apparition de la patela gauche n'a pu être observée. La connexion entre le fémur et la patela gauches n'a pu être observée. La face d'apparition du tibia gauche n'a pu être observée. La face d'apparition de la fibula gauche n'a pu être observée. La connexion entre le fémur et le tibia gauches n'a pu être observée. La connexion entre le tibia et la fibula gauches n'a pu être observée. Les connexions des os de la cheville gauche n'ont pu être observées. Les connexions des os du tarse gauche n'ont pu être observées. Les connexions des métatarses gauches n'ont pu être observées. Les connexions des phalanges du pied gauche n'ont pu être observées.

Des mouvements en dehors du volume corporel initial sont observés.

**Décomposition du corps en espace vide.**

position des bras



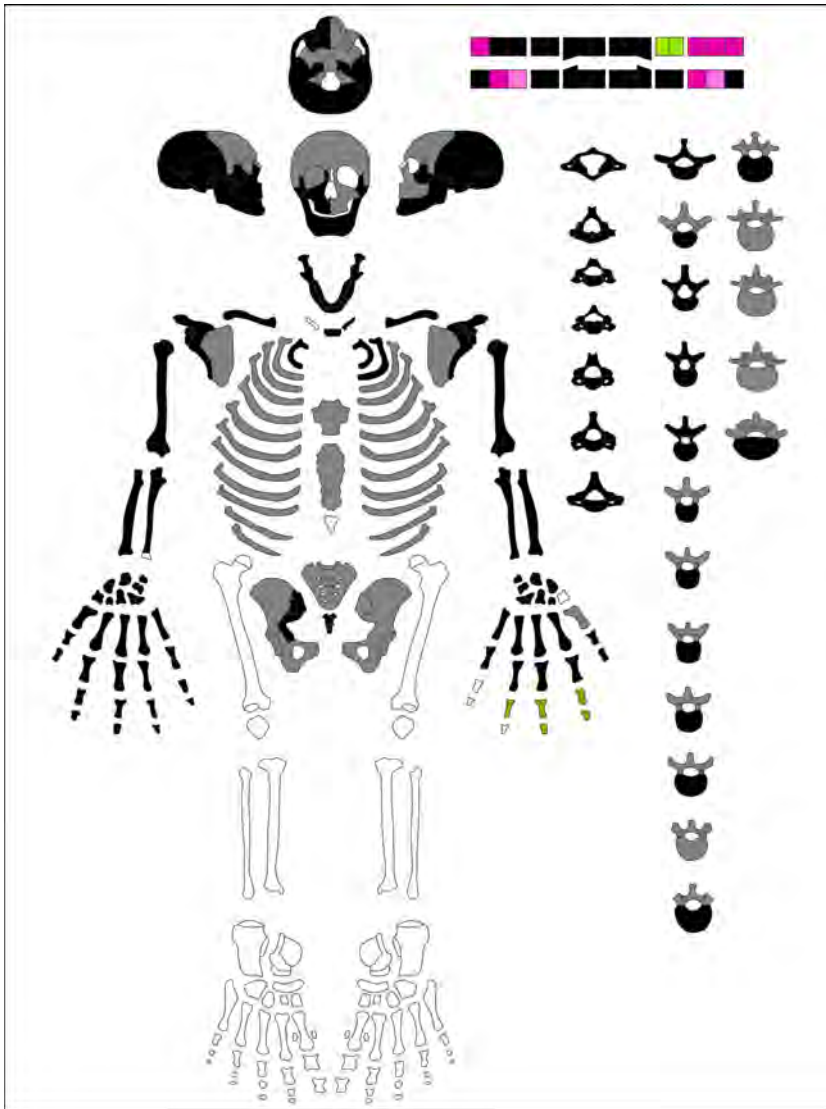


MARM Sépulture 122 US 43139 individu 1 Adulte de Sexe masculin

**code dents :**

- présente in situ
- présente isolée et identifiée avec certitude
- type identifié localisation indéterminée
- perte *ante mortem*
- perte *post mortem*
- absente (agénésie ?)
- germe présent *in situ*
- germe isolé mais remplacé avec certitude
- non observable

PATHOLOGIES - 11 site(s) atteint(s).



**Probabilité d'appartenance à chaque classe d'âge d'après Coqueugniot et Weaver (2007) et Schmitt (2005)**

0-1	1-4	5-9	10-14	15-19	20-29	30-39	40-49	50-59	60-69	AD Ind.
					0,08	0,18	0,22	0,27	0,25	

**La diagnose sexuelle probabiliste : Murail et al. 2005**

	PUM	SPU	DCOX	IIMT	ISMM	SCOX	SS	SA	SIS	VEAC
<b>Droit</b>				42,99			77,05		40,75	58,11
<b>Gauche</b>										
<b>Diagnostic</b>	Masculin			proba D	0,9624	seuil	0,95	Diagnostic final	Masculin	
				proba G						



MARM S 123 - US 43226 - Individu 1

Inhumation Individuelle primaire



**Bloc crânio-facial :** La face d'apparition du crâne n'a pu être observée. La face d'apparition de la mandibule n'a pu être observée. La connexion entre le crâne et la mandibule n'a pu être observée.

**Vertèbres cervicales :** La connexion entre le crâne et l'atlas n'a pu être observée. La connexion entre l'atlas et l'axis n'a pu être observée. Les connexions entre les cervicales 2 à 7 n'ont pu être observées.

**Vertèbres thoraciques :** Les connexions entre les vertèbres thoraciques n'ont pu être observées.

**Vertèbres lombaires :** Les connexions entre les vertèbres lombaires n'ont pu être observées.

**Ceinture scapulaire :** La face d'apparition de la clavicule droite n'a pu être observée. La face d'apparition de la scapula droite n'a pu être observée. La face d'apparition de la clavicule gauche n'a pu être observée. La face d'apparition de la scapula gauche n'a pu être observée.

**Membre supérieur droit :** La face d'apparition de l'humérus droit n'a pu être observée. La connexion entre la scapula et l'humérus droits n'a pu être observée. La face d'apparition de l'ulna droite n'a pu être observée. La face d'apparition du radius droit n'a pu être observée. La connexion du coude droit n'a pu être observée. La connexion du poignet droit n'a pu être observée. Les connexions des os du carpe droit n'ont pu être observées. Les connexions des métacarpes droits n'ont pu être observées. Les connexions des phalanges de la main droite n'ont pu être observées.

**Membre supérieur gauche :** La face d'apparition de l'humérus gauche n'a pu être observée. La connexion entre la scapula et l'humérus gauches n'a pu être observée. La face d'apparition de l'ulna gauche n'a pu être observée. La face d'apparition du radius gauche n'a pu être observée. La connexion du coude gauche n'a pu être observée. La connexion du poignet gauche n'a pu être observée. Les connexions des os du carpe gauche n'ont pu être observées. Les connexions des métacarpes gauches n'ont pu être observées. Les connexions des phalanges de la main gauche n'ont pu être observées.

**Ceinture pelvienne :** La face d'apparition du coxal droit n'a pu être observée. La face d'apparition du coxal gauche n'a pu être observée. La connexion entre le coxal droit et le sacrum n'a pu être observée. La connexion entre le coxal gauche et le sacrum n'a pu être observée.

**Membre inférieur droit :** Le fémur droit apparaît par sa face antérieure. La connexion entre le coxal et le fémur droits n'a pu être observée. La face d'apparition de la patela droite n'a pu être observée. La connexion entre le fémur et la patela droits n'a pu être observée. Le tibia droit apparaît par sa face antérieure. La fibula droite apparaît par sa face antérieure. Le fémur et le tibia droits sont en connexion lâche. La connexion entre le tibia et la fibula droits n'est pas maintenue. Les os de la cheville droite sont déconnectés. Les os du tarse droit sont déconnectés. Les métatarses droits sont déconnectés. Les phalanges du pied droit sont déconnectées. Des éléments du pied droit ont migré en dehors du volume corporel initial.

**Membre inférieur gauche :** Le fémur gauche apparaît par sa face antérieure. La connexion entre le coxal et le fémur gauches n'a pu être observée. La face d'apparition de la patela gauche n'a pu être observée. La connexion entre le fémur et la patela gauches n'a pu être observée. Le tibia gauche apparaît par sa face antérieure. La fibula gauche apparaît par sa face antérieure. Le fémur et le tibia gauches sont en connexion lâche. Le tibia et la fibula gauches sont en connexion lâche. Les os de la cheville gauche sont déconnectés. Les os du tarse gauche sont déconnectés. Les métatarses gauches sont déconnectés. Les phalanges du pied gauche sont déconnectées. Des éléments du pied gauche ont migré en dehors du volume corporel initial.

Des mouvements en dehors du volume corporel initial sont observés.

**Présence d'effet(s) de paroi :** au niveau des pieds.

**Décomposition du corps en espace vide.**

**position des bras**



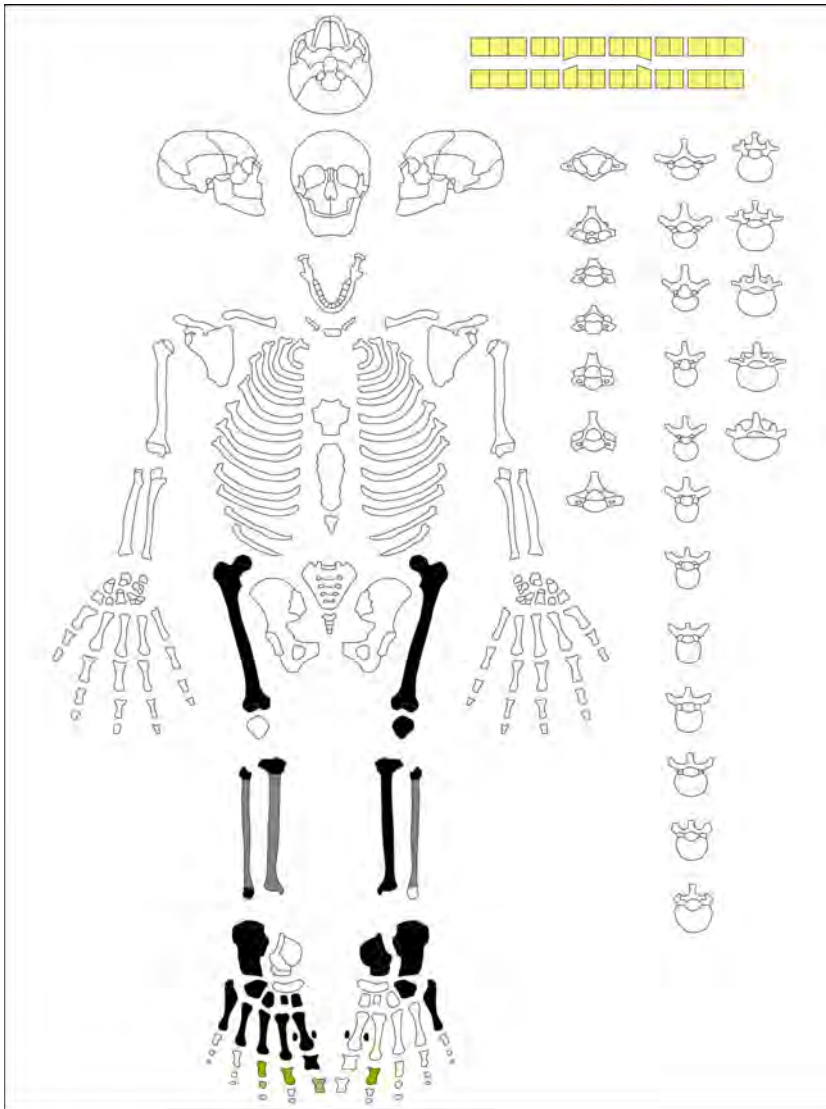


**MARM** Sépulture **123** US **43226** individu **1** Adulte de Sexe indéterminé

**code dents :**

- présente in situ
- présente isolée et identifiée avec certitude
- type identifié localisation indéterminée
- perte *ante mortem*
- perte *post mortem*
- absente (agénésie ?)
- germe présent *in situ*
- germe isolé mais remplacé avec certitude
- non observable

**PATHOLOGIES - 3 site(s) atteint(s).**



**Probabilité d'appartenance à chaque classe d'âge d'après Coqueugniot et Weaver (2007) et Schmitt (2005)**

0-1	1-4	5-9	10-14	15-19	20-29	30-39	40-49	50-59	60-69	AD Ind.
										1

**La diagnose sexuelle probabiliste : Murail et al. 2005**

	PUM	SPU	DCOX	IIMT	ISMM	SCOX	SS	SA	SIS	VEAC
<b>Droit</b>										
<b>Gauche</b>										
<b>Diagnostic</b>			proba D			seuil				
			proba G			Diagnostic final				